



บริษัท ปิโตรเคมีแห่งชาติ จำกัด

รายงานฉบับสมบูรณ์

การวิจัยปรอทในก๊าซธรรมชาติ

โดย

สถาบันวิจัยบริการ
จุฬาลงกรณ์มหาวิทยาลัย

วิทยาลัยปิโตรเลียมและปิโตรเคมี

จุฬาลงกรณ์มหาวิทยาลัย

23 กันยายน 2535

จพ
ปค 15
012808

บริษัท ปิโตรเคมีแห่งชาติ จำกัด

รายงานฉบับสมบูรณ์



การวิจัยปรอทในก๊าซธรรมชาติ

โดย

อาจารย์ ดร. จินตนา สายวรรณ

วิทยาลัยปิโตรเลียมและปิโตรเคมี

จุฬาลงกรณ์มหาวิทยาลัย

23 กันยายน 2535

กิตติกรรมประกาศ

การศึกษาวิจัยเรื่อง "ปรอทในก๊าซธรรมชาติ" นี้ สำเร็จจุล่งลงด้วยดี ก็ด้วยการอำนวยการ
ความสะดวกของ รองผู้อำนวยการฝ่ายเทคนิค และเจ้าหน้าที่ห้องแล็บทุกท่าน และการให้ยืม
เครื่อง Jerome 431 จากองค์การปิโตรเลียมแห่งประเทศไทย เพื่อการเปรียบเทียบผลการ
ทดลอง

ผู้ทำการศึกษาวิจัยขอขอบคุณทุกท่าน ไว้ ณ ที่นี้



สถาบันวิทยบริการ
จุฬาลงกรณ์มหาวิทยาลัย



บทคัดย่อ

การศึกษาปรอทในก๊าซธรรมชาติโดยใช้เทคนิค cold vapor atomic absorption spectrometry (CV-AAS) ได้ศึกษาเปรียบเทียบกับเทคนิคของ Jerome ที่ใช้ dosimeter เป็นตัวจับปรอท พบว่า วิธี CV-AAS หาความเข้มข้นปรอทจากตัวอย่างเดียวกัน ได้สูงกว่าวิธี Jerome-dosimeter เกิน 50 %

การใช้ dosimeter จับปรอทในก๊าซธรรมชาติ พบว่า บางครั้ง ประสิทธิภาพการจับปรอทของ dosimeter ลดลง และยังพบว่า บางครั้งการ desorption ปรอทออกจาก dosimeter เกิดขึ้นอย่างช้าๆ ทำให้การอ่านค่าความเข้มข้นปรอทผิดพลาด โดยสรุป ปัจจัยที่เกี่ยวข้องกับการอ่านค่าถูกต้องของ Jerome-dosimeter มี 3 ประการ คือ 1) ประสิทธิภาพของ dosimeters 2) ความถูกต้องของเครื่อง Jerome และ 3) ตัวรบกวนการจับปรอทที่อาจมีอยู่ในตัวอย่างก๊าซธรรมชาติ การศึกษาความเสื่อมสภาพของ dosimeters โดยวัดค่าความต้านทานไฟฟ้าของ dosimeters พบว่า มีค่าสูงเกิน 15 Ohms การศึกษาประสิทธิภาพของ dosimeters โดยใช้ไอปรอทและอ่านค่าด้วย Jerome พบว่าประสิทธิภาพการจับปรอทอยู่ในช่วง 60 - 89 % ความถูกต้องของค่าที่อ่านได้นี้ ยังขึ้นอยู่กับประสิทธิภาพของตัวเซ็นเซอร์ใน Jerome ซึ่งได้ศึกษาโดยทดสอบการทำงานที่เรียกว่า "functional test" พบว่า ประสิทธิภาพของ Jerome โดยเฉลี่ย 83 % เมื่อเทียบกับมวลปรอทที่ฉีดเข้าเซ็นเซอร์ การใช้ calibration curve ที่สร้างจากความสัมพันธ์ของค่าที่ Jerome อ่าน กับมวลปรอท สามารถแก้ไขการหาปริมาณของ Jerome ให้ถูกต้องได้ แต่ไม่สามารถแก้ไขปัญหาที่อ่านค่าได้ต่ำเนื่องจากตัวรบกวนบางอย่างในก๊าซธรรมชาติได้

การใช้ CV-AAS ที่ absorption cell มี pathlength 18 ซม. และเส้นผ่าศูนย์กลาง 1 ซม. สามารถเพิ่ม sensitivity ของปรอทได้ต่ำถึง 0.2 ng ได้ใช้ cell ที่ทำขึ้นนี้ หาประสิทธิภาพของ dosimeters ใหม่ โดยอ่านค่า absorbance ของไอปรอทที่ได้จากการ desorption ปรอท ออกจาก dosimeter เทียบกับ absorbance ของไอปรอทที่ฉีดเข้า absorption cell โดยตรง พบว่าประสิทธิภาพของ dosimeters ที่ได้ ส่วนใหญ่เกินกว่า 95 %

สารละลายจับปรอทและปรอทอินทรีย์ ที่ศึกษามี acetone, toluene, nitric acid,

และ KMnO_4 พบว่า ทุกสารละลายจับปรอทและปรอทอินทรีย์ได้อย่างมีประสิทธิภาพที่อัตราการจับที่ 200 มล./นาที่ ที่ใช้ในการทดลอง (ยกเว้น acetone จับไอปรอทได้ประมาณ 90 %) แต่ได้เลือกใช้สารละลาย KMnO_4 เป็นตัวจับปรอทในก๊าซธรรมชาติที่เหมาะสมที่สุด การวัดค่า absorbance ของไอปรอทที่ได้จากสารละลาย KMnO_4 ตามวิธีของ CV-AAS เข้าสู่ absorption cell โดยตรง พบว่า ให้ sensitivity ไม่ดี เนื่องจากยังมีไอปรอทละลายอยู่ในสารละลาย KMnO_4 สูง จึงใช้ dosimeter เป็นตัวจับปรอทที่ออกมาจากสารละลาย KMnO_4 ก่อน และจึงทำการ desorption เข้าสู่ absorption cell วัดด้วย AAS ทำให้ได้ sensitivity ของการวัดปรอท อยู่ในระดับ 1 ng

การหาปริมาณปรอทในตัวอย่าง ethane และ propane โดยจับปรอทด้วยสารละลาย KMnO_4 และวัดด้วย AAS พบว่า ปริมาณปรอทใน ethane อยู่ในระดับ 0.3- 1 $\mu\text{g}/\text{m}^3$ และใน propane อยู่ในระดับ 0.2 - 0.5 $\mu\text{g}/\text{m}^3$ นอกจากนี้ พบว่า การหาปรอทใน ethane ที่ก่อนผ่านด่านสกัดจับปรอท และหลังผ่านด่านสกัดจับ มีปริมาณปรอทไม่แตกต่างกัน

สถาบันวิทยบริการ
จุฬาลงกรณ์มหาวิทยาลัย

ABSTRACT

Determination of mercury in natural gas by cold vapor atomic absorption spectrometry (CV-AAS) was studied and compared with the Jerome technic using dosimeters to collect mercury in the sample. The mercury concentration of the same sample determined by the CV-AAS was at least 50 % greater than by the Jerome-dosimeter.

It was found that the collection efficiency of dosimeters were sometimes decrease and the desorption rates of mercury from the dosimeters were occasionally slow. The accuracy of the Jerome method was dependent on three important factors which were an collection efficiency of the dosimeter, the accuracy of Jerome, and any interferences present in the natural gas samples. The electrical resistances of dosimeters were checked and found to be greater than 15 Ohms. The efficiency of dosimeters was calibrated with mercury vapor and found to be 60 - 89 % . The Jerome was checked by performing the functional test and found that the response of the Jerome sensor to the mercury injection was an average of 83 percent. The calibration curve constructed from the mercury vapor and the Jerome readings (mg/m^3) could improve the accuracy of the Jerome and dosimeter measurement, however it could not correct the interferences in the natural gas samples.

The CV-AAS using the absorption cell which was 18 cm. long and 1 cm. diameter could increase the sensitivity of detection down to 0.2 ng. The system was used to check the efficiency of the dosimeters again by comparing the AAS absorbance readings of the mercury desorption

from the dosimeter with the mercury vapor directly injected to the absorption cell. The result showed that the efficiency of most dosimeters were greater than 95 percent.

Acetone, toluene, nitric acid, and KMnO_4 solutions were chosen and studied as alternative mercury absorption solutions. It was found that most of the solutions could completely absorb both mercury vapor and organomercury vapor (except acetone absorbed 90 % of mercury vapor) at 200 ml/min carrier gas flow rate. The KMnO_4 solution was selected as the most suitable mercury absorption solution. However, the regeneration of the mercury vapor from the KMnO_4 absorption solution gave poor sensitivity for the AAS measurement due to high solubility of mercury. The dosimeter previously shown by AAS for high mercury collection efficiency was used as the mercury preconcentrator to improve the sensitivity of AAS detection. The result showed that the detection limit was approximately 1 ng .

By using the KMnO_4 absorption solution and the CV-AAS method, the mercury concentration in the ethane and propane lines found to be 0.3-1 $\mu\text{g}/\text{m}^3$ and 0.2 - 0.5 $\mu\text{g}/\text{m}^3$ respectively. Furthermore, the mercury concentration in the ethane line after passing the mercury removal guard remained unchanged.

สารบัญ

	หน้า
กิตติกรรมประกาศ	
บทคัดย่อ	
ABSTRACT	
บทที่ 1 บทนำ	1
1.1 ความเป็นมาของโครงการ	1
1.2 วัตถุประสงค์	1
1.3 ขอบเขตการวิจัย	1
1.4 วิธีการศึกษา	2
บทที่ 2 ความรู้ทั่วไปเกี่ยวกับปรอท	3
2.1 ปรอทในก๊าซธรรมชาติ	3
2.2 คุณสมบัติทางฟิสิกส์และทางเคมีของปรอท	7
2.3 คุณสมบัติทางฟิสิกส์และทางเคมีของปรอทอินทรีย์	10
2.4 การหาปริมาณปรอทโดยเครื่องมือ Jerome และ Dosimeter	11
2.5 การหาปริมาณปรอทโดยวิธีต่างๆ	13
บทที่ 3 การทดลอง	15
3.1 เครื่องมือ	15
3.2 สารเคมี และอุปกรณ์	21
3.3 การเก็บตัวอย่างและการหาปริมาณปรอท	22
3.3.1 การเก็บตัวอย่างโดยใช้ Dosimeter	22
3.3.2 การเก็บตัวอย่างโดยใช้สารละลาย KMnO_4	23
3.3.2.1 เตรียมสารละลาย	23
3.3.2.2 การเก็บตัวอย่างและการหาปริมาณด้วย AAS	23

	หน้า
3.3.2.3 การทำ Blank Test ทดสอบประสิทธิภาพ ของ Dosimeter โดยใช้สารละลาย $KMnO_4$	25
บทที่ 4 การศึกษา JEROME และ DOSIMETER	26
4.1 การศึกษา Filters ของเครื่อง Jerome	27
4.2 การศึกษา Jerome	29
4.2.1 ความถูกต้องของอัตราการปั๊มอากาศ 750 มล./นาที และเวลา 7 วินาที	29
4.2.2 การตรวจสอบการทำงานของ Heater ของเครื่อง Jerome	30
4.2.3 การทดสอบ Functional Test ของเครื่อง Jerome	30
4.3 การศึกษา Dosimeter	34
4.3.1 การทดสอบความเสื่อมสภาพของ Dosimeter	34
4.3.2 การทดสอบประสิทธิภาพการจับปรอทของ Dosimeter เป็นฟังก์ชันของอัตราการไหลก๊าซ	34
4.3.3 การศึกษา Background จาก Moisture ใน Dosimeter ที่ยังไม่ได้จับตัวอย่าง	37
4.3.4 การทดสอบ Blank Test	37
4.3.5 การทดสอบประสิทธิภาพของ Dosimeter โดยใช้ AAS	39
4.4 การศึกษา Detection Limit ของ Dosimeter	41
4.5 การศึกษาตัวรบกวนที่เกิดขึ้นกับ Dosimeter	43
4.6 การทดสอบการจับ H_2S และ CO ของ Soda Lime	45
บทที่ 5 การศึกษา ATOMIC ABSORPTION DETECTION	47
5.1 การศึกษา Atomic Absorption Detection (AA)	47
5.1.1 การศึกษาชุด Cold Vapor ของ Shimadzu	47
5.1.2 การศึกษา Modified Absorption Cell	49
5.1.3 การศึกษาการดูดซับปรอทของ Tubing ชนิดต่างๆ	49
5.1.4 การศึกษาอัตราการไหลของก๊าซพาที่ให้ค่า Absorbance สูงสุด	51

	หน้า
5.2 การศึกษา Detection Limit	51
5.3 การหาปริมาณสารปรอทอินทรีย์	54
5.3.1 การศึกษาอัตราการไหลก๊าซพาที่มีผลต่อการ แตกสลายสารปรอทอินทรีย์	54
5.3.2 การศึกษาอุณหภูมิภายใน Heating Tube	54
5.3.3 การศึกษา Voltage ที่มีผลต่อการแตกสลาย ของสารปรอทอินทรีย์	54
5.3.4 การหาปริมาณสารปรอทอินทรีย์	58
5.4 การศึกษาสารละลายตัวจับปรอทในตัวอย่างก๊าซ	58
5.4.1 การทดสอบชนิดของตัวจับปรอท	58
5.4.2 การศึกษาประสิทธิภาพการจับปรอทของสารละลาย KMnO ₄ เป็นฟังก์ชันของอัตราการไหลก๊าซ	62
5.4.3 การศึกษาอัตราการไหลของไอปรอทที่ฟอร์มจาก ปฏิกิริยารีดักชัน-แอเรชัน กับการอ่านค่า Absorbance สูงสุด	62
5.4.4 การใช้ตัว Dosimeter เป็น Preconcentrator เพื่อเพิ่มประสิทธิภาพการวัดปรอท	65
5.4.5 การศึกษาอัตราการ Desorption ปรอท ที่ให้ค่า Absorbance สูงสุด	65
5.5 การศึกษา Detection Limit	70
5.6 การศึกษาตัวรบกวนที่เกิดขึ้นกับ AAS	70
5.6.1 ตัวรบกวน H ₂ S, CO, CO ₂ , COS	70
บทที่ 6 การหาปริมาณปรอทในก๊าซธรรมชาติ	73
6.1 การหาปริมาณปรอทใน Ethane และ Propane โดย Dosimeter กับ Jerome	73
6.2 การหาปริมาณปรอทใน Ethane และ Propane ใช้สารละลาย KMnO ₄ และ AAS เปรียบเทียบกับ Dosimeter และ Jerome	76

	หน้า
6.3 การเปรียบเทียบวิธี AAS และ Jerome กับการหา ปริมาณปรอทโดยใช้ตัวอย่างเดียวกัน	76
6.4 การใช้ Calibration Curve เพื่อแก้ไขการหา ปริมาณปรอทด้วย Jerome ให้ถูกต้อง	79
บทที่ 7 บทสรุป	83
เอกสารอ้างอิง	86
ภาคผนวกที่ 1 การทำ Function Test เครื่อง Jerome	



สถาบันวิทยบริการ
จุฬาลงกรณ์มหาวิทยาลัย

สารบัญตาราง

	หน้า	
ตารางที่ 1.1	ส่วนประกอบโดยเฉลี่ยของก๊าซธรรมชาติจากแหล่งเอราวัณ หลังจากผ่านสถานีควบคุมจุดกั้นตัวของก๊าซที่จังหวัดระยอง	5
ตารางที่ 1.2	แสดงค่าเฉลี่ยขององค์ประกอบของก๊าซชนิดต่างๆ ที่โรงแยกก๊าซ ส่งให้กับบริษัท ปิโตรเคมีแห่งชาติ จำกัด (รายงานประจำเดือน พฤษภาคม 2535)	6
ตารางที่ 1.3	แสดงคุณสมบัติทางฟิสิกส์บางอย่างของปรอท	7
ตารางที่ 1.4	แสดงไอโซโทปของปรอท	9
ตารางที่ 1.5	แสดง nuclear spin และ nuclear moment ของ ปรอทไอโซโทป	10
ตารางที่ 1.6	แสดงคุณสมบัติทางฟิสิกส์ของสารปรอทอินทรีย์บางตัว	10
ตารางที่ 4.1	แสดง Filters องค์ประกอบและหน้าที่ของ Filters	28
ตารางที่ 4.2	แสดงผลวิเคราะห์ Filters	28
ตารางที่ 4.3	แสดง Temperature Conversion Chart ของการทำ Functional Test ของเครื่อง Jerome	31
ตารางที่ 4.4	แสดงการทำ Functional Test เปรียบเทียบ Jerome ของ ปคช กับ ปตท	32
ตารางที่ 4.5	แสดงการทำ Functional Test ที่อุณหภูมิต่างๆ กับ Jerome ของ ปคช	33
ตารางที่ 4.6	แสดงการหาประสิทธิภาพการจับปรอทของ Dosimeter โดยใช้ไอปรอท และอ่านค่าด้วย Jerome ของ ปคช	35
ตารางที่ 4.7	แสดงการอ่านค่าปรอทด้วย Jerome ของ ปคช เป็นเวลา 4 วัน จาก dosimeter ที่ยังไม่ได้ใช้งาน	38
ตารางที่ 4.8	แสดงการทำ Blank Test ของ Dosimeter บางตัว และอ่านค่าด้วย Jerome	38

	หน้า
ตารางที่ 4.9 แสดงการทดสอบประสิทธิภาพของ dosimeter	40
ตารางที่ 4.10 แสดงการหา Detection limit ของการวัดด้วย Jerome	41
ตารางที่ 4.11 แสดงผลของ H ₂ S ที่มีต่อการจับปรอทของ Dosimeter เมื่อผ่านและไม่ผ่าน acid filter	44
ตารางที่ 4.12 แสดง CO ที่มีผลต่อการจับปรอทของ Dosimeter	44
ตารางที่ 5.1 แสดงการดูดซับปรอทของ Tubing ชนิดต่างๆ	50
ตารางที่ 5.2 แสดงประสิทธิภาพการจับปรอทของสารละลาย permanganate เป็นฟังก์ชันของอัตราการไหลของก๊าซพา ใช้ dosimeters 2 ตัว เป็นตัวจับปรอทที่เสถียร และอ่านค่าด้วย Jerome	63
ตารางที่ 6.1 แสดงการจับปรอทใน Ethane ที่ก่อนผ่าน และหลังผ่านด่าน สกัดปรอทของ ปคช	74
ตารางที่ 6.2 แสดงการจับปรอทใน Propane	75
ตารางที่ 6.3 แสดงการปรอทใน Ethane Feed ก่อนและหลังผ่าน จุดสกัดปรอท และใน Propane Feed และการหา ค่าเบี่ยงเบน จากการวัด 3 ครั้ง	76
ตารางที่ 6.4 แสดงการหาปรอทใน Ethane Feed โดยวัดด้วย AAS เปรียบเทียบกับ การวัดด้วย Jerome	77
ตารางที่ 6.5 แสดงการหาปรอทใน Propane โดยวัดด้วย AAS เปรียบเทียบกับ การวัดด้วย Jerome จากการหา 2 ครั้ง จาก bomb เดียวกัน	77
ตารางที่ 6.6 แสดงการหาปรอทใน Ethane และ Propane โดยเปรียบเทียบ วิธีวิธีการวัดด้วย AAS กับการวัดด้วย Jerome	78
ตารางที่ 6.7 แสดงการหาปริมาณปรอทใน Ethane โดยใช้ วิธี Jerome-curve เทียบกับการหาด้วยวิธี AAS และการใช้แพ็คเกจของ Jerome	81

สารบัญรูปประกอบ

	หน้า
รูปที่ 1.1 แสดงผังการทำงานของเครื่อง Jerome	13
รูปที่ 3.1 แสดงชุดผลิตไอปรอท Shimadzu Mercury Vaporizer MVU-1A	16
รูปที่ 3.2 แสดงผังการผลิตไอปรอทเข้าสู่ Gas Flow Cell ของ AAS และ MVU-1A	16
รูปที่ 3.3 แสดง Reaction Vessel ที่ใช้ผลิตปรอท ทำจากขวด Dreschel ขนาด 250 มล.	18
รูปที่ 3.4 แสดง Gas Flow Cell หรือ Absorption Cell ขนาดเส้นผ่าศูนย์กลาง 1 ซม. และ ยาว 18 ซม.	18
รูปที่ 3.5 แสดงผังการทำงานของ Mercury Vaporizer ที่ใช้ขวด Dreschel เป็น Reaction Vessel และใช้ Absorption cell ที่ทำขึ้นใหม่	19
รูปที่ 4.1 แสดงประสิทธิภาพการจับปรอทของ dosimeter เป็นฟังก์ชันของอัตราการไหลของก๊าซ	36
รูปที่ 4.2 แสดงความสัมพันธ์ของมวลปรอทกับค่าความเข้มข้นที่ Jerome อ่านได้ เทียบกับความเข้มข้นปรอทจริงที่ฉีดเข้า dosimeter	42
รูปที่ 5.1 แสดง calibration curve ของปรอท โดยใช้ Shimadzu AA-610	48
รูปที่ 5.2 แสดง calibration curve ของปรอท ใช้ Shimadzu AA-680 โดยตั้ง Lamp current 6 mA, slit width 0.7 nm, wavelength 253.7 nm	48
รูปที่ 5.3 แสดงการอ่านค่า Absorbance สูงสุดเป็นฟังก์ชันของอัตรา การไหลของก๊าซพา	52
รูปที่ 5.4 แสดง Calibration curve ที่ได้จากการฉีดไอปรอทเข้า absorption cell และใช้อัตราการการไหลของก๊าซ 200 มล./นาที	53
รูปที่ 5.5 แสดงค่า Absorbance ของไอปรอทอินทรีย์ที่แตกสลายเป็นฟังก์ชัน ของอัตราการไหลของก๊าซ	55

รูปที่ 5.6	แสดงความสัมพันธ์ของอุณหภูมิภายใต้ heating tube กับ voltage ของ transformer เป็นฟังก์ชันของเวลา	56
รูปที่ 5.7	แสดงการแตกสลายของ Dimethylmercury เป็นฟังก์ชันของ voltages โดยใช้อัตราการไหลของก๊าซพา 200 มล./นาที	57
รูปที่ 5.8	แสดงความสัมพันธ์ของมวลปรอทอินทรีย์กับค่า absorbances	59
รูปที่ 5.9	แสดงการจับปรอทของสารละลาย acetone กับน้ำ เป็นฟังก์ชันของความเข้มข้นของ acetone โดยใช้ AAS เป็นตัววัดปรอทที่เล็ดลอดสารละลายออกไป	61
รูปที่ 5.10	แสดงการฟอร์มไอปรอทที่อุณหภูมิห้อง ใช้อัตราการไหลของก๊าซพาที่ 900, 650, และ 350 มล./นาที ใช้ปรอท Hg^{+2} 500 ng ในสารละลาย $KMnO_4$	64
รูปที่ 5.11	แสดงการฟอร์มไอปรอทที่อุณหภูมิ 95 °ซ ใช้อัตราการไหลของก๊าซพาที่ 900, 650, และ 350 มล./นาที ใช้ปรอท Hg^{+2} 500 ng ในสารละลาย $KMnO_4$	66
รูปที่ 5.12	แสดง Calibration curve ที่ได้จากการฟอร์มไอปรอทที่อุณหภูมิ 90 °ซ ในปฏิกิริยารีดักชัน-แอเรชัน และใช้อัตราการไหลของก๊าซพา 650 มล./นาที	67
รูปที่ 5.13	แสดงอัตราการ desorption ปรอท ออกจาก dosimeter เป็นฟังก์ชันของ อัตราการไหลของก๊าซพา ที่ 100 - 1000 มล./นาที	68
รูปที่ 5.14	แสดงอัตราการ desorption ปรอท ออกจาก dosimeter เป็นฟังก์ชันของ อัตราการไหลของก๊าซพา ที่ 50 - 200 มล./นาที	69
รูปที่ 5.15	แสดง calibration curve ของไอปรอทที่ฉีดลงใน dosimeter ที่เป็น preconcentrator ใช้อัตราการไหลก๊าซ 100 มล./นาที	71
รูปที่ 5.16	แสดง calibration curve ของปรอทในสารละลาย ที่จับด้วย dosimeter ที่อุณหภูมิห้อง	72
รูปที่ 6.1	แสดง Calibration curve ของ AAS และของ Jerome ที่เตรียมจาก Standard ปรอทชุดเดียวกัน โดยอ่านค่า absorbance ด้วย AAS ก่อน และจึงอ่านด้วย Jerome	80

บทที่ 1

บทนำ



1.1 ความเป็นมาของโครงการ

บริษัทปิโตรเคมีแห่งชาติ จำกัด (ปคช) ได้มอบหมายให้ วิทยาลัยปิโตรเลียมและปิโตรเคมี จุฬาลงกรณ์มหาวิทยาลัย ดำเนินการวิจัยเรื่อง "ปรอทในก๊าซธรรมชาติ" โดยมีระยะเวลาการวิจัย 10 เดือน นับตั้งแต่วันที่ 1 ตุลาคม 2534 ถึง วันที่ 31 กรกฎาคม 2535 โดยมี

อาจารย์ ดร. จินตนา สายวรรณ	หัวหน้าโครงการ
อาจารย์ ดร. สุจิตรา ธารงวารภรณ์	ผู้ร่วมโครงการ

1.2 วัตถุประสงค์

- 1.2.1 เพื่อหาความถูกต้องของ dosimeter/Jerome ในการหาปริมาณปรอท
- 1.2.2 เพื่อศึกษาหาวิธีวิเคราะห์แบบใหม่ที่ดีกว่าวิธีที่ใช้อยู่ปัจจุบัน และครอบคลุมถึงสารปรอทอินทรีย์
- 1.2.3 เพื่อปรับปรุงการเก็บตัวอย่างให้เร็วขึ้น

1.3 ขอบเขตการวิจัย

- 1.3.1 ทดลองจับปรอทในตัวอย่างโดยใช้ dosimeter/Jerome ที่ใช้อยู่ในแล็บของ ปคช
- 1.3.2 เตรียมสารปรอทอินทรีย์
- 1.3.2 ทดลองวิธีวิเคราะห์ปรอทโดยใช้ atomic absorption ที่สามารถหาปริมาณปรอทในระดับ sub ppb ได้
- 1.3.3 ทดลองใช้ตัวจับปรอท(adsorbents) ชนิดต่างๆ
- 1.3.4 ทดลองจับปรอทในตัวอย่าง มีเทน และ โพรเพน ด้วยวิธีใหม่

1.4 วิธีการศึกษา

- 1.4.1 ทำการทดลองที่ห้องปฏิบัติการวิทยาลัยปิโตรเลียมและปิโตรเคมี และที่ห้องปฏิบัติการ ส่วนควบคุมคุณภาพ บ. ปิโตรเคมีแห่งชาติ จำกัด



สถาบันวิทยบริการ
จุฬาลงกรณ์มหาวิทยาลัย

บทที่ 2 ความรู้ทั่วไปเกี่ยวกับปรอท

2.1 ปรอทในก๊าซธรรมชาติ

ปรอทที่เกิดขึ้นในธรรมชาติ ส่วนใหญ่อยู่ในรูปของ mercury sulfide (Cinnabar) แก๊สดิบ แก๊สเปอร์เซนต์ของปรอทที่ได้จากการทำเหมืองในโลกมาจากส่วนที่เรียกว่า mercuriferous belts ซึ่งเป็นส่วนเคลื่อนตัวของโลก ไม่มีหลักฐานทางธรณีที่เด่นชัดที่แสดงว่าปรอทเกิดร่วมอยู่กับน้ำมันและก๊าซธรรมชาติ ข้อมูลพื้นฐานกล่าวถึงความเข้มข้นของปรอทในปิโตรเลียม บริเวณ mercuriferous belt ว่าอาจมีปริมาณปรอทสูงและอิมตัวอยู่ในก๊าซธรรมชาติ (1)

ปรอทพบอยู่ในปิโตรเลียมโดยละลายได้ในไฮโดรคาร์บอนชนิด alkanes C₅-C₁₀ การละลายของปรอทสามารถทำนายได้จากสูตร (2)

$$\ln S(\text{moral}) = (5.1059 \pm 0.1576) - (4970.90 \pm 46.40)/T$$

โดย S = ปริมาณการละลายของปรอท

และ T = อุณหภูมิเป็นองศาเคลวิน

ปริมาณการละลายลดลงเมื่อ alkanes เป็นพวก branched alkanes ปรอทที่เกิดอยู่ในปิโตรเลียมมีทั้งที่อยู่ในฟอร์มของธาตุ และเป็นสารประกอบปรอทอินทรีย์ ปรอทที่พบในก๊าซธรรมชาติก็เช่นเดียวกัน อยู่ในรูปของไอปรอทและไอของสารประกอบปรอทอินทรีย์ สารเหล่านี้มีจุดเดือดใกล้เคียงกับสารไฮโดรคาร์บอนในก๊าซธรรมชาติ มีการเคลื่อนตัวไหลไปกับก๊าซธรรมชาติ

องค์ประกอบทางเคมีของก๊าซธรรมชาติจากแต่ละแหล่งจะแตกต่างกัน (3) เช่น ก๊าซธรรมชาติที่พบในประเทศสหรัฐอเมริกาจะมีปริมาณมีเทนสูงประมาณ 80-85 % และมีคาร์บอนไดออกไซด์ต่ำ ในขณะที่ก๊าซธรรมชาติที่พบในอ่าวไทยมีปริมาณมีเทนเพียง 60-70 % และมีคาร์บอนไดออกไซด์สูง ก๊าซธรรมชาติที่ขุดจากแหล่งเอราวัณในอ่าวไทย โดยบริษัท ยูเนี่ยน ออยล์ จากแท่นผลิตถูกส่งผ่าน

ท่อลำเลียงก๊าซเป็นระยะทาง 425 ไมล์ มาถึงการปิโตรเลียมแห่งประเทศไทย ที่มาบตาพุด จังหวัดระยอง เข้าสู่สถานีควบคุมจุดกลั่นตัวของก๊าซ (Dew point control unit) ก๊าซจะถูกทำให้เย็นถึงอุณหภูมิประมาณ 60 องศาฟาเรนไฮต์ เพื่อแยกเอาส่วนประกอบที่เป็นไฮโดรคาร์บอนหนักออกจากก๊าซ ส่วนประกอบของก๊าซธรรมชาติหลังแยกไฮโดรคาร์บอนหนักออกแล้ว ดังแสดงในตารางที่ 1.1

การค้นพบปรอทในก๊าซธรรมชาติที่ขุดเจาะในอ่าวไทย ในปี 2527 บริษัทขุดเจาะ ยูเนียน ออยล์ ได้พบปรอทปนอยู่ในก๊าซธรรมชาติในสภาพที่เป็นก๊าซและของเหลว ปรอทโดยส่วนใหญ่ได้ถูกกำจัดออกจากก๊าซธรรมชาติ ณ.ที่แหล่งผลิตก่อนการลำเลียงส่งไปตามท่อถึงโรงแยกก๊าซ ที่จังหวัดระยอง แต่อย่างไรก็ตามยังมีปรอทบางส่วนเล็ดลอดไปกับก๊าซธรรมชาติไปตามท่อลำเลียง ก๊าซและบางส่วนยังอยู่ในของเหลวที่กลั่นตัว (Liquid condensate) ปรอทที่พบอยู่ในรูปของ elemental mercury vapor และอาจอยู่ในรูป organomercury แต่รูปฟอร์มทางเคมีที่แท้จริงไม่เป็นที่ทราบแน่นอน ปรอทในรูป elemental mercury vapor ฟอร์ม amalgam และทำความเสียหายกับระบบลำเลียง

การกัดกร่อนที่เกิดขึ้นกับท่อลำเลียงก๊าซ เนื่องจากระบบ cryogenic ของก๊าซธรรมชาติ ใช้ heat exchanger เป็นพวกอลูมิเนียม มีรายงานว่า (4-6) ปรอทในก๊าซธรรมชาติเป็นตัวเร่งปฏิกิริยาการออกซิไดซ์อลูมิเนียม การกัดกร่อนอลูมิเนียม เนื่องจาก amalgam (AlHg) ที่เกิดขึ้นจากการฟอร์มของปรอทกับอลูมิเนียม เมื่อ AlHg ถูกความชื้นจะทำปฏิกิริยากับน้ำ เกิดเป็นออกไซด์ของอลูมิเนียม (Al_2O_3) เกิดการกัดกร่อนของอลูมิเนียม ปรอทที่ปล่อยออกมาจากปฏิกิริยา สามารถกลับเข้าไปฟอร์ม amalgam ได้อีก ปฏิกิริยาเกิดช้า วนเวียนเช่นนี้ จนกระทั่งเจาะลึกเข้าไปในเนื้ออลูมิเนียม ในที่สุด เจาะทะลุท่ออลูมิเนียม เกิดความเสียหายขึ้น ดังรายงานที่เกิดขึ้นในประเทศ Algeria และ Holland (7) ปริมาณปรอทที่พบอยู่ในช่วง 0.001-180 $\mu\text{g}/\text{m}^3$

ก๊าซธรรมชาติหลังผ่านจุดกลั่นตัว ถูกแยกเป็นก๊าซ มีเทน อีเทน และ โพรเพน ที่โรงแยก ก๊าซ และส่งต่อไปยังกลุ่มอุตสาหกรรมปิโตรเคมี โดยบริษัทปิโตรเคมีแห่งชาติ จำกัด รับก๊าซมีเทนมาใช้เป็นเชื้อเพลิง ก๊าซ อีเทน และโพรเพน เป็นวัตถุดิบในการผลิต เอทิลีน กับ โพรพิลีน ที่

เป็นวัตถุประสงค์ชั้นกลาง สำหรับอุตสาหกรรมผลิตเม็ดพลาสติก ต่อไป องค์ประกอบของก๊าซแต่ละชนิด
 ดังแสดงในตารางที่ 1.2

ตารางที่ 1.1 ส่วนประกอบโดยเฉลี่ยของก๊าซธรรมชาติจากแหล่งเอราวัณ หลังจากผ่านสถานี
 ควบคุมจุดก่อกวนตัวของก๊าซที่จังหวัดระยอง

คุณสมบัติ	พฤษภาคม-ธันวาคม 2525	ปี 2526
	โมลเปอร์เซ็นต์	โมลเปอร์เซ็นต์
มีเทน, CH ₄	68.33	68.08
อีเทน, C ₂ H ₆	10.65	10.33
โพรเพน, C ₃ H ₈	6.42	6.25
ไอโซบิวเทน, iC ₄ H ₁₀	1.46	1.57
นอร์มัลบิวเทน, nC ₄ H ₁₀	1.25	1.22
ไอโซ เพนเทน, iC ₅ H ₁₂	0.33	0.33
นอร์มัล เพนเทน, nC ₅ H ₁₂	0.20	0.19
เฮกเซนพลัส, C ₆ H ₁₄ +	0.17	0.21
ไนโตรเจน, N ₂	0.74	0.83
คาร์บอนไดออกไซด์, CO ₂	10.45	10.99
ไฮโดรเจนซัลไฟด์, H ₂ S(GRAIN/FT ³)	-	0.0013
ปริมาณน้ำ (LBS/MILLION FT ³)	2.40	2.30

ที่มา เอกสารอ้างอิงหมายเลข 3

ตารางที่ 1.2 แสดงค่าเฉลี่ยขององค์ประกอบของก๊าซชนิดต่างๆ ที่โรงแยกก๊าซส่งให้กับ
บริษัท ปิโตรเคมีแห่งชาติ จำกัด (รายงานประจำเดือน พฤษภาคม 2535)

คุณสมบัติ	Propane Feed	Ethane Feed	Treated Gas	Fuel Gas
มีเทน, CH ₄ (mole %)	18.26	1.68	91.06	88.69
อีเทน, C ₂ H ₆ (mole %)	0.32	96.72	4.85	3.00
อาเซทิลีน, C ₂ H ₂ (mole %)				
เอทิลีน C ₂ H ₄ (mole %)				
โพรเพน, C ₃ H ₈ (mole %)	99.65	<0.1	0.09	0.65
บิวเทน C ₂ H ₁₀ (mole %)	<0.3	<0.01	<0.03	<0.02
เพนเทน C ₂ H ₁₂ (mole %)	<0.004	-	<0.01	0.00
ไฮโดรเจน H ₂ (mole %)	-	-	<0.02	5.39
คาร์บอนไดออกไซด์, CO ₂ (ppm)	0.000	1.57	1.97	1.43
คาร์บอนมอนอกไซด์, CO (mole %)	0.000	0.00	0.00	<0.05
ซัลเฟอร์ทั้งหมด, Total S (ppmv)	<0.600	<1.0	<10	-
คาร์บอนิวไซด์, COS (ppm)	2.60	-	-	-
ความชื้น (ppm)	-	-	-	-
เมธิลแอลกอฮอล์, CH ₃ OH (ppm)	-	-	-	-

ที่มา เอกสารอ้างอิงหมายเลข 8

2.2 คุณสมบัติทางฟิสิกส์และทางเคมีของปรอท (9)

ปรอทเป็นของเหลวที่อุณหภูมิห้อง ระเหยกลายเป็นไอได้ง่าย มีความดันไอ 1.9×10^{-3} mm ที่อุณหภูมิ 25° C อยู่ในสภาพเป็น monoatomic คุณสมบัติต่างๆทางฟิสิกส์ ดังแสดงในตารางที่ 1.3

ตารางที่ 1.3 แสดงคุณสมบัติทางฟิสิกส์บางอย่างของปรอท

Atomic weight	200.59
M.P., $^{\circ}$ C	-38.87
ΔH_{FUSION} , kcal.mole $^{-1}$	0.5486
ΔS_{FUSION} , cal.deg $^{-1}$.mole $^{-1}$	2.37
B.P., $^{\circ}$ C	356.57
ΔH_{FUSION} , kcal.mole $^{-1}$	14.652
ΔS_{FUSION} , cal.deg $^{-1}$.mole $^{-1}$	22.21
Vapor pressure, mm	1/126 $^{\circ}$; 10/184 $^{\circ}$; 100/261 $^{\circ}$ C
Density, g/cm $^{-1}$	13.534/25 $^{\circ}$ C
Solubility, g/100 g water	6×10^{-6} /25 $^{\circ}$ C
Ohmic resistance, ohm.m	95.76×10^{-8} /20 $^{\circ}$ C

ปรอทมีจุดหลอมเหลวต่ำ มีจุดเดือดสูง แต่ทว่ากลายเป็นไอได้ง่าย ซึ่งแสดงถึง ปรอทมี interatomic force ต่ำมาก มีความหนืดต่ำ ซึ่งหมายถึง ระยะระหว่างอะตอมของปรอท (Hg-Hg) ที่เข้าใกล้กันเป็นไอ ประมาณ 3.25 \AA ที่อุณหภูมิ 850° K ซึ่งยาวกว่าในสภาพที่เป็นของเหลว และแสดงถึง bonding ที่เกิดขึ้นระหว่างอะตอมของปรอทอ่อนมาก

ปรอทสามารถละลายในน้ำได้ดีกว่าโลหะอื่น การละลายเพิ่มขึ้นเมื่อเพิ่มออกซิเจนลงไป นอกจากนี้ ปรอทยังละลายในตัวทำละลายอินทรีย์ได้ เช่น n-hexane (2.7×10^{-7} g/100 g ที่ 40° ซ) ใน benzene (2.0×10^{-7} g/100 g/20 $^{\circ}$ ซ) ใน methanol (3.6×10^{-7} g/100 g ที่ 63° ซ) และใน dioxane (7.0×10^{-7} g/100 g/25 $^{\circ}$ ซ)

ปรอททำปฏิกิริยากับ Halogens โดยตรงที่อุณหภูมิห้อง แต่ไม่ทำปฏิกิริยากับ ออกซิเจน แต่ถ้าที่อุณหภูมิ 350 °ซ ให้ HgO และแตกตัวกลับไปเป็นปรอทที่อุณหภูมิสูงขึ้น ธาตุอื่นๆ เช่น กำมะถัน ซิลิเนียม และ เทลลูเรียม ทำปฏิกิริยาโดยตรงกับปรอทเมื่อทำให้ร้อน

ปรอทไม่ทำปฏิกิริยากับ Hydride ของ HF, HCl, H₂S, NH₃, PH₃, และ AsH₃ ที่อุณหภูมิต่ำกว่า 200 °ซ แต่ทำปฏิกิริยากับ HBr, HI ที่อุณหภูมิห้อง นอกจากนี้ ยังทำปฏิกิริยาอย่างรวดเร็วกับ ICl ให้ HgCl₂ และ HgI₂

ปรอททำปฏิกิริยากับกรดกำมะถันเข้มข้น ที่ร้อน ให้ Hg₂SO₄, HgSO₄ และ SO₂ ทำปฏิกิริยากับ HNO₃ ให้ Hg(NO₃)₂, Hg₂(NO₃)₂ และ NO

ปรอทฟอร์มอัลลอยกับโลหะ เรียกว่า amalgam ปฏิกิริยาเกิดขึ้นโดยตรง เช่น Na และ K ปฏิกิริยาเกิดขึ้นอย่างรุนแรง ปรอทฟอร์ม amalgam กับโลหะอื่นๆ ในหลายรูปแบบ เช่น อัลลอยของปรอทกับโลหะเงิน ได้สารประกอบ Ag₅Hg₈ และ AgHg₃ อัลลอยของปรอทกับโลหะทอง ได้สารประกอบของ Au₂Hg₃ และ AuHg เป็นต้น

ข้อมูลไอโซโทป ดังแสดงในตารางที่ 1.4 ปรอทมีไอโซโทปที่เสถียร 7 ตัว และไม่เสถียร 11 ตัว ทั้ง Hg¹⁹⁹ และ Hg²⁰¹ ให้ Mossbauer spectra มีการศึกษา Hg¹⁹⁹ ของ HgMe₂ โดยใช้ nuclear magnetic resonance พบว่า Hg¹⁹⁷, Hg¹⁹⁹, และ Hg²⁰¹ มี nuclear spin และ nuclear moment ดังแสดงในตารางที่ 1.5

สถาบันวิทยบริการ
จุฬาลงกรณ์มหาวิทยาลัย

ตารางที่ 1.4 แสดงไอโซโทปของปรอท

Species	Atomic wt. (vs ^{16}O)	Half-life	Emitter type	Natural Abundance (%)
^{189}Hg		23 min	α	
^{190}Hg		20 min	α	
^{191}Hg		57 min	α	
^{192}Hg		5.7 hr	α, β^+	
^{193}Hg		6 hr	α	
^{194}Hg		130 day	α	
^{195}Hg		9.5 hr	α	
^{196}Hg	196.02726	stable	-	0.146
^{197}Hg		65 hr	α	
^{198}Hg	198.02914	stable	-	10.02
^{199}Hg	199.03096	stable	-	16.84
^{200}Hg	200.03127	stable	-	23.13
^{201}Hg	201.03351	stable	-	13.22
^{202}Hg	202.03415	stable	-	29.80
^{203}Hg	203.03550	47 day	α, β	
^{204}Hg	204.03851	stable	-	0.146
^{205}Hg	205.03980	5.2 min	α, β	
^{206}Hg		7.5 min	β	

ตารางที่ 1.5 แสดง nuclear spin และ nuclear moment ของปรอทไอโซโทป

Species	Nuclear spin	Nuclear moment, magnetron
^{197}Hg	1/2	0.52
^{199}Hg	1/2	0.499
^{201}Hg	3/2	-0.607

2.3 คุณสมบัติทางฟิสิกส์และทางเคมีของปรอทอินทรีย์ (9)

คุณสมบัติทางฟิสิกส์บางอย่างของสารปรอทอินทรีย์ที่น่าสนใจ ดังแสดงในตารางที่ 1.6

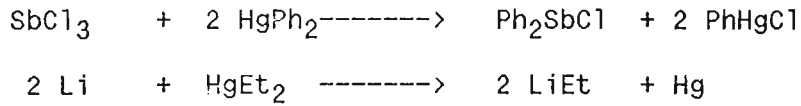
ตารางที่ 1.6 แสดงคุณสมบัติทางฟิสิกส์ของสารปรอทอินทรีย์บางตัว

Compound	M.P. ($^{\circ}\text{C}$)	B.P. ($^{\circ}\text{C}$)	Density (g/cm^3)	R.I.
HgMe_2	-	92.5	3.069	1.547
HgEt_2	-	159	2.466	1.548
HgPr_2	-	63/10 mm	2.021	1.517
HgPh_2	121.8(subl.)	204/10 mm	2.318	-

Thermodynamic data

	$\Delta H_{F,L}$ (kcal.mole^{-1})	ΔH_{VAP} (kcal.mole^{-1})	ΔS_{VAP} (cal.deg.mole^{-1})
HgMe_2	18	8.1	22.1
HgEt_2	15	10.1	23.4

คุณสมบัติทางเคมีของสารปรอทอินทรีย์ โดยทั่วไปพบว่าพันธะของ Hg-C มีความไวต่อการทำปฏิกิริยากับ อากาศ และ น้ำ แต่พันธะถูกทำลายได้ด้วยกรด สาร mercuryalkyl และ mercuryaryl ทำปฏิกิริยากับโลหะบางชนิด เช่น



การแตกสลาย (decomposition) ของสารปรอทอินทรีย์ เกิดขึ้นได้ที่อุณหภูมิสูงให้ $\text{RHg}\cdot + \text{R}\cdot$ หรือ $\text{Hg} + 2 \text{R}\cdot$ การแตกสลายของ HgMe_2 เป็น first order ให้ Log A (13.5 sec^{-1}) และ ΔE_{ACTIV} ($51.5 \text{ kcal.mole}^{-1}$) แต่การศึกษาของนักวิจัยบางกลุ่มค้านว่าเป็น second order มีค่า Log A (13.0 sec^{-1}) และ ΔE_{ACTIV} ($45.1 \text{ kcal.mole}^{-1}$) สาร HgR_2 ส่วนมากแตกสลายเมื่อถูกแสงให้ $\text{R}\cdot$ radicals การศึกษาการแตกตัวของ HgMe_2 ในรูปของเหลวและของแข็งโดยใช้ γ - radiolysis ให้ $\text{CH}_4, \text{C}_2\text{H}_6, \text{HgMeEt}, \text{H}_2, \text{C}_2\text{H}_4, \text{C}_3\text{H}_8, \text{mercury}$ และ polymeric residue

2.4 การหาปริมาณปรอทโดยเครื่องมือ Jerome และ Dosimeter (10)

เครื่องมือชนิดนี้เหมาะกับการใช้หาปรอทที่อยู่ในรูปของ elemental vapor ในบริเวณที่มีปรอทตก และในบริเวณแวดล้อมของการทำงาน ตลอดจนใช้หาปรอทในก๊าซธรรมชาติ เนื่องจากขนาดของเครื่องเล็กกระทัดรัด สะดวกต่อการใช้งาน การเก็บตัวอย่างไม่ยุ่งยาก การหาปริมาณทำได้รวดเร็วโดยไม่ต้องเทียบกับมาตรฐานกราฟของปรอท อุปกรณ์ที่ใช้แบ่งเป็น 2 อย่างคือ ตัวจับปรอท เรียกว่า dosimeter เครื่องวัดปริมาณ เรียกว่า Jerome ผลิตโดย Arizona Instrument Co.

Dosimeter ทำจากเส้นลวดนิโครมมีความต้านทานไฟฟ้าประมาณ 40 Ohms เมื่อนำมาเคลือบด้วยทอง ทำให้ความต้านทานไฟฟ้าลดต่ำลงถึงประมาณ 10 Ohms เส้นลวดถูกขดเป็นสปริงอยู่ภายในทรงกระบอกพลาสติก มีเส้นผ่าศูนย์กลางภายนอกประมาณ 2 ซม. ยาวประมาณ 12 ซม. ที่ปลายหัวท้ายปิดด้วยแผ่นพลาสติก มีช่องเปิดให้ก๊าซตัวอย่างผ่านเข้า/ออก และปลายสองข้างของ

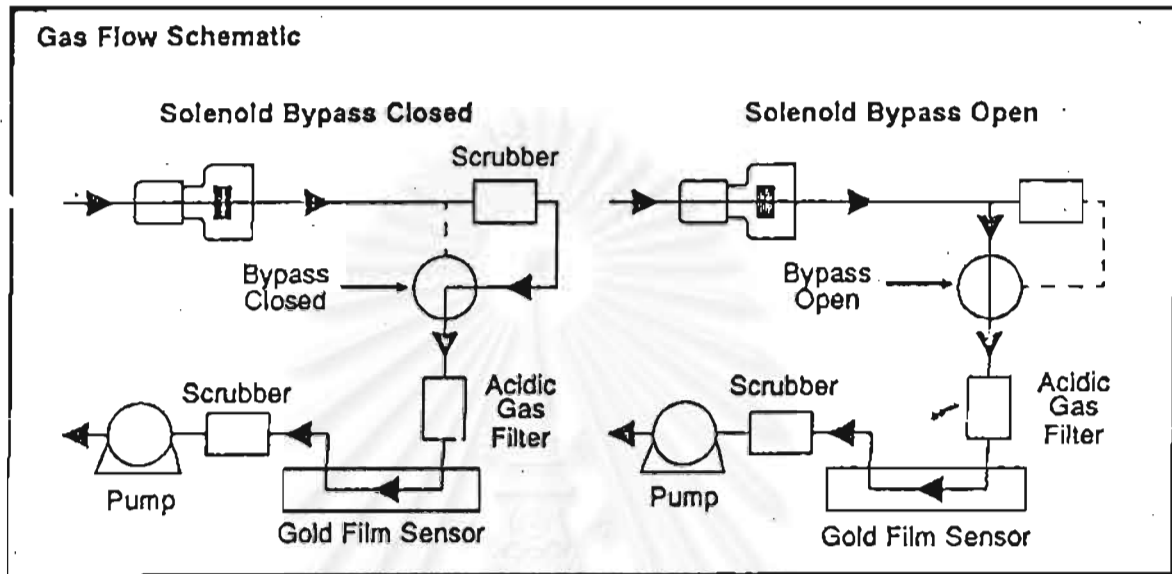
เส้นลวดถูกยึดติดกับเส้นโลหะนำไฟฟ้ายื่นออกมาด้านนอกของ dosimeter dosimeter ที่ทำเสร็จ นำไปผ่านไฟฟ้าเพื่อให้ความร้อน และตรวจสอบค่าความต้านทานไฟฟ้า ถ้าเกิน 14 Ohms จะไม่เอามาใช้งาน เนื่องจากมีประสิทธิภาพการจับปรอทต่ำ

การจับปรอทของ dosimeter ใช้หลักการฟอร์ม amalgam ระหว่าง ทองกับปรอท อัตราความเร็วที่ใช้เก็บตัวอย่างและให้ค่าถูกต้องที่สุด คือ 2 มล./นาที ให้ความแตกต่างของค่าที่อ่านได้น้อยสุด ผู้ใช้สามารถใช้อัตราการเก็บตัวอย่างได้ถึง 50 มล./นาที แต่ที่อัตราการเก็บสูงกว่า 50 มล./นาที อาจต้องใช้ค่าแฟคเตอร์เพื่อเพิ่มความถูกต้องของการอ่านค่า นอกจากนี้ ต้องระวังเรื่องความสามารถจับปรอทของ dosimeter

Jerome เครื่องวัดปริมาณ ดังแสดงในผังรูปที่ 1.1 ประกอบด้วย pump ดึงอากาศจากภายนอกผ่านตัวกรองอากาศ(ไม่ได้แสดง zero air filter) ผ่าน scrubber, acidic filters และ gold film sensor เมื่อนำ dosimeter ที่จับปรอทไว้ มาต่อเข้ากับ Jerome ทำการกดปุ่มที่เครื่องเพื่อให้เครื่องเริ่มทำงาน ในช่วง 2 วินาทีแรก solenoid bypass ปิด pump จะดึงอากาศจากภายนอกด้วยอัตราเร็ว 750 มล./นาที ผ่าน dosimeter, scrubber, acidic filter และ gold film sensor หลัง 2 วินาที solenoid bypass เปิดออก ให้ปรอทจาก dosimeter ผ่านไปสู่ acidic filter และ ไปสะสมอยู่ที่ gold film sensor โดยไม่ผ่าน scrubber filter เมื่อครบ 7 วินาที solenoid bypass ปิด ปรอทที่เหลือจะถูกดึงผ่าน scrubber และผ่านระบบออกไป ปรอทที่เกาะที่ gold sensor จะทำให้ค่าความต้านทานไฟฟ้าเปลี่ยนไปตามปริมาณของปรอทที่มาเกาะ เครื่อง Jerome อ่านค่าความต้านทานไฟฟ้าที่เปลี่ยนไป และแปลงเป็นค่าความเข้มข้นที่มีเตอร์รายงานในหน่วย mg/m^3 ผู้ผลิตเครื่องอ้างว่า ความไวในการวัดของ Jerome เท่ากับ $0.003 \text{ mg}/\text{m}^3$ โดยมีความถูกต้องของการอ่านความเข้มข้นที่ $0.107 \text{ mg}/\text{m}^3 \text{ Hg}$ อยู่ในช่วง $\pm 5\%$

ผู้ผลิตอ้างว่า ตัวรบกวนที่อาจเกิดขึ้นกับ Jerome มีน้อยมาก Jerome ไม่ถูกรบกวนจากสารพวก Hydrocarbons, CO, CO₂, SO₂, สารที่มีออกซิเจน, และ ไอน้ำ (ไอน้ำที่กลั่นด้วยบน gold film sensor อาจทำให้เซ็นเซอร์เสียได้) นอกจากนี้ acidic gas filter ที่อยู่ในเครื่อง ช่วยกรองสารที่อาจเป็นอันตรายต่อเซ็นเซอร์ เช่น Cl₂, NO₂, H₂S, และสารพวก Thiols สารปรอทที่ระเหยง่ายสามารถทำให้ Jerome อ่านค่าได้ เช่น methyl

mercury และ สารปรอทที่เป็น straight chained ตัวอื่นๆ สามารถเปลี่ยนค่าความต้านทานไฟฟ้าของ gold film sensor ได้ แต่การอ่านค่า เป็นเชิงคุณภาพ ไม่ใช่เชิงปริมาณ เนื่องจาก ผู้ผลิตใช้ elemental mercury vapor ทำการ calibrate เครื่อง Jerome



รูปที่ 1.1 แสดงผังการทำงานของเครื่อง Jerome

2.5 การหาปริมาณปรอทโดยวิธีต่างๆ

การดัดแปลงเทคนิค flameless หรือ cold vapor (CV) atomic absorption (AA) เพื่อใช้หาปริมาณปรอทเป็นที่รู้และใช้กันอย่างแพร่หลาย โดยการรีดิวซ์ปรอทในสารละลายด้วย Sn^{+2} และไล่ปรอทออกจากสารละลายโดยผ่านก๊าซลงไป ปรอทถูกพาเข้าสู่ cell ของ AA เพื่อหาปริมาณต่อไป Koirtyohann และ Khalil⁽¹¹⁾ ได้ศึกษาตัวแปรที่เกี่ยวข้องกับการฟอร์มปรอท โดยวิธี CV-AAS ได้รายงานถึงผลกระทบของความเข้มข้นของกรดซัลฟูริก และ อุณหภูมิเป็นตัวแปรสำคัญต่อการฟอร์มปรอท รายงาน การสูญหายของปรอทในขั้นตอนการทำปฏิกิริยารีดักชัน และตัวรบกวนเนื่องจาก Pt, Au, หรือ Ag Osborne⁽¹²⁾ ได้แสดงให้เห็นถึงความจำเป็นไปได้ที่จะใช้ Electrothermal vaporizer (ETV) เป็นตัว atomize ตัวอย่างที่อุณหภูมิ 2650 °C และหาปริมาณโดยใช้ ICP/MS เทคนิคนี้ ใช้หาปรอทใน crude oil และ

naphthalene Long *et al*(13) ได้หาปรอทในตัวอย่างที่เป็นอากาศ ใช้ตัวเก็บที่เป็น silver wool ต่อเป็นอนุกรมจับตัวอย่างเป็นเวลา 24 ชั่วโมง และหาปริมาณปรอทโดยใช้ CV-AAS สามารถหาปริมาณปรอทได้อยู่ในช่วง $15 \text{ ng/m}^3 - 10 \text{ ug/m}^3$ และพบว่า dimethylmercury, SO_2 , H_2S , และ NO_2 ไม่รบกวนต่อการจับปรอทมากนัก นอกจากนี้ ได้พบว่า rubber และ teflon tubing ดูดซับปรอทไว้เป็นจำนวนมาก Agemian และ Chau(14) ได้ใช้แสง UV ในการแตกสลายสารปรอทอินทรีย์ และหาปริมาณปรอททั้งหมดโดยใช้ CV-AAS ตัวอย่างที่ทำการศึกษา เป็นพวก ปลา และตัวอย่างน้ำ Filippelli(15) ใช้ graphite furnace AA (FAA)หาปริมาณปรอทอินทรีย์ และใช้ GC ในการหาชนิดของปรอทอินทรีย์ ในตัวอย่าง เช่น เลือด ปลา เป็นต้น Detection limit ที่ได้จาก FAA เท่ากับ 0.04 ng จากตัวอย่างที่ใส่เข้าไป 20 uL (คิดเป็นมวลปรอท 2 ng) Churchwell *et al*(16) ได้ประเมินการใช้วิธีของ EPA protocols ที่ใช้หลักการ CV-AAS หาปรอทในตัวอย่างที่เป็น น้ำทิ้งและของเสีย ว่าไม่เหมาะต่อการควบคุมคุณภาพและมีสิ่งรบกวนเนื่องจากไอสารประกอบอินทรีย์ ได้ตัดแปลงใหม่ และใช้ silver wool เป็นตัว preconcentrator เพิ่มความไวในการหาปริมาณด้วยวิธี CV-AAS เนื่องจากความเป็นพิษร้ายแรงของปรอท ทำให้การหาปรอทในตัวอย่างชีวภาพเพิ่มมากขึ้น Keith *et al*(17) ได้ใช้ mass spectrometer (MS) ในการหาคุณภาพและปริมาณปรอทในปลา และ Tong *et al*(18) ใช้ spark MS หาปรอทในผลแอปเปิล gas chromatograph (GC) ได้มีบทบาทสำคัญในการหาสารปรอทอินทรีย์และสารปรอทอินทรีย์ในตัวอย่างชีวภาพ เช่น Cappon และ Smith(19) สกัดสารปรอทออกจากตัวอย่าง เช่น เลือด เนื้อเยื่อ และ ปลา เป็นต้น โดยวิธีเปลี่ยนปรอทให้อยู่ในรูปของสาร alkylmercury bromide และทำการแยกโดยใช้ GC และสามารถหาปรอทได้ในระดับความเข้มข้น 1 ppb Zarnegar และ Mushak(20) หาปรอทอินทรีย์และอินทรีย์ ในตัวอย่างน้ำและตัวอย่างชีวภาพโดยใช้ GC Bushee(21) ได้ใช้ liquid chromatograph ศึกษาปรอทอินทรีย์ และหาปริมาณโดยใช้ ICP/MS

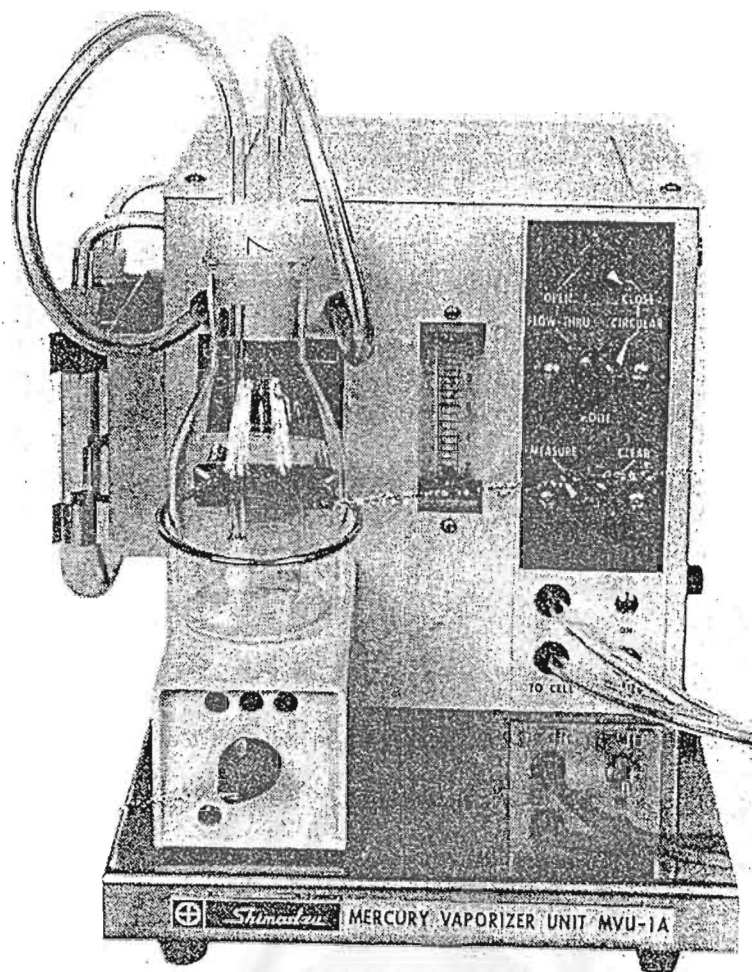
บทที่ 3 การทดลอง

3.1 เครื่องมือ

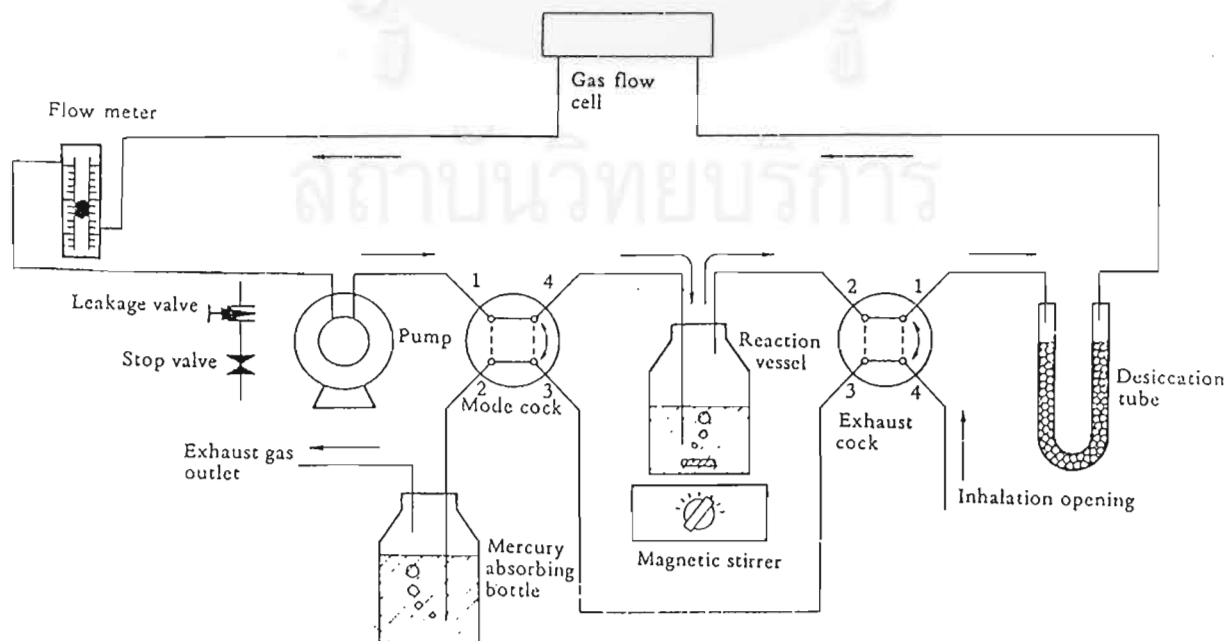
เครื่องมือ Jerome และ Dosimeter Jerome รุ่น 431 และ dosimeter จาก Arizona Instrument Co. ประเทศอเมริกา การใช้งาน Jerome และ dosimeter จะทำตามคำแนะนำในคู่มือของเครื่อง การเก็บตัวอย่างทุกครั้งจะต้องผ่าน acid filter ก่อนไปถึง dosimeter และอากาศที่ผ่านเข้า Jerome ต้องผ่าน Zero air filter ก่อนการทำ Functional test ของ Jerome และ calibration ของ dosimeter จะได้กล่าวโดยละเอียด ในส่วนของการศึกษา Jerome และ dosimeter

เครื่อง Atomic absorption spectrometer (AAS) ที่ใช้ตลอดการทดลองเป็นของ Shimadzu รุ่น 680 จาก ประเทศญี่ปุ่น ต่อเข้ากับเครื่องควบคุมการทำงานเป็นคอมพิวเตอร์ ของ NEC/PC รุ่น KD 854 ควบคุมการเซ็ทโมโนโครเมเตอร์ การเก็บและวิเคราะห์ข้อมูล และการส่งออกไปสู่เครื่องพิมพ์ Graphic printer ของ Shimadzu รุ่น PR 5 การวัดปรอท ใช้ความยาวคลื่นที่ 253.7 nm จากหลอด Hollow cathode ของ Hamamatsu Photonics K.K. ชุดผลิตไอปรอท แบบ Cold vapor (CV) ที่ใช้ในการทดลองมี 2 ชุด คือ Shimadzu mercury vaporizer รุ่น MVU-1A (ในรูปที่ 3.1) และชุดที่ทำขึ้นใหม่

การทำงานของชุด Shimadzu mercury vaporizer ดังแสดงในรูปที่ 3.2 เริ่มจากไอปรอทที่เกิดจากปฏิกิริยารีดักชัน-แอเรชัน (reduction aeration) ผ่านเข้าตัวดูดความชื้น $Mg_2(ClO_4)$ ด้วยอัตราการไหล 2.5 ลิตร/นาที ไปสู่ gas flow cell ที่วางอยู่บน cell holder และยึดติดกับ burner ขนาดของ flow cell ยาว 10 ซม. และมีเส้นผ่าศูนย์กลาง 2.5 ซม. วางอยู่ในช่องทางที่แสงจากหลอด hollow cathode ผ่าน ปรอทจาก reaction vessel ไปสู่ gas flow cell ให้ไหลไปตามท่อพลาสติก vinyl ขนาดเส้นผ่าศูนย์กลางภายใน 5 มม. ยาวประมาณ 2 ม. และทางออกของ flow cell ต่อท่อเข้าสู่สารละลายกำจัดไอปรอท



รูปที่ 3.1 แสดงชุดผลิตไอปรอท Shimadzu Mercury Vaporizer MVU-1A



รูปที่ 3.2 แสดงผังการผลิตไอปรอทเข้าสู่ Gas Flow Cell ของ AAS และ MVU-1A

ชุด reaction cell ที่ทำขึ้นใหม่ประกอบด้วย reaction vessel ที่เป็น dreschel bottle ขนาด 250 มล. ดังแสดงในรูปที่ 3.3 ปลายด้านที่ก๊าซไหลเข้าและอยู่ในสารละลาย เป็น glass frit ตัดแปลงฝาครอบใหม่ ให้มีหลอดแก้วขนาดเส้นผ่าศูนย์กลางประมาณ 5 มม. ยาวประมาณ 10 ซม. เจาะทะลุฝาครอบ ปิดปลายเปิดด้านบนด้วย septum เมื่อเติมสารละลายรีดิฟซึ่งเอเจนต์เข้าสู่ reaction vessel จะใช้ syringe ขนาด 5 มล. ตูดสารละลายและฉีดทะลุ septum ลงไป โดยไม่ต้องเปิดฝาครอบ ทำให้สะดวกต่อการใช้งาน และเป็นระบบปิดที่ป้องกันการรั่วไหลของปรอทออกนอก reaction vessel ปลอดภัยต่อผู้ทำงาน นอกจากนี้ มีสปริง 2 ตัว ยึดฝาครอบไว้กับตัวขวด เพื่อกันความดันภายในขวดที่อาจดันฝาให้เปิดออก

การดัดแปลง gas flow cell ให้มีขนาดดังแสดงในรูปที่ 3.4 ขนาดเส้นผ่าศูนย์กลาง 1 ซม. ยาว 18 ซม. ที่ปลายสองข้างปิดด้วย Quartz window ปลายที่ให้ก๊าซไหลเข้า/ออก จาก absorption cell อยู่ห่างจากปลายสองข้าง 1 ซม. และมีเส้นผ่าศูนย์กลาง 0.5 ซม.

ผังของการทำงานของชุด mercury vaporizer และ การทำงานของ AAS ดังแสดงในรูปที่ 3.5 ประกอบด้วยส่วนต่างๆ 7 ส่วน (A-G) คือ

(A) Flowmeter ปรับการไหลของก๊าซพา ใช้หลายขนาด ขึ้นอยู่กับอัตราการไหลของก๊าซ

1) ใช้ flowmeter ของ Shimadzu mercury vaporizer เมื่อตั้งอัตราการไหลที่ 2.5 ลิตร/นาที

2) ใช้ flowmeter ของ (KOFLOC) KOJIMA เมื่อใช้อัตราการไหลสูงถึง 1 ลิตร/นาที

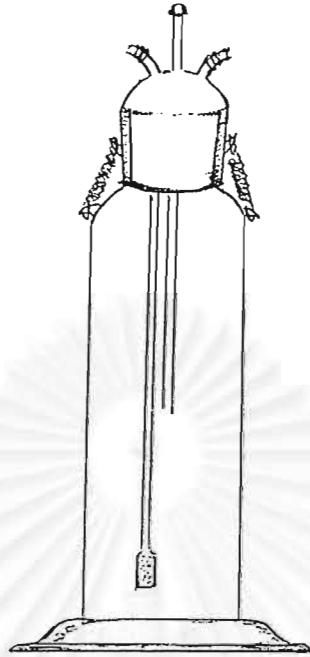
3) ใช้ mass flow controller และ pressure controller ขนาด 2 kg/cm² ที่อัตราการไหลของก๊าซไม่เกิน 220 มล./นาที

4) ใช้ rotameter ของเครื่อง Shaw ที่อัตราการไหลสูงเกิน 1 ลิตร/นาที

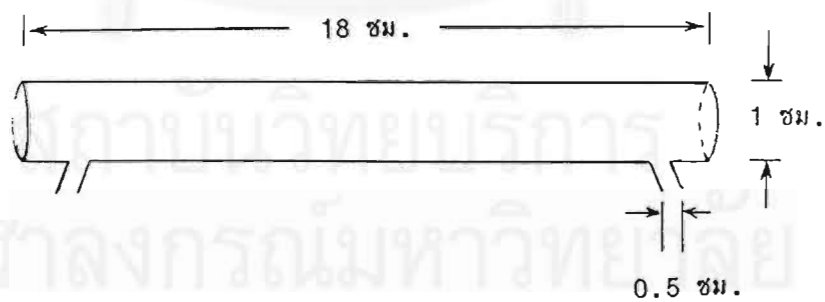
(B) Reaction vessel เป็นขวด dreschel ตั้งอยู่บน Magnetic stirrer ที่สามารถให้ความร้อนได้ ปลายด้านหนึ่งต่อเข้ากับ flowmeter ปลายทางออกต่อเข้ากับ silica gel tube หรืออาจใช้ soda lime เพื่อตูดน้ำออกจากก๊าซพา

(C) Heating tube ประกอบด้วย packing tube และ packing material, heating coil, และ variac transformer

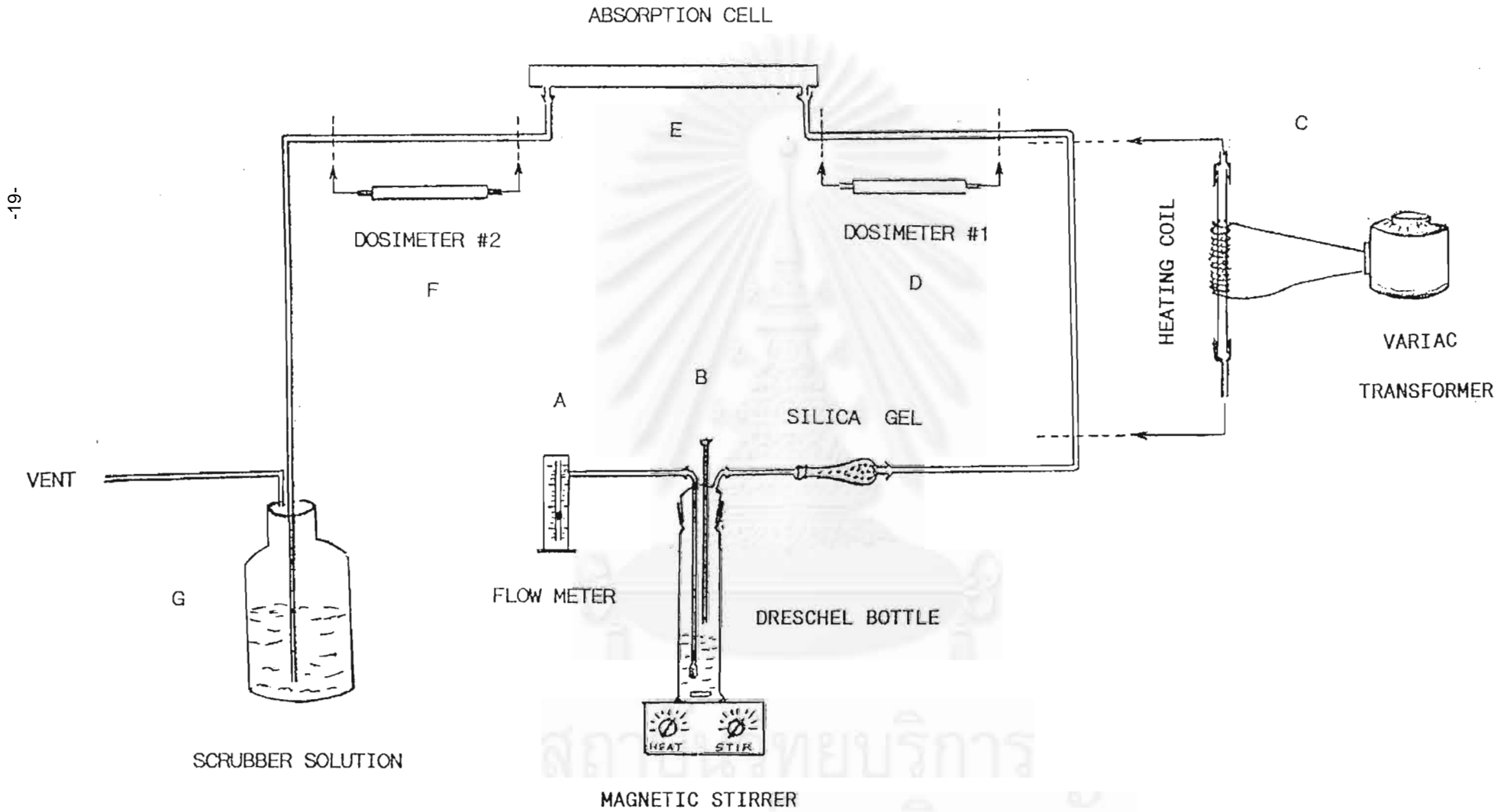
1) packing tube เป็น pyrex ขนาดเส้นผ่าศูนย์กลาง 8 มม. ยาว 15 ซม.



รูปที่ 3.3 แสดง Reaction Vessel ที่ใช้ผลิตปรอท ทำจากขวด Dreschel
ขนาด 250 มล.



รูปที่ 3.4 แสดง Gas Flow Cell หรือ Absorption Cell ขนาด
เส้นผ่าศูนย์กลาง 1 ซม. และ ยาว 18 ซม.



รูปที่ 3.5 แสดงผังการทำงานของ Mercury Vaporizer ที่ใช้ขวด Dreschel เป็น Reaction Vessel และใช้ Absorption cell ที่ทำขึ้นใหม่

ภายในบรรจุด้วยเม็ดโลหะเงินขนาดเส้นผ่าศูนย์กลางประมาณ 2 มม. หรือเล็กกว่า และหุ้มด้วยทอง 100% อยู่ตรงกลางหลอดแก้วยาวประมาณ 25 มม. ที่หัวท้ายของ packing ปิดด้วยใยแก้วเพื่อกันไม่ให้เม็ดโลหะหลุดเนื่องจากแรงดันของก๊าซพา

2) Heating coil เป็นขดลวดนิโครมขนาด 22 มิล ยาว 1 เมตร ขดรอบแก้ว pyrex ช่วงที่มีเม็ดโลหะบรรจุอยู่ ปลายสองข้างของเส้นลวด ต่อเข้ากับ Variac transformer

ใช้ (C) เมื่อต้องการศึกษาสารปรอทอินทรีย์และหาปริมาณของสาร

- (D) Dosimeter #1 ตำแหน่งที่ 1 ต่อติดกับ absorption cell ที่ก่อนทางเข้า cell ใช้ในกรณีที่ต้องการให้ AAS เป็นตัววัดปรอทที่จับด้วย dosimeter
- (E) Absorption cell
- (F) Dosimeter #2 ตำแหน่งที่ 2 ต่อติดกับ cell ที่ปลายทางออก ใช้ต่อเมื่อต้องการจับปรอทที่ออกจาก absorption cell เพื่อนำไปวัดเปรียบเทียบกับ Jerome
- (G) Scrubber solution สารละลายกำจัดปรอท ที่ปลายทางออกของ scrubber ต่อออกสู่ภายนอกอาคาร

การใช้งานของแต่ละส่วนขึ้นอยู่กับการทำงานทดลอง ดังนี้

- 1) เมื่อต้องการวัดไอปรอทที่ออกมาจากปฏิกิริยารีดักชัน-แอเรชันโดยตรง จะใช้การต่อของ (A), (B), (E), และ (G)
- 2) การหาปริมาณสารปรอทอินทรีย์ ต่อ (A), (C), (E), และ (G) โดยต่อ injector port เข้าระหว่าง (A) กับ (C) (การศึกษานับที่ 5)
- 3) การทดสอบประสิทธิภาพของ dosimeter โดยใช้ AAS ต่อ (A), (D), (E), (F), และ (G) (การศึกษานับที่ 4)
- 4) การใช้ dosimeter เป็นตัว preconcentrator ในระบบ CV-AAS ต่อ (A), (B), (D), (E), และ (G) (การศึกษานับที่ 5)
- 5) เมื่อต้องการจับปรอทที่ออกจาก absorption cell และนำมาอ่านใหม่ด้วย AAS หรือ วัดด้วย Jerome ต่อ (A), (D), (E), (F), และ (G)

เมื่อจำเป็นต้องฉีดปรอทเข้าสู่ระบบที่จุดใด สามารถทำได้โดยการต่อ injector port เข้า

ตรงจุดที่ต้องการ การต่อเชื่อมของแต่ละส่วน จะใช้ teflon เป็นท่อต่อ และใช้ black - rubber tubing ที่สั้นที่สุดเป็นข้อต่อ

เครื่องหา H_2S เป็น Microcoulometer ของ Dohrmann รุ่น MCTS-30 ใช้หลักการเปลี่ยน H_2S ให้กลายเป็น SO_2 โดยการผ่านก๊าซตัวอย่างเข้าสู่ combustion tube ที่อุณหภูมิ $800^\circ C$ จะทำให้ sulfur แยกตัวและทำปฏิกิริยากับ oxygen ได้ SO_2 เข้าสู่ titration cell ทำปฏิกิริยากับ iodine การวัดใช้หลักการของ potentiometric titration โดย Voltage ที่เปลี่ยนไปจะเป็นสัดส่วนโดยตรงกับปริมาณของ sulfur

อุปกรณ์หา CO โดยใช้ Dragger tube (ของ เยอรมัน)

3.2 สารเคมี และอุปกรณ์

สารเคมีที่ใช้ตลอดการทดลอง เป็น analytical grade มีรายงานเปอร์เซ็นต์ความบริสุทธิ์ ดังแสดงในรายการต่อไปนี้

สารเคมี	ผลวิเคราะห์	บริษัทผู้ผลิต
HCL	Certified	Carlo Erba
HNO_3	Certified	Carlo Erba
H_2SO_4	Tr. metal analysis	Kanto Chemical Co. (Cica)
1 mg/ml Hg in HNO_3	AAS Grade	Carlo Erba
$(NH_2OH)_2H_2SO_4$	99.0 %	Carlo Erba
$KMnO_4$	> 99.0 %	Fluka
$SnCl_2 \cdot 2H_2O$	Certified	Merck
KBr	99.5 - 100.2 %	Cica
Soda lime	-	Cica
$Mg(ClO_4)_2$	min. 99 %	Cica
NaCl	99.5 %	Merck
NaOH	97.0 %	Cica

Acetone	HPLC 99.7 %	Merck
Toluene		Merck
Methyl mercury bromide		Aldrich
Ethyl mercury bromide		Aldrich
Methyl bromide		Aldrich
Calcium hydride		Aldrich
Dimethyl Mercury		Aldrich
Standard Hg vapor		Arizona Instrument Co.

อุปกรณ์ควบคุมอัตราการไหลของก๊าซประกอบด้วย mass flow controller model 2203 (KOFLOC) ของ KOJIMA, Pressure controller ขนาด 2-6 kg/cm² ของ TOKO, flowmeter ขนาด 1 liter/min (KOFLOC) ของ KOJIMA, และ digital flowmeter ของ Alltech Associates Inc. เป็นตัววัดอัตราการไหลของก๊าซที่ระดับต่ำกว่า 0.5 ลิตร/นาที

3.3 การเก็บตัวอย่างและการหาปริมาณปรอท

การเก็บตัวอย่างจากท่อลำเลียงก๊าซ โดยต่อ Pressure controller ที่ outlet ที่แยกออกมาจากท่อลำเลียงใหญ่ ที่ปลายของ pressure controller แยกออกเป็น 3 ทาง เพื่อต่อกับ mass controller 3 ตัว ทำให้สามารถเก็บตัวอย่างที่ sampling point หนึ่งๆ ได้ 3 ตัวอย่าง หรือมากขึ้น เวลาการเก็บตัวอย่างนานประมาณ 8 - 20 ชม. ขึ้นอยู่กับอัตราความเร็วของการเก็บ และปริมาณปรอทในตัวอย่าง

3.3.1 การเก็บตัวอย่างโดยใช้ Dosimeter

การเก็บตัวอย่างจากท่อลำเลียง Ethane ที่ส่งตรงมาจาก ปตท และที่ท่อลำเลียงหลังผ่านจุดกำจัดปรอทของ ปตท โดยใช้ dosimeters 2 ตัว ต่อเป็นอนุกรม เข้า outlet ที่แยกออกมาจากท่อลำเลียงใหญ่ ใช้ pressure และ mass controller เป็นตัวควบคุมอัตราการไหลของตัวอย่างก๊าซผ่านเข้า acid filter และ dosimeters นำ dosimeters ไปวัดหาปรอท ด้วยวิธี Jerome หรือ AAS

การเก็บตัวอย่างจาก liquid Propane เก็บใส่ใน bomb ที่เป็นสแตนเลส ขนาด 1 ลิตร นำมาระเหยให้กลายเป็นไอโดยให้ไหลผ่าน tubing ขนาดเส้นผ่าศูนย์กลางประมาณ 2 มม. ที่ขดอยู่ใน water bath ที่ร้อน 60 °ซ ควบคุมอัตราการไหลของก๊าซโดยใช้ flow controller ให้ก๊าซตัวอย่างผ่านเข้า acid filter และ dosimeters นำ dosimeters ไปวัดหาปรอท ด้วยวิธี Jerome หรือ AAS

3.3.2 การเก็บตัวอย่างโดยใช้สารละลาย KMnO_4

3.3.2.1 เตรียมสารละลาย

- 1) สารละลาย KMnO_4 5 % ในน้ำ (a)
- 2) สารละลาย H_2SO_4 1:1 ในน้ำ (b)
- 3) สารละลาย $\text{NH}_2\text{OH} \cdot \text{H}_2\text{SO}_4$ 10 % ในน้ำ (c)
- 4) สารละลาย $\text{SnCl}_2 \cdot 2\text{H}_2\text{O}$ 10% ใน 10 % HCl ในน้ำ (d)
- 5) สารละลายจับปรอท KMnO_4 absorption ใช้ (a) 1 ส่วน (b) 1 ส่วน และน้ำ 2 ส่วน (e)
- 6) สารละลายปรอทมาตรฐาน 1000 ng/ml ใน 3 % HNO_3 จากสารละลายปรอทแสดนดาร์ต 1 mg/ml Hg

สารละลายที่ใช้ทั้งหมด ควรเตรียมใหม่ ทุกครั้ง ก่อนใช้ภาชนะเครื่องแก้ว และ syringe ก่อนนำมาใช้งาน ต้องล้างให้สะอาดด้วยน้ำกรองหรือน้ำกลั่น และแช่ในสารละลายกรดไนตริก 3 % ทุกครั้ง

3.3.2.2 การเก็บตัวอย่างและการหาปริมาณด้วย AAS

ใช้สารละลายจับปรอท KMnO_4 absorption 40 มล (ตามความเหมาะสมของภาชนะ) ใส่ในขวด dreschel หุ้มภายนอกขวดด้วยแผ่นอลูมิเนียม เพื่อกันไม่ให้สารละลายถูกแสง ปิดฝาต่อปลายด้าน gas inlet เข้ากับ outlet ของ mass controller ที่ปรับอัตราการไหลของก๊าซตัวอย่างแล้ว จับตัวอย่างนาน 8 - 20 ซม. ขึ้นอยู่กับ อัตราการไหลของก๊าซที่ตั้งไว้ และ ปริมาณปรอทในตัวอย่าง

ขั้นตอนการวิเคราะห์ตัวอย่าง

- ก) เตรียม calibration curve
- 1) เตรียมสารละลายปรอท 0, 5, 10, 20, 30 ng ใน flask ขนาด 250 มล. จากสารละลายมาตรฐานปรอท 1000 ng/ml
 - 2) เติมสารละลาย (e) 80 มล. ลงใน flask เติมน้ำกลั่นลงไปถึง 150 มล. ทำปฏิกิริยาที่ 90 °C นาน 1 ชม. จากนั้นทิ้งไว้ให้เย็น
 - 3) ถ่ายสารละลายจาก ข้อ 2) ลงสู่ dreschel ต่อก๊าซหาคด้วยอัตราเร็ว 50 - 100 มล./นาที เข้า dreschel ต่อ silica gel และ preconcentrator (dosimeter) ที่ทางออกของ dreschel ขณะคนสารละลายบน magnetic stirrer ใช้ syringe เติมสารละลาย (c) 3 มล. ผ่าน septum และ สารละลาย (d) 5 มล. ลงใน dreschel ให้ dosimeter จับไอปรอทเป็นเวลา 7 - 10 นาที จึงปลด dosimeter ออก
 - 4) นำ dosimeter ต่อที่ทางเข้าของ absorption cell ให้ความร้อนต่อ dosimeter โดยใช้ Vac 20 โวลต์ จาก transformer เป็นเวลา 7 วินาที อ่านค่า absorbance ด้วย AAS พล็อต calibration curve ค่า absorbance กับค่ามวลปรอท
- ข) การวิเคราะห์ตัวอย่าง
- นำสารละลายจับปรอทตัวอย่าง มาเติมสารละลาย (e) 40 มล. เติมน้ำถึง 150 มล. ทำเหมือนข้อ 2) - 4) ค่าที่อ่านได้ เทียบกับ calibration curve เพื่อหาปริมาณปรอท ต่อไป
- ค) การตั้งเงื่อนไขการวัด AAS
- 1) Instrumental condition
 - Lamp current 6 mA
 - Slit width 0.7 nm
 - Wavelength 253.7 nm
 - Mode BGC

- 2) Measurement condition
 - Signal processing Direct
 - Integration time 5 sec
- 3) Analog output Response 1

3.3.2.3 การทำ Blank test ทดสอบประสิทธิภาพของ dosimeter โดยใช้สารละลาย $KMnO_4$

ใช้ สารละลาย $KMnO_4$ Absorption ในหลอด dreschel ให้ความร้อนที่ $90^{\circ}C$ เป็นเวลา 1 ชั่วโมง และ ทำปฏิกิริยา รีดักชัน-แอเรชัน โดยใช้ 3 มล. ของสารละลาย hydroxylamine sulfate (c) และ 5 มล. ของสารละลาย $SnCl_2$ (d) ใช้อัตราการไหลของก๊าซผ่านสารละลาย 20 มล./นาที เข้าสู่ dosimeter และนำไปวัดด้วย Jerome หรือ AAS

บทที่ 4

การศึกษา JEROME และ DOSIMETER

Jerome เป็นเครื่องมือวิเคราะห์ปริมาณปรอท ที่ใช้กันกว้างขวางในภาคสนาม เนื่องจากเป็นเครื่องมือขนาดเล็กกระทัดรัด ใช้งาน สะดวก และการวัดปริมาณทำได้รวดเร็ว นอกจากนี้ ผู้ใช้ที่ไม่มีประสบการณ์และความชำนาญก็สามารถใช้ได้ แต่การใช้งานของเครื่องมือมีขีดจำกัด เฉพาะไอปรอทเท่านั้น เนื่องจากผู้ผลิตทำการ calibrate การหาปริมาณปรอทของเครื่องไว้ เฉพาะกับไอปรอทอย่างเดียวเท่านั้น โดยการวัดค่าความต้านทานไฟฟ้าของทองที่เปลี่ยนไปตาม สัดส่วนของปรอทที่เกาะที่ผิวหน้าของทอง ถ้ามีสารรบกวนใดๆ ที่เข้าสู่เครื่อง Jerome และ สามารถทำให้ความต้านทานไฟฟ้าของทองที่เป็นเซ็นเซอร์เปลี่ยนไป เครื่องจะอ่านค่าได้ การหา ปริมาณปรอทก็จะผิดพลาด ได้ค่าเกินความเป็นจริง เมื่อใช้ dosimeter ที่ภายในเป็นเส้นลวด ทอง จับปรอทในตัวอย่าง ถ้ามีตัวรบกวนใดๆ ไปจับผิวหน้าของลวดทอง ทำให้ประสิทธิภาพการจับ ปรอทของทองลดลง การหาปริมาณปรอทในตัวอย่างจะได้น้อยกว่าความเป็นจริง นอกจากนี้ dosimeter มีอายุการใช้งาน มีการเสื่อมสภาพ ต้องทำการ calibrate ตามเวลาที่เหมาะสม

ปัญหาที่เกิดขึ้นจากการใช้ dosimeter จับปรอทในตัวอย่างก๊าซธรรมชาติ เช่น ใช้ dosimeters 2 ตัว ต่อเป็นอนุกรม จับตัวอย่างด้วยอัตรา 20 - 50 มล./นาที ถ้าไม่มีตัวรบกวน dosimeter ตัวแรกสามารถจับปรอทได้หมด โดยปรอทผ่านไปไม่ถึง dosimeter ตัวที่สอง แต่ ปรากฏการณ์ที่เกิดขึ้นบ่อยครั้งที่ dosimeter ตัวที่สองจับปรอทได้มากกว่าตัวแรก ดังแสดง

<u>Dosimeter</u>	<u>Jerome reading (mg/m³)</u>
#1	.008, .000
#2	.797, .011, .004, .000

แสดงถึงตัวอย่างก๊าซธรรมชาติมีตัวรบกวนการจับปรอทอยู่ ตัวรบกวนนี้อาจกีดกันการจับปรอทที่ ผิวหน้าของเส้นลวดทอง และลดประสิทธิภาพของ dosimeters ลง

เมื่อนำ dosimeter ที่จับปรอทไว้ มาต่อเข้ากับ Jerome เพื่อวัดปริมาณปรอท โดยให้ความต่างศักย์ไฟฟ้า 24 Vac ที่ปลายสองข้างของ dosimeter ทำให้เส้นลวดทองร้อนและพันธะระหว่างทองกับปรอทหลุดออก (desorption of mercury) ปรอทจะถูกอากาศพัดพาด้วยอัตราการไหล 750 มล./นาที เข้าสู่เซ็นเซอร์ ให้ Jerome อ่านค่าความเข้มข้น การทำงานของ Jerome ดังที่กล่าวมาแล้ว เพียงกดปุ่มที่เครื่อง การอ่านค่าอาจต้องทำหลายครั้ง เนื่องจากการ desorption ปรอทออกจาก dosimeter เพียง 1 ครั้ง อาจทำได้ไม่หมด จะต้องวัดจนกว่า Jerome อ่านค่าได้เป็นศูนย์ ปรกติประมาณ 1-3 ครั้ง ก็สามารถดึงปรอทออกจาก dosimeter ได้หมด ทั้งนี้ขึ้นอยู่กับปริมาณปรอทที่เกาะที่ dosimeter ปัญหาที่เกิดขึ้น ดังข้อมูลแสดง

<u>Dosimeter</u>	<u>Jerome reading (mg/m³)</u>
1	.131, .040, .017, .013, .004, .004, .000
2	.236, .066, .018, .005, .004, .004, .004

การ desorption เกิดขึ้นอย่างช้าๆ ทำให้ต้องอ่านค่าหลายครั้ง และความเข้มข้นปรอททั้งหมดเท่ากับผลรวมของค่าที่อ่านได้ ทำให้ความเข้มข้นปรอททั้งหมด มีค่าสูงเกินความเป็นจริง ปัญหาเหล่านี้ ทำให้ต้องตรวจสอบการทำงานของเครื่อง Jerome และประสิทธิภาพการจับปรอทของ dosimeter

4.1 การศึกษา Filters ของเครื่อง Jerome

Filters ที่ใช้กับเครื่องมือจับปรอทด้วย dosimeter และวัดด้วย Jerome มี 3 ชนิด คือ air filter, scrubber filter, และ acid filter แต่ละ filter มีองค์ประกอบตามที่คู่มือของเครื่องระบุ และคุณสมบัติดังแสดงในตารางที่ 4.1

เมื่อทำการเก็บตัวอย่าง ก่อนที่ตัวอย่างจะไหลเข้าสู่ dosimeters จะต้องผ่าน acid filter ที่ทำหน้าที่กรอง acid gas เช่น H₂S เนื่องจาก ก๊าซนี้รบกวนการจับปรอทของเส้นลวดทอง จากนั้น นำ dosimeter ไปต่อเข้ากับ Jerome เพื่อวัดค่าความเข้มข้นของปรอท โดยมีอากาศจากภายนอกผ่าน air filter เพื่อกรองปรอทที่อาจมีในอากาศออก อากาศที่

สะเก็ดนี้ จะถูกบีบผ่าน dosimeter พาเอาปรอทที่ปล่อยออกมา เข้าสู่เซ็นเซอร์ใน Jerome ปรอทที่สะสมอยู่ที่เซ็นเซอร์ระยะเวลาหนึ่ง ต้องมีการขจัดออก โดยใช้ความร้อนและอากาศไล่ออก ไปสู่ scrubber filter นั่นคือ air filter และ scrubber filter ทำหน้าที่ดูดซับปรอท

ตารางที่ 4.1 แสดง Filters องค์ประกอบและหน้าที่ของ Filters

Filter	องค์ประกอบ	หน้าที่
air filter	resisorb	ดูดซับไอปรอท
scrubber filter	resisorb	ดูดซับไอปรอท
acid filter	$\text{CuSO}_4 \cdot 5 \text{H}_2\text{O}$ และ mallicosorb (mixture of NaOH and lime)	กรอง acid gas และความชื้น

ตารางที่ 4.2 แสดงผลวิเคราะห์ Filters

Filter	องค์ประกอบ
air filter	ไม่น้อยกว่า 70 % เป็น carbon ที่ห่อหุ้มด้วยกระดาษกรองชนิดพิเศษ ที่มีคุณสมบัติจับอนุภาคได้ที่อัตราการไหลของก๊าซสูง
scrubber filter	ไม่น้อยกว่า 70 % เป็น carbon
acid filter	ไม่มี Cu เป็นองค์ประกอบ แต่เป็นองค์ประกอบของ $\text{Ca}(\text{OH})_2$ หรือ Soda lime

นำเอา filters ที่ใช้แล้วมาศึกษาองค์ประกอบภายใน และศึกษาคุณสมบัติการดูดซับ
ปรอท โดยใช้เครื่องมือ Atomic absorption spectrometer และ X-ray fluorescence
สำหรับหาธาตุ ใช้ X-ray diffractometer วิเคราะห์หาองค์ประกอบ และใช้เครื่อง
Carbon analyzer วิเคราะห์หา carbon ผลวิเคราะห์ดังแสดงในตารางที่ 4.2 จากผลการ
วิเคราะห์นี้ สันนิษฐานว่า องค์ประกอบของ air filter และ scrubber filter เป็นสาร
activated carbon หรือ charcoal ที่ใช้ในการขจัดปรอทโดยทั่วไป การวิเคราะห์ acid
filter ไม่มี CuSO_4 แต่มี soda lime เป็นองค์ประกอบ

4.2 การศึกษา Jerome

4.2.1 ความถูกต้องของอัตราการป้อนอากาศ 750 มล./นาที และเวลา 7 วินาที
ที่ควบคุมด้วยเครื่อง เป็นปัจจัยสำคัญยิ่งต่อการคำนวณความเข้มข้นปรอทในตัวอย่างของเทคนิคนี้
เนื่องจากการ desorption ปรอทออกจาก dosimeter ในเวลา 7 วินาที ดังตัวอย่างคำนวณ
ใช้ปริมาตรของอากาศ เท่ากับ

$$750 \text{ ml/min} \times (7/60 \text{ min}) = 87.5 \text{ ml}$$

สมมติว่า ใช้ dosimeter จับตัวอย่าง ด้วยอัตรา 20 มล./นาที เป็นเวลา 10 ชม.

$$\text{ให้ Jerome อ่านค่าได้} = .200 \text{ mg/m}^3$$

$$= .200 \text{ ng/ml}$$

$$\text{ปริมาตรของตัวอย่างทั้งหมด} = (20 \text{ ml/min}) / (1000 \text{ ml.L}^{-1}) \times (10 \text{ hr} \times 60 \text{ min})$$

$$= 12 \text{ liters}$$

$$\text{และ มวลปรอทที่ dosimeter จับไว้ทั้งหมด} = (.200 \text{ ng/ml}) \times (87.5 \text{ ml})$$

$$= 17.5 \text{ ng}$$

$$\text{ฉะนั้น ความเข้มข้นของปรอทในตัวอย่าง} = (17.5 \text{ ng}) / 12 \text{ liter}$$

$$= 1.46 \text{ ug/m}^3$$

อัตราการป้อนอากาศ หรือแฟคเตอร์ 87.5 มล. เป็นปัจจัยโดยตรงที่ใช้หามวลปรอท ถ้า
แฟคเตอร์นี้ผิดไป การหาความเข้มข้นปรอทในตัวอย่างจะผิดไปทันที

4.2.2 การตรวจสอบการทำงานของ Heater ของเครื่อง Jerome

Heater อยู่ภายในตัวเครื่อง มีหน้าที่ให้ความร้อนกับ dosimeter โดยการจ่ายไฟ 24 Vac จากเครื่อง Jerome ไปสู่ dosimeter ผ่านสายไฟสองขั้วที่ต่อเข้ากับสองปลายของ dosimeter ความร้อนที่เกิดขึ้นจะทำให้ปรอทที่จับอยู่กับ เส้นลวดทอง หลุดออกมา ถ้า heater ทำงานไม่เหมาะสม การไล่ปรอทจะ得不หมด การตรวจสอบ heater ได้ทำตามคำแนะนำของผู้เชี่ยวชาญของ Arizona Instrument (AZI) โดยการวัดค่า a.c. Voltage ที่ปลายสายไฟสองขั้วที่ใช้ต่อเข้ากับ dosimeter กดปุ่ม "SAMPLE" ที่หน้าปัดเครื่อง Jerome อ่านค่า Voltage จากเครื่อง Voltmeter ค่า Vac ที่อ่านได้ควรมีค่าประมาณ 24 Volts ผลการทดสอบวัดค่า Vac ของเครื่อง Jerome ที่ใช้ในห้องแล็บของ บคช พบว่า Vac วัดที่ปลายของ dosimeter ก่อนกดปุ่ม "SAMPLE" อ่านค่าได้ 10 Volts เมื่อกดปุ่ม "SAMPLE" อ่านได้ 12 Volts แสดงถึง ความผิดปกติที่เกิดขึ้นกับ heater ที่ต้องแก้ไข นอกจากนี้ การวัด Vac ของเครื่องปกติ บางครั้งได้ค่า 27 Volts ซึ่งอาจมีผลต่อการ desorption ปรอทออกจาก dosimeter และการอ่านค่าของ Jerome ปัจจัยเหล่านี้ ผู้ใช้ควรมีการตรวจสอบ voltage ของ Jerome เป็นประจำ

4.2.3 การทดสอบ Functional Test ของเครื่อง Jerome

การทำ functional test ตามที่คู่มือของเครื่องแนะนำ เป็นการทดสอบการทำงานตามปกติของ Jerome การทดสอบดังแสดงในภาคผนวกที่ 1 โดยการฉีดไอปรอท 1 มล. เข้าสู่เครื่อง Jerome ในขณะที่กดปุ่มวัด "SAMPLE" นำค่าที่มีเตอร์อ่านได้มาเปรียบเทียบกับค่าในตารางของ Temperature Conversion Chart ดังแสดงในตารางที่ 4.3 ณ. ที่อุณหภูมิที่ทำการทดสอบ ค่าอ่านจากมิเตอร์ ควรอยู่ในช่วงที่กำหนด และการทำซ้ำควรได้ค่าอ่านจากมิเตอร์ มีความแตกต่างกันไม่เกิน 0.005 mg/m³ การทำ function test ของ Jerome ได้ข้อมูลดังแสดงในตารางที่ 4.4 ค่าที่อ่านได้ 0.108 mg/m³ อยู่ต่ำกว่าช่วงที่คู่มือระบุไว้ใน Temperature Conversion Chart คิดเป็น 6.9 % ต่ำกว่าค่าต่ำสุดที่ผู้ผลิตจะยินยอมหรือยอมรับได้ว่า เครื่อง Jerome ยังทำงานปกติ แต่เมื่อคำนวณเป็นความเข้มข้นปรอทได้เท่ากับ 9.5 ng/ml ซึ่งต่ำกว่าที่ฉีดเข้าไปคือ 12.0 ng/ml อยู่ 21.83 % นอกจากนี้ ความเบี่ยงเบนจากการทำซ้ำ 5 ครั้ง อยู่ในระดับ $\pm 1\%$ แสดงถึงความผิดพลาดเนื่องจากขั้นตอนการทดลองมีน้อยมาก และการทำ functional test ของ Jerome ของ บคช พบว่า ของ บคช ให้ค่าเฉลี่ยที่อ่านได้จากเครื่อง 0.199 mg/m³ เมื่อเทียบกับตาราง Temperature Conversion Chart ที่อุณหภูมิ

22.4 °ซ ได้ค่าอยู่ในช่วงที่กำหนดแต่อยู่ในระดับสูง เมื่อคิดเป็นความเข้มข้นปรอท เท่ากับ 17.44 ng/ml ที่มากกว่าความเป็นจริง คิดเป็นความผิดพลาดในทางบวก เท่ากับ 6.29 %

การทำ functional test ของ Jerome ปดช ไซ้ ที่อุณหภูมิต่างๆ ดังแสดงในตาราง ที่ 4.5 ปรากฏว่า ได้ค่าต่ำกว่าใน conversion chart ทุกครั้ง โดยมีค่าเฉลี่ยของความผิดพลาด [100 x (ผลต่างของค่าจริงและค่าที่วัดได้)หารด้วยค่าจริง] ต่ำกว่าความเป็นจริง 17.06 %

ตารางที่ 4.3 แสดง Temperature Conversion Chart ของการทำ Functional Test ของเครื่อง Jerome

อุณหภูมิ (°ซ)	เครื่องอ่าน (mg/m ³)	ช่วงความเข้มข้นปรอท * (ng/ml)
16	.090 - .123	7.875 - 10.762
17	.100 - .135	8.750 - 11.812
18	.108 - .146	9.450 - 12.775
18.8	.116 - .156	10.150 - 13.650
19	.118 - .159	10.325 - 13.912
20	.129 - .174	11.287 - 15.225
21	.138 - .187	12.075 - 16.362
22	.151 - .204	13.212 - 17.850
22.4	.155 - .211	13.562 - 18.462
23	.1616 - .222	14.087 - 19.425
24	.177 - .240	15.487 - 21.000

* ความเข้มข้นปรอท = ค่าที่เครื่องอ่าน x 87.5

ตารางที่ 4.4 แสดงการทำ Functional Test เปรียบเทียบ Jerome ของ ปคช กับ ปตท

	ปคช	ปตท
อุณหภูมิห้อง (°ซ)	18.8	22.4
ความเข้มข้นปรอท (ng/ml)	12.0	16.14
จำนวนครั้งของการฉีดปรอท	5	3
ค่าเฉลี่ยที่อ่านได้จากเครื่อง (mg/m ³)	0.108	0.199
ความเบี่ยงเบน (%) [*]	± 1	±0.5
ความเข้มข้นปรอทที่อ่านได้จากเครื่อง (ng/ml)	9.50	17.44
% ความผิดพลาด ^{**}	-21.83	+6.29

* ความเบี่ยงเบน เป็นค่าเบี่ยงเบนมาตรฐานทางสถิติ

** % ความผิดพลาด = $100 \times \frac{\text{ความแตกต่างของความเข้มข้นปรอทค่าจริงกับค่าที่วัดได้}}{\text{ความเข้มข้นปรอทจริง}}$

สถาบันวิทยบริการ
จุฬาลงกรณ์มหาวิทยาลัย

ตารางที่ 4.5 แสดงการทำ Functional Test ที่อุณหภูมิต่างๆ กับ Jerome ของ ปดช

อุณหภูมิ (°ซ)	ความเข้มข้นปรอทจริง (ng/ml)	ความเข้มข้นที่วัดได้ (ng/ml)	% ผิดพลาด	หมายเหตุ
22.7	16.54	14.00	-15.38	2 ครั้ง
22.6	16.41	13.91	-15.22	1 "
22.2	15.87	12.88	-18.84	5 "
21.2	14.64	12.45	-19.44	3 "
21.4	14.88	11.99	-19.44	2 "
21.5	15.00	12.16	-18.92	1 "
21.8	15.36	12.86	-16.26	2 "
21.9	15.48	12.77	-17.47	1 "
ค่าเฉลี่ยความผิดพลาด			-17.06	

% ผิดพลาด = $100 \times \frac{\text{ความแตกต่างของค่าปรอทจริงกับค่าที่วัดได้}}{\text{ค่าปรอทจริง}}$

สถานวิทยบริการ
จุฬาลงกรณ์มหาวิทยาลัย

4.3 การศึกษา Dosimeter

4.3.1 การทดสอบความเสื่อมสภาพของ Dosimeter

บริษัทผู้ผลิตเครื่องมือ ได้ระบุอายุการใช้งานของ dosimeter ไว้ ประมาณ 1000 ครั้ง ประสิทธิภาพการจับปรอทของเส้นลวดทอง จะเสื่อมสภาพ ต้องเปลี่ยนใหม่ การเสื่อมสภาพของ dosimeter สามารถตรวจสอบได้โดยทำตามคู่มือเครื่องแนะนำ และจากการแนะนำจากผู้ชำนาญการของ Arizona Instrument Inc. โดยการ calibrate กับไอปรอท การวัดค่าความต้านทานไฟฟ้าของ dosimeter ไม่ควรเกิน 15 Ohms และการทำ Blank test

การทดสอบประสิทธิภาพของ dosimeter โดยการฉีดไอปรอท 1 มล. ความเข้มข้น 16.95 ng/ml เข้าสู่ dosimeter ด้วยอัตราการไหลของ N₂ 20 มล./นาที อ่านปรอทโดยใช้ Jerome ของ ปคช. ทำการทดลอง 2 ครั้ง ให้ค่าที่อ่านจากมิเตอร์ แตกต่างกันน้อยกว่า 0.005 mg/m³ และวัดค่าความต้านทานไฟฟ้าด้วย multimeter อ่านค่า Ohms ที่ปลายสองข้างของ dosimeter ข้อมูลที่ได้ตั้งแสดงในตารางที่ 4.6 พบว่า dosimeter ทุกตัวจับปรอทได้น้อยกว่าที่ใส่เข้าไป ค่าที่อ่านต่ำอยู่ในช่วงความผิดพลาด 11-40 % รวมถึง dosimeter ใหม่ (Dos.3858) ที่ยังไม่เคยใช้งาน และค่าความต้านทานไฟฟ้าของ dosimeter ที่ใช้งานทุกตัวมากกว่า 15 Ohms ยกเว้น dosimeter ตัวที่ยังไม่เคยใช้งาน

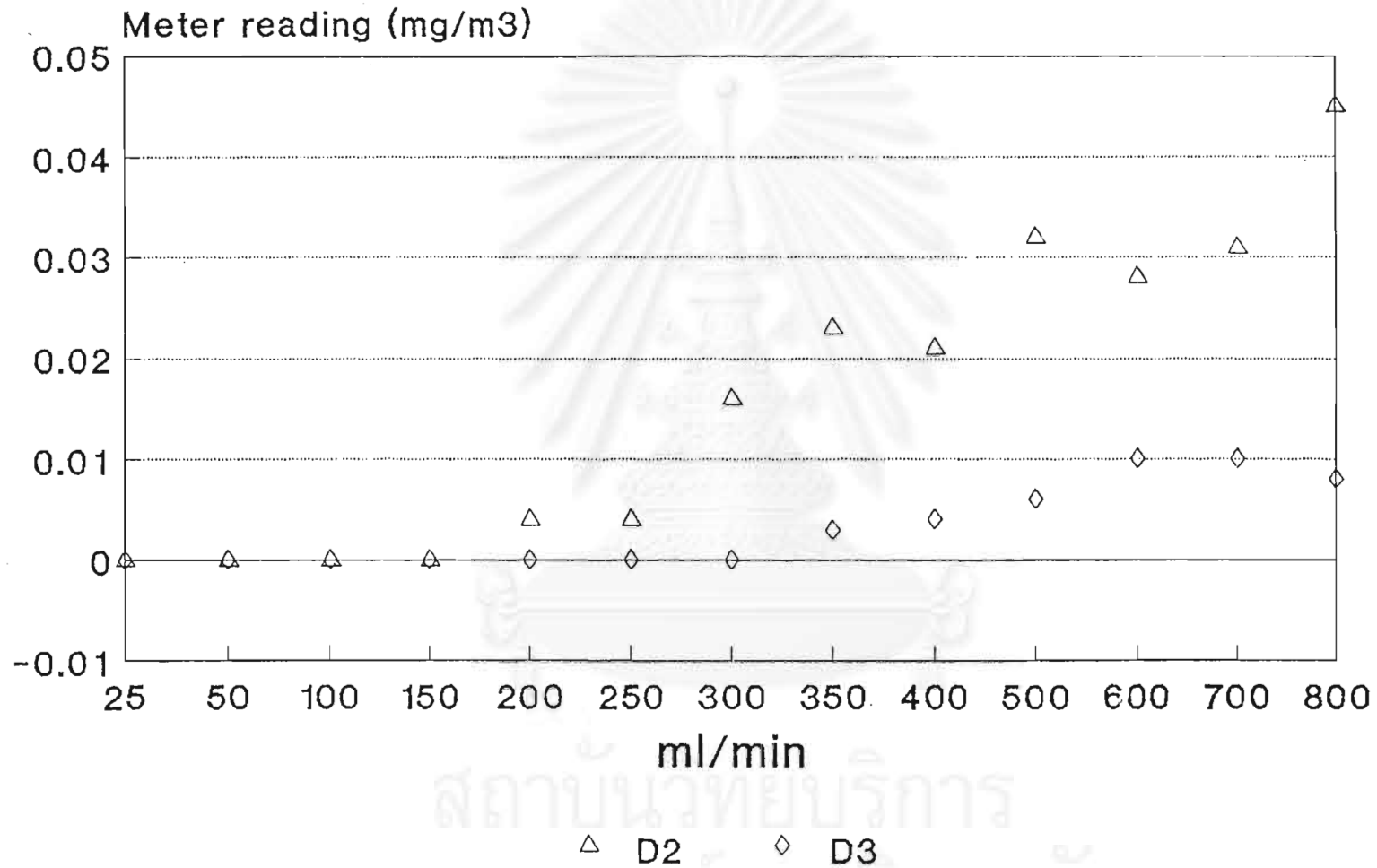
4.3.2 การทดสอบประสิทธิภาพการจับปรอทของ Dosimeter เป็นฟังก์ชันของอัตราการไหลก๊าซ

นำ dosimeters 3 ตัว มาต่ออนุกรม ทำการฉีดไอปรอทเข้าสู่ dosimeter และ ทำการแปรเปลี่ยนอัตราการไหลก๊าซ 25-800 มล./นาที นำ dosimeter ที่ได้ทั้งสามตัว มาอ่านค่าปรอทโดยใช้ Jerome ผลที่ได้ปรากฏว่า dosimeter ตัวแรกจับปรอทไว้ได้โดยไม่ผ่านออกไปถึงตัวที่สอง เมื่ออัตราการไหล 25 - 150 มล./นาที dosimeter ตัวที่สอง เริ่มอ่านค่าได้ 0.004 mg/m³ เมื่ออัตราการไหลมากกว่า 150 มล./นาที และ dosimeter ตัวที่สาม เริ่มอ่านค่าได้ 0.004 mg/m³ เมื่ออัตราการไหลของก๊าซ เกิน 300 มล./นาที ดังแสดงในรูปที่ 4.1 D₂ และ D₃ เป็นการจับปรอทของ dosimeter ตัวที่สอง และ สาม ตามลำดับ ค่าที่อ่านได้ ไม่เป็นสัดส่วนกับอัตราการไหลของก๊าซที่เพิ่มขึ้น เนื่องจาก dosimeter แต่ละตัวมีประสิทธิภาพการจับปรอทแตกต่างกัน จากรูปจะเห็นว่า การใช้อัตราการไหลสูงๆ จำเป็น

ต้องใช้ dosimeter หลายอันต่อเป็นอนุกรม เพื่อชดเชยกับประสิทธิภาพของ dosimeter ที่ลดลง

ตารางที่ 4.6 แสดงการหาประสิทธิภาพการจับปรอทของ Dosimeter โดยใช้ไอปรอท
และอ่านค่าด้วย Jerome ของปคช

Dosimeter No	ค่าเฉลี่ยมิเตอร์ (mg/m ³)	ความเข้มข้นที่วัดได้ (ng/ml)	% ผิดพลาด	ค่าความต้านทาน ไฟฟ้า (Ohm)
2522	0.145	12.73	-24.89	19.2
3146	0.147	12.91	-23.86	18.7
3213	0.133	11.68	-31.08	17.1
3852	0.140	12.25	-27.73	16.4
3602	0.157	13.74	-18.95	17.5
3604	0.144	12.60	-25.66	17.0
3606	0.152	13.34	-21.28	19.4
3850	0.115	10.06	-40.63	15.6
3851	0.147	12.86	-24.12	18.3
3853	0.142	12.42	-26.70	15.8
3854	0.171	15.01	-11.47	16.0
3858(NEW)	0.171	15.01	-11.47	12.9



รูปที่ 4.1 แสดงประสิทธิภาพการจับปรอทของ dosimeter เป็นฟังก์ชันของอัตราการไหลของก๊าซ

4.3.3 การศึกษา Background จาก Moisture ใน Dosimeter ที่ยังไม่ได้จับ

ตัวอย่าง

dosimeter ที่ยังไม่ได้จับตัวอย่าง เมื่อเก็บไว้ระยะหนึ่ง และนำมาอ่านค่าด้วย Jerome จะให้ค่าจำนวนหนึ่ง ค่าเหล่านั้น ดังแสดงในตารางที่ 4.7 ได้จากการนำ dosimeter มาอ่านค่าทุกวัน เป็นเวลา 4 วัน ค่าเฉลี่ยของ dosimeter แต่ละตัว เมื่อคำนวณเป็นมวลปรอท จะได้ค่าปรอทอยู่ในช่วง 0.09 - 1.27 ng เมื่อทดลองเก็บ dosimeter ไว้ใน desiccator และนำมาอ่านค่า เป็นเวลา 5 วัน ค่าที่ Jerome อ่านได้เป็นศูนย์ แสดงถึง ความชื้นในบรรยากาศ อาจทำให้ background reading กับ dosimeter แต่ละตัว

4.3.4 การทดสอบ Blank Test

การอ่านค่า background ของ dosimeter แต่ละตัว ที่ไม่ได้ใช้งานดังได้กล่าวมาแล้ว ทางบริษัทผู้ผลิตแนะนำให้ทำ blank test กับ dosimeter บางตัว (ดังวิธีข้อ 3.3.2.3) และอ่านค่าด้วย Jerome ผลการทดลองดังแสดงในตารางที่ 4.8 ค่าที่มิเตอร์อ่านได้ ใกล้เคียงกับค่าที่อ่านได้จาก moisture ในตารางที่ 4.7 นอกจากนี้ ยังได้ทดสอบ blank test และวัดด้วย AAS กับ dosimeter (3602) ได้ค่าเฉลี่ย absorbance $0.005 \pm .001$ ABU ที่อยู่ในระดับต่ำ สรุป ค่าที่อ่านได้จากการทำ blank test และ อ่านค่าด้วย Jerome หรือ AAS ก็ตาม ได้ค่าที่ใกล้เคียงกับการทดสอบผลกระทบจากความชื้น นั่นคือ ความชื้นไม่มีผลกระทบต่อ การอ่านค่าของ Jerome ค่าที่อ่านได้จากวิธีใดก็ตาม เป็น background ของ dosimeter แต่ละตัว

ตารางที่ 4.7 แสดงการอ่านค่าปรอทด้วย Jerome ของ ปคช เป็นเวลา 4 วัน จาก dosimeter ที่ยังไม่ได้ใช้งาน

Dosimeter No.	วัน 1	วัน 2	วัน 3	วัน 4	ค่าเฉลี่ย (mg/m ³)	มวลปรอท(ng)
3606	.003	.003	.003	.003	.003 ± .000	0.26 ± .00
3852	.015	.014	.014	.004	.014 ± .001	1.27 ± .09
3604	.006	.004	.003	.007	.005 ± .002	0.44 ± .16
3602	.009	.007	.005	.007	.007 ± .002	0.61 ± .14
3213	.004	.005	.007	.004	.005 ± .001	0.44 ± .09
3146	.009	.000	.004	.003	.004 ± .004	0.33 ± .33
3850	.010	.000	.004	.005	.005 ± .004	0.44 ± .33
3851	.000	.000	.003	.003	.001 ± .001	0.09 ± .09
3853	.000	.000	.004	.005	.002 ± .003	0.20 ± .23
3854	.003	.005	.003	.004	.004 ± .001	0.33 ± .09
3858(NEW)	.004	.003	.000	.003	.002 ± .002	0.15 ± .15

ตารางที่ 4.8 แสดงการทำ Blank Test ของ Dosimeter บางตัว และอ่านค่าด้วย Jerome

Dosimeter No.	Jerome Reading (mg/m ³)	Hg mass (ng)
3604	.006	0.52
3606	.006	0.52
3854	.004	0.35
3853	.006	0.52
3858 (NEW)	.004	0.35

4.3.5 การทดสอบประสิทธิภาพของ Dosimeter โดยใช้ AAS

เมื่อใช้ AAS ทำการตรวจสอบ dosimeter โดยจัดการทดลองดังแสดงในรูปที่ 3.5 ใช้ dosimeters 2 ตัว และ absorption cell โดยการฉีดไอปรอท 0.5 มล. (8.75 ng) เข้าสู่ absorption cell โดยตรง ใช้อัตราการไหลของก๊าซพา 60 มล./นาที อ่านค่า absorbance ที่ปลายทางออกของ absorption cell นำ dosimeter #1 ไปต่อเพื่อจับปรอทที่ออกจาก cell จากนั้น นำ dosimeter #1 ต่อที่ทางเข้า absorption cell ให้ความร้อน และอ่านค่า absorbance ในขณะที่มี dosimeter #2 รอจับปรอทที่ออกมาจาก dosimeter #1 อยู่ที่ปลายทางออกของ cell ทำการทดลองซ้ำเช่นนี้กับ dosimeter ตัวอื่นๆ และเปรียบเทียบค่า absorbance ที่อ่านได้จาก dosimeter ทั้งหมดเทียบกับค่า absorbance ที่ได้จากการฉีดไอปรอทเข้า cell โดยตรง ผลการทดลอง ดังแสดงในตารางที่ 4.9 เมื่อฉีดไอปรอทโดยตรง ได้ค่า absorbance เท่ากับ 0.286 dosimeter ที่มาต่อที่ทางออก คือ No 3851 ซึ่งเมื่อนำมาให้ความร้อน ได้ค่า absorbance เท่ากับ 0.281 ที่ต่ำกว่าเป็นจริง 1.75 % เมื่อนำ dosimeter ตัวที่ 2 (No 3146) มาจับปรอท และให้ความร้อน ตามลำดับปรากฏว่า ได้ค่า absorbance เพิ่มขึ้นจากเดิมเป็น 0.310 สรุป dosimeter ทั้งหมด ให้ค่า absorbance ที่เกินความจริงอยู่ในช่วง 5 - 8 % คือ No. 3146, 3213, และ 3853 และที่ให้ค่า absorbance ต่ำกว่าเป็นจริง 5 % คือ Dos. 3602 ส่วน dosimeter ที่ให้ค่าความแตกต่างอยู่ในช่วง ± 2 % เป็นค่าความแปรปรวนของ dosimeter มากกว่าการอ่านค่าที่ผิดพลาด สรุป การทดสอบประสิทธิภาพของ dosimeter แต่ละตัว โดยวิธีของ AAS นี้ มี dosimeter 4 ตัว ที่แสดงค่าแตกต่างเกิน ± 5 % หรือ 0.015 absorbance reading ซึ่งต้องระวัง เมื่อนำ dosimeter เหล่านี้มาใช้งาน

ตารางที่ 4.9 แสดงการทดสอบประสิทธิภาพของ dosimeter โดยใช้ AAS

ลำดับที่	Dosimeter No. ที่ outlet (adsorption)	Dosimeter No. ที่ inlet (desorption)	Absorbance	% ความ* แตกต่าง
1	3851	-	0.286	
2	3146	3851	0.281	-1.75
3	3604	3146	0.310	+8.39
4	3852	3604	0.287	+0.35
5	3602	3852	0.282	-1.40
6	3213	3602	0.271	-5.24
7	3853	3213	0.302	+5.59
8	3850	3853	0.310	+8.39
9	-	3850	0.288	+0.70

* % ความแตกต่าง คือ ค่า absorbance ของ dosimeter แต่ละตัว ที่อ่านต่างไปจากค่า 0.286 ABU คิดเป็นเปอร์เซ็นต์ และ ค่า +/- แสดงค่าที่มากกว่า /หรือน้อยกว่า

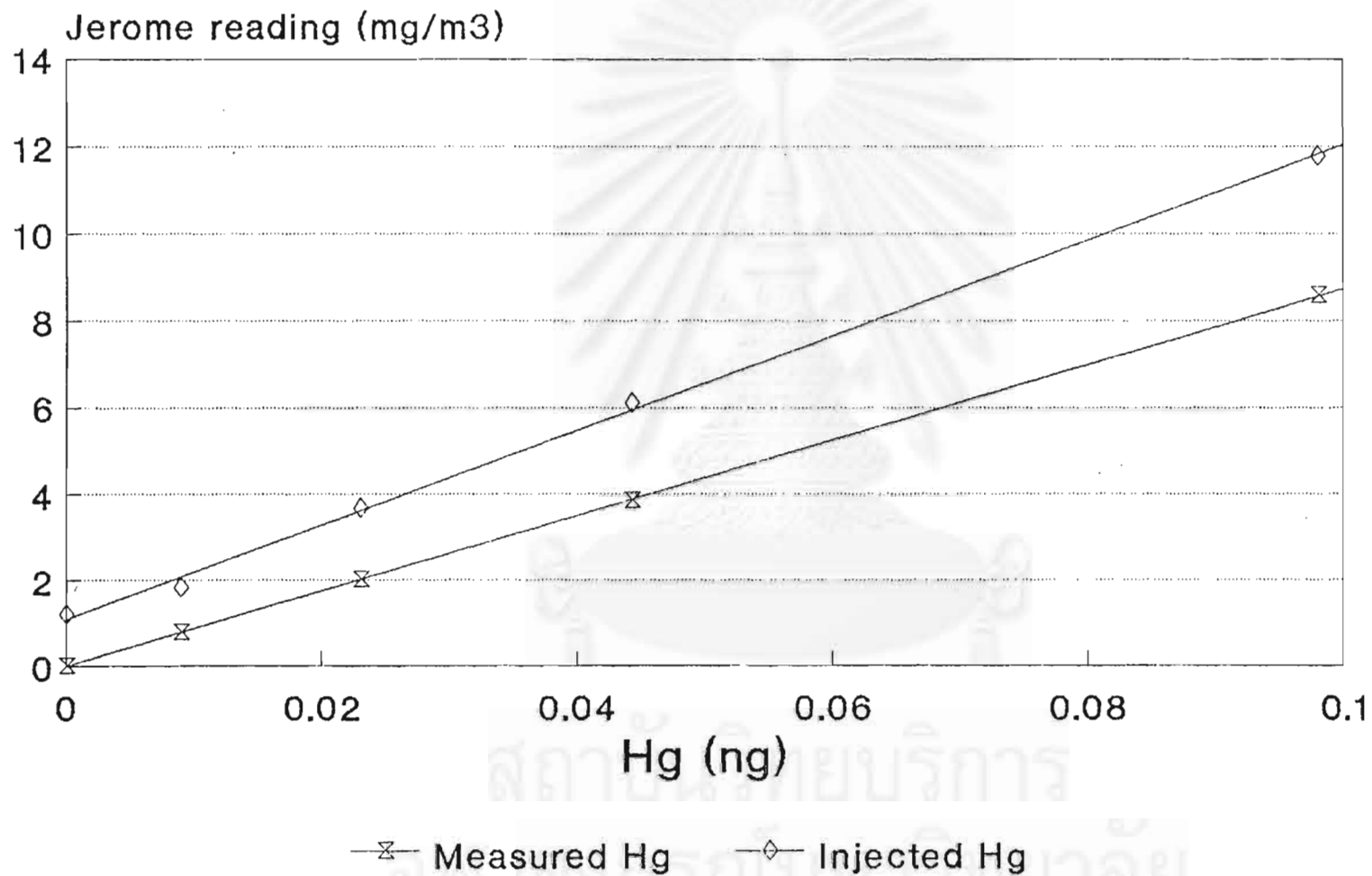
4.4 การศึกษา Detection Limit ของ Dosimeter

เตรียมไอปรอทใน gas bomb ที่เป็นแก้วขนาด 100 มล. ใช้ syringe ดูดไอปรอท ปริมาตร 10, 5, 3, 1 มล. จาก Thermos ฉีดลงใน gas bomb ให้ gas bomb เป็น S₁, S₂, S₃, และ S₄ ตามลำดับ

ลักษณะของ gas bomb ที่หัวท้ายปิดเปิดได้ด้วยการหมุน stopclock ตรงกลางของ bomb เป็น septum ใช้สำหรับการฉีดและดูดไอปรอทเข้า/ออกโดยใช้ syringe ก่อนฉีดไอปรอทลงไป ทำให้ภายใน bomb เป็นสุญญากาศน้อยๆ โดยใช้ water suction เมื่อฉีดไอปรอทลงไปแล้ว จะปรับความดันภายในให้เป็นหนึ่งบรรยากาศ โดยการเปิดให้อากาศเข้าไป และทำการปิดโดยเร็ว บล่อยให้ไอปรอทกระจายอย่างรวดเร็วและทั่วถึงภายใน bomb โดยการตั้งทิ้งไว้ 1 ชั่วโมง หรือทำการเขย่าโดยใช้เครื่อง Ultrasonic bath ที่ร้อน และบล่อยให้เย็น จึงนำไอปรอทที่ความเข้มข้นต่างๆ มาฉีดเข้าสู่ dosimeter ที่ต่อเป็นอนุกรมกัน 2 ตัว และอ่านค่าโดยใช้เครื่อง Jerome ข้อมูลที่ได้ตั้งแสดงในตารางที่ 4.10 หรือแสดงในรูปที่ 4.2 ให้ความสัมพันธ์ของมวล กับค่าความเข้มข้นที่อ่านได้ เป็นเส้นตรง แสดงถึงข้อผิดพลาดจากการเตรียมตัวอย่างมีน้อย และมวลต่ำสุดที่ Jerome อ่าน 0.79 ng เท่ากับ 0.009 mg/m³ แต่ค่าจริงของมวลที่ฉีดเข้าไป เท่ากับ 1.83 ng detection limit ที่ได้ต่ำกว่าความเป็นจริงเกินกว่า 50 %

ตารางที่ 4.10 แสดงการหา Detection limit ของการวัดด้วย Jerome

Gas Bomb	ความเข้มข้นปรอท (ng/ml)	มวลที่ฉีด (ng)	ค่าที่วัดได้ (mg/m ³)	มวลปรอทที่วัดได้ (ng)
S ₁	1.1768	11.77	.098	8.57
S ₂	0.6110	6.11	.044	3.85
S ₃	0.3666	3.67	.023	2.01
	0.3666	1.83	.009	0.79
S ₄	0.1211	1.21	.000	0.00



รูปที่ 4.2 แสดงความสัมพันธ์ของมวลปรอทกับค่าความเข้มข้นที่ Jerome อ่านได้ เทียบกับความเข้มข้นปรอทจริงที่ฉีดเข้า dosimeter

4.5 การศึกษาตัวรบกวนที่เกิดขึ้นกับ Dosimeter

ตัวรบกวน H_2S และ CO สารเหล่านี้มีแนวโน้มที่อาจรบกวนการจับปรอทของ dosimeter โดยเฉพาะอย่างยิ่ง H_2S ที่อาจฟอร์มซัลไฟด์ที่ผิวหน้าของหลอดทอง ทำให้ผิวหน้าของทองไม่ไวต่อการจับปรอท จึงได้ทำการทดลองโดยการฉีดไอปรอท 8.435 ng ที่มี H_2S ปนอยู่ เข้าสู่ injector port ผ่าน acid filter และไม่ผ่าน acid filter เข้าสู่ dosimeter โดยใช้ความเร็วของก๊าซพา 20 ml./นาที่ และวัดค่าปรอทด้วย Jerome ผลการทดลองพบว่า เมื่อเพิ่มมวล H_2S จาก 50 ug ถึง 500 ug ค่าที่อ่านได้และคิดคำนวณเป็นมวลปรอท ไม่ได้เปลี่ยนแปลงไปจากเดิม ดังแสดงในตารางที่ 4.11 นอกจากนี้ ในการทดลองนี้ การใช้หรือไม่ใช้ acid filter ไม่มีผลต่อการจับปรอทของ dosimeter แต่อย่างไรก็ตาม การผ่าน H_2S สู่อุปกรณ์ dosimeter โดยไม่ผ่าน acid filter อาจมีผลต่อการจับปรอทในระยะยาว จึงแนะนำให้ใช้ acid filter ทุกครั้งที่จับปรอท

การทดสอบการรบกวน CO ที่มีต่อการจับปรอทของ dosimeter ทำได้โดยการฉีด CO บริสุทธิ์ เข้าสู่ dosimeter ที่อัตราการไหลของ N_2 30 ml./นาที่ ที่ปลายทางออกของ dosimeter ต่อเข้ากับ dragger tube ทำการฉีดไอปรอท 8.20 ng ที่มี CO ปนอยู่ที่ปริมาณต่างๆกัน เนื่องจาก dragger tube บรรจุด้วยสารเคมีที่ใช้ทดสอบ CO สารนี้จะทำปฏิกิริยาเปลี่ยนสีจากสีขาวเป็นสีเหลือง เปรียบเทียบผลการทดลอง พบว่า เมื่อ CO ผ่าน dosimeter และ dragger tube สารเคมีใน dragger tube เปลี่ยนสี และเมื่อนำ dosimeter อ่านค่าปรอทด้วย Jerome ได้ค่าที่แตกต่างกันอยู่ในช่วงความแปรปรวนน้อยกว่า 5% นอกจากนี้ยังศึกษาผลกระทบของ CO ที่มีผลต่อการอ่านค่าของ AAS ด้วย ดังผลการทดลองในตารางที่ 4.12 แสดงว่า CO ไม่รบกวนการอ่านค่าของ Jerome หรือ AAS แต่อย่างไรก็ตาม

ตารางที่ 4.11 แสดงผลของ H₂S ที่มีต่อการจับปรอทของ Dosimeter
เมื่อผ่านและไม่ผ่าน acid filter

ปริมาณ H ₂ S (ug)	มิเตอร์อ่านค่ามวลปรอท (ng)	
	มี acid filter	ไม่มี acid filter
50	8.225	8.138
150	8.050	7.878
250	8.225	8.400
350	8.575	8.575
500	8.313	8.488
	ค่าเฉลี่ย 8.278 ± 2.3 %	ค่าเฉลี่ย 8.296 ± 3.4 %

ตารางที่ 4.12 แสดง CO ที่มีผลต่อการจับปรอทของ Dosimeter

	Jerome (mg/m ³)	AAS (ABU)
CO 25 u1	0.000	0.000
Hg 8.20 ng	0.079	0.199
CO 25 u1 + Hg 8.20 ng	0.076	0.207
CO 100 u1 + Hg 8.20 ng	0.071	0.205
CO 200 u1 + Hg 8.20 ng	0.073	0.205

4.6 การทดสอบการจับ H_2S และ CO ของ Soda Lime

เครื่อง Jerome ใช้ acid filter ที่มีองค์ประกอบของ Soda lime ซึ่งมีคุณสมบัติการกำจัด acid gas และ ความชื้น การทดสอบโดยการฉีด H_2S 50 ppm จำนวน 5 มล. เข้าสู่ injector port ที่มี N_2 ไหลด้วยอัตรา 30 มล./นาที เข้าสู่ Soda lime filter และต่อปลายของ filter เข้ากับ syringe ขนาด 10 มล. เพื่อดูดเอาก๊าซไปวิเคราะห์หา H_2S โดยใช้เครื่อง Dohrman หา sulfur ผลการทดลองพบว่า Dohrman อ่านค่าได้น้อยมาก (น้อยกว่า 1 หน่วยสเกลที่เครื่อง) เปรียบเทียบกับเมื่อไม่ผ่าน soda lime โดยฉีด H_2S จำนวน 3 มล. ของ 50 ppm เครื่อง Dohrman อ่านค่าได้ 150 หน่วยสเกล

ทำการทดสอบการจับ CO โดยใช้ soda lime โดยการฉีด 100 ul ของ CO บริสุทธิ์ เข้าสู่ก๊าซพาด้วยอัตราการไหล 30 มล./นาที ผ่านเข้า soda lime และเข้าสู่ gas detector tube ปรากฏว่าสารเคมีเปลี่ยนสีเป็นเหลือง แสดงถึง soda lime ไม่จับ CO

สรุปการศึกษา dosimeter และ Jerome ที่ใช้หาปริมาณปรอทในก๊าซธรรมชาติ

- 1 การใช้เทคนิคนี้หาปริมาณปรอท พบว่า Jerome ที่เป็นตัววัดปริมาณ ให้ความผิดพลาดของการวัด จากการทำ functional test ได้ต่ำกว่าช่วงที่คู่มือยอมให้ ความผิดพลาดได้ 7 % และเมื่อเทียบความถูกต้องของมวลปรอทที่ฉีดเข้าไปจริง จะต่ำกว่ามวลที่ฉีดเข้าไปจริง โดยเฉลี่ยประมาณ 17 %
- 2 การทดสอบประสิทธิภาพของ dosimeter โดยวิธีของคู่มือเครื่อง และอ่านค่าด้วย Jerome ได้ประสิทธิภาพต่ำกว่าความเป็นจริงประมาณ 11-40 % การทดสอบ ประสิทธิภาพด้วยวิธีนี้ ย่อมไม่ได้ค่าที่ถูกต้อง เนื่องจากความผิดพลาดของ Jerome ย่อมทำให้การทดสอบ dosimeter ผิดพลาดด้วย การทดสอบประสิทธิภาพของ dosimeter ด้วย AAS ให้ความเชื่อถือได้มากกว่า
- 3 การทดสอบ background ของ dosimeter แต่ละตัว โดยวิธี blank test แสดงถึง dosimeter แต่ละตัวมีค่า background บ้าง แต่ไม่สูงและอยู่ในระดับที่ dosimeter ที่ยังไม่ได้อ่านให้ค่า

- 4 การหาปริมาณปรอทด้วย Jerome ไม่ได้เทียบกับ standard curve ของ standard Hg การอ่านค่าผิดพลาด จึงไม่มีการแก้ไข
- 5 ตัวรับกวนจาก H_2S และ CO ไม่มีผลต่อการอ่านค่าของ Jerome แต่อย่างไรก็ตาม แนะนำให้ใช้ acid filter ทุกครั้ง เพื่อกรองตัวรับกวนที่อาจอยู่ในตัวอย่าง
- 6 ข้อแนะนำ ควรสร้าง calibration curve ในการหาปริมาณปรอท เพื่อแก้ไขข้อผิดพลาดอันเนื่องมาจากปัจจัย 2 อย่าง คือ Jerome และ ความเสื่อมสภาพของ dosimeter ตัวนั้นๆ calibration curve ที่ได้นี้ ใช้เฉพาะ dosimeter ตัวหนึ่งๆ หรือเฉพาะพวกที่มีประสิทธิภาพใกล้เคียงกัน



สถาบันวิทยบริการ
จุฬาลงกรณ์มหาวิทยาลัย

บทที่ 5

การศึกษา ATOMIC ABSORPTION DETECTION

5.1 การศึกษา Atomic Absorption Detection (AA)

5.1.1 การศึกษาชุด Cold Vapor ของ Shimadzu

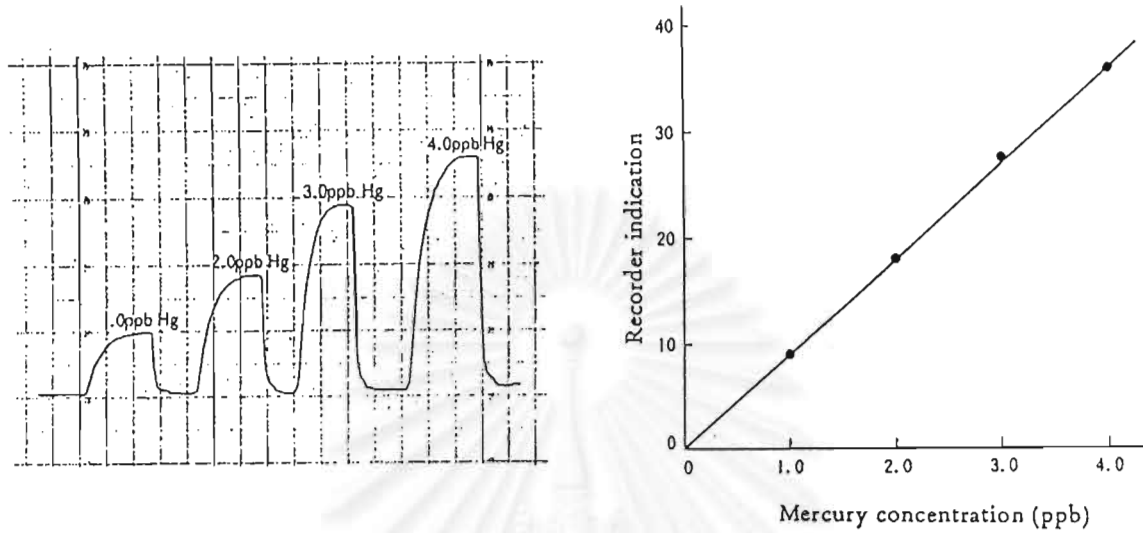
เครื่องมือวิเคราะห์ปริมาณหาความเข้มข้นปรอทระดับ ppb ได้ดีและเป็นที่ยอมรับ ใช้เทคนิค cold vapor และ atomic absorption ปรอทในสารละลายตัวอย่างต้องอยู่ในรูป Hg^{+2} ทั้งหมด โดยนำมาทำปฏิกิริยากับสารออกซิไดซิ่งเอเจนต์ เช่น สารละลาย permanganate และ เปลี่ยนปรอท Hg^{+2} ไปเป็นไอปรอท โดยทำปฏิกิริยากับตัวรีดิวซ์เอเจนต์ เช่น hydroxylamine และ SnCl_2 ปฏิกิริยาที่เกิดขึ้นทั้งหมดใน reaction vessel ที่เป็นระบบเปิดของ Shimadzu vaporizer ดังในรูปที่ 3.1-3.2

รูปที่ 5.1 แสดง calibration curve ของปรอทที่ได้จากการใช้ vaporizer และการวัดด้วยเครื่อง Shimadzu AA-610 โดยเงื่อนไขการวัดดังแสดงในรูป ใช้ปริมาตรของตัวอย่าง 50 มล. ที่ความเข้มข้น 1.0 ppb คิดเป็นมวลปรอทเท่ากับ 50 ng และได้ค่า response 2 division ของ recorder chart paper ที่ expansion = 1 แม้คู่มือจะไม่ระบุค่า absorbance ของมวล 50 ng คาดว่า sensitivity = 40 ng โดยประมาณ

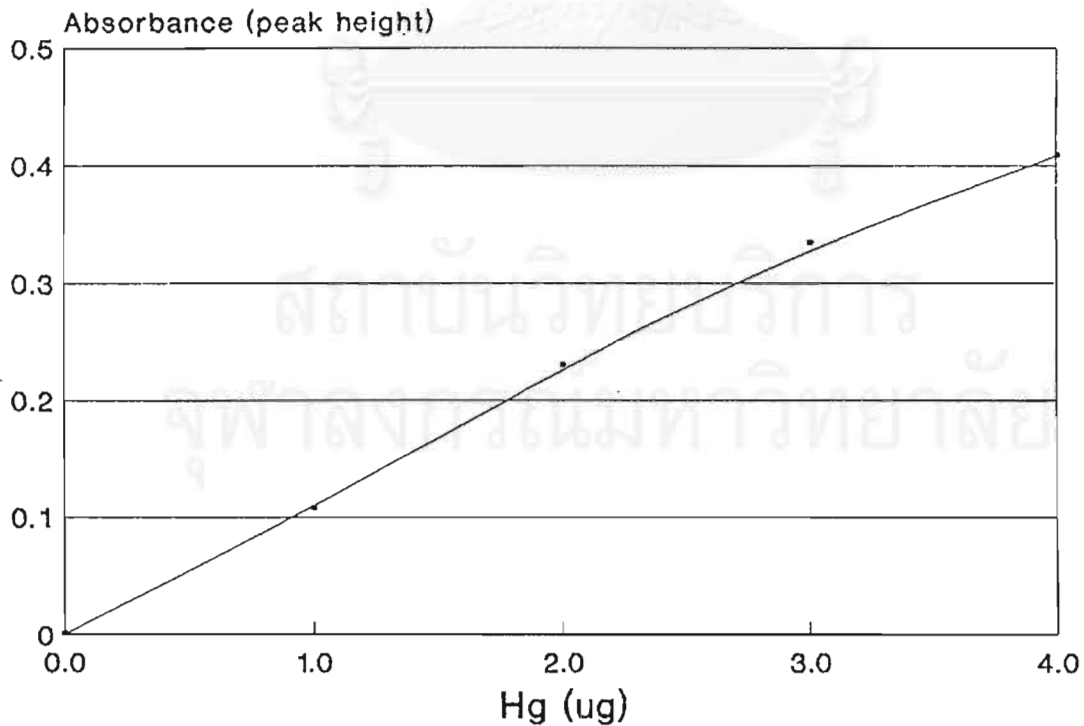
รูปที่ 5.2 แสดงการหาปรอทโดยใช้ Shimadzu vaporizer และการอ่านค่าด้วยเครื่อง Shimadzu atomic absorption spectrometer AA-680 ได้ Calibration curve ที่พล็อตระหว่าง ค่า absorbance กับค่ามวลของปรอท ที่ 1000 ng อ่านค่า absorbance ได้ 0.107 absorbance unit ที่ expansion = 1 sensitivity ที่ได้ ประมาณ 100 ng ซึ่งค่อนข้างสูงมาก ไม่เหมาะกับงานหาปรอทในก๊าซธรรมชาติ

เมื่อพิจารณาชุด mercury vaporizer ของ Shimadzu ซึ่งเป็นระบบเปิด มีการผิดพลาดได้ง่าย ในขั้นตอนการเติมตัวรีดิวซ์เอเจนต์ลงไป และจากการปิดจุกซิลิโคนไม่สนิทของ reaction

Calibration curve by circulation method:
(with the Model AA-610S)
Lamp current 6mA
Spectral band width 3.8A
Expansion X5
Response 3
Sample volume 50ml
Reducing agent 10% SnCl₂ solution 2ml



รูปที่ 5.1 แสดง calibration curve ของปรอท โดยใช้ Shimadzu AA-610



รูปที่ 5.2 แสดง calibration curve ของปรอท ใช้ Shimadzu AA-680 โดยตั้ง lamp current 6 mA, slit width 0.7 nm, และ wavelength 253.7 nm

ตารางที่ 5.1 แสดงการดูดซับปรอทของ Tubing ชนิดต่างๆ

ชนิด	ความยาว (ซม.)	Absorbance Reading
Silicone	8	.229
	21	.172
Brown rubber	11	.228
	22	.202
	33	.186
Black rubber	11	.246
	22	.229
	33	.196
Teflon	0	.383
	22	.379

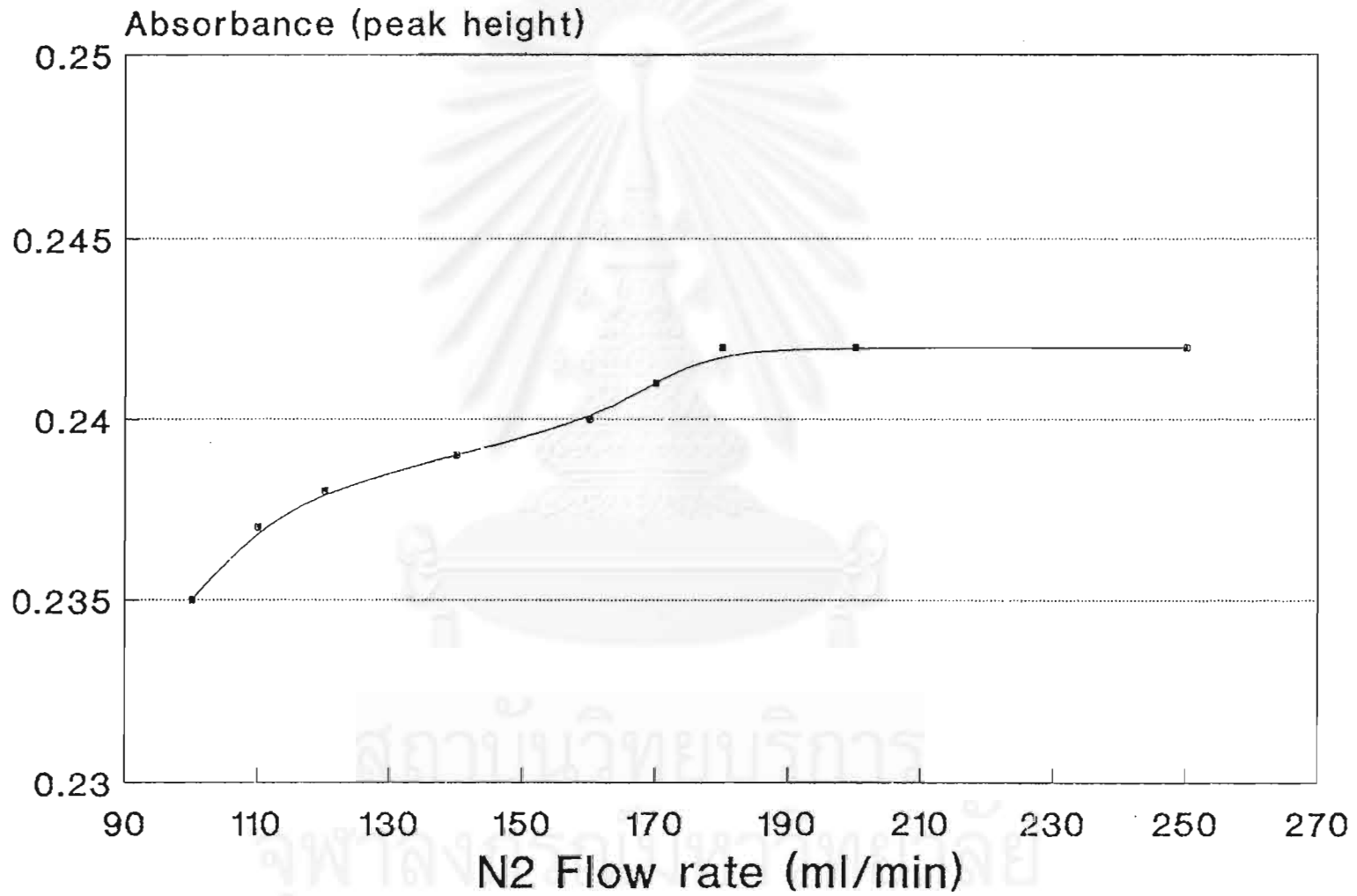
ซับไว้มากที่สุด คือ 40 % ต่อความยาวที่ต่างกัน 13 ซม. rubber ต่างสีกัน ดูดกลิ่นปรอทไม่เท่ากัน และ teflon tubing แสดงการดูดซับปรอทน้อยสุด ดังนั้น จึงเลือกใช้ teflon tubing ตลอดการทดลอง แต่การเชื่อมต่อระหว่าง tubing จำเป็นต้องใช้ tubing ที่นั้น จะใช้ black rubber tubing เพื่อสะดวกต่อการเชื่อมต่อ และใช้ปริมาณที่สั้นที่สุด

5.1.4 การศึกษาอัตราการไหลของก๊าซที่ทำให้ค่า Absorbance สูงสุด

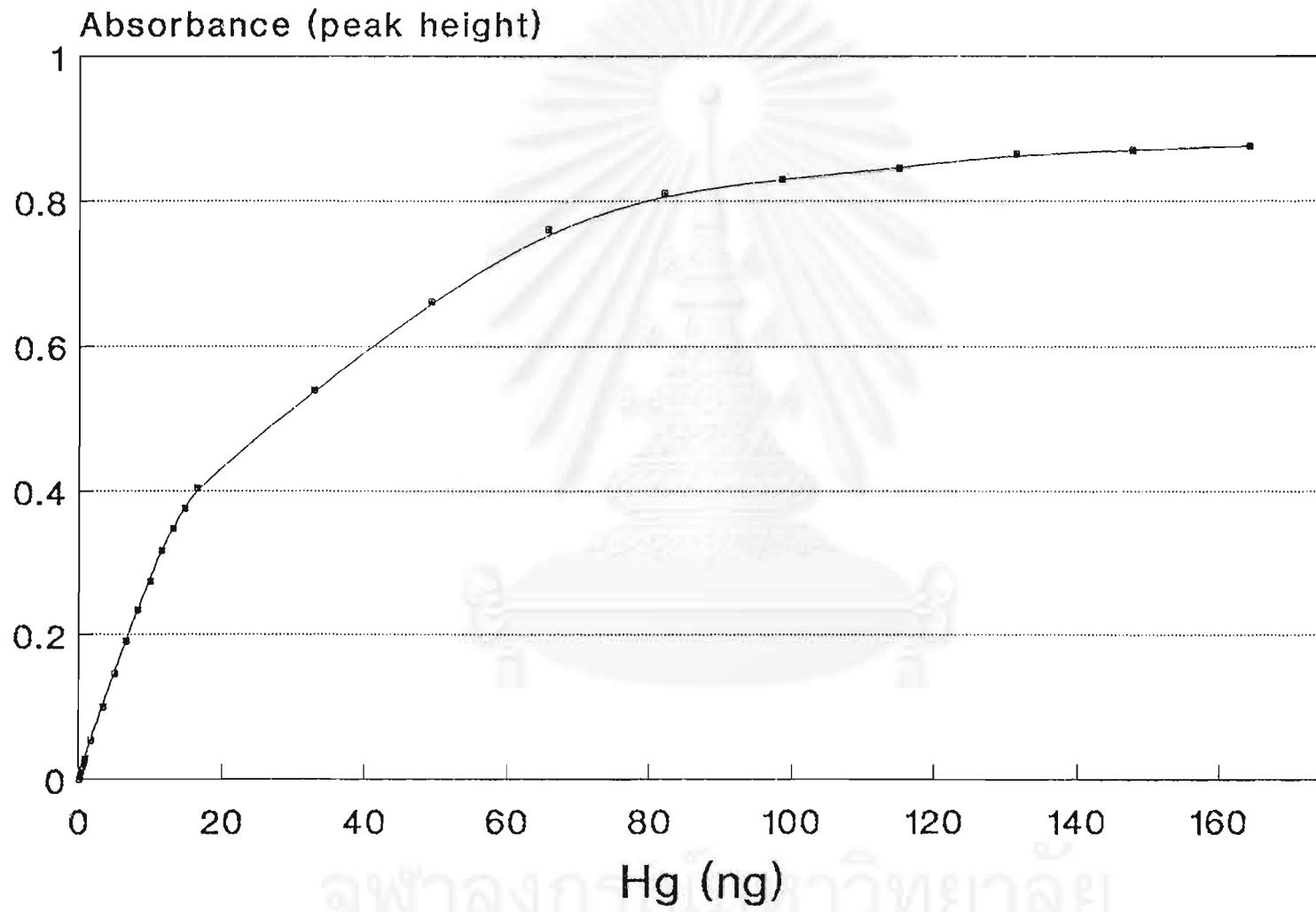
อัตราการไหลของก๊าซมีผลกระทบต่อค่าสูงสุดของ AAS เนื่องจาก อัตราการเคลื่อนที่ช้าจะทำให้ไอปรอทมีเวลามากพอที่จะแพร่กระจายออกไปรอบด้านได้มาก ขณะที่ไอปรอทเคลื่อนเข้าสู่ absorption cell ความเข้มข้นปรอทจะจางลง ทำให้การอ่านค่าได้ต่ำ แต่ค่าที่อ่านได้ที่อัตราการไหลต่ำจะคงที่อยู่นาน ผลนี้จะเป็นตรงกันข้ามถ้าอัตราการไหลของก๊าซสูง การทดลองหาอัตราการไหลของก๊าซที่เหมาะสม ทำโดยการฉีดไอปรอท 0.5 มล. (9.4 ng ไอปรอท) เข้าสู่ absorption cell แปรเปลี่ยนอัตราไหลของก๊าซ ดังแสดงในรูปที่ 5.3 พบว่า อัตราการไหลเปลี่ยนจาก 50 เป็น 170 มล./นาที ค่า absorbance เปลี่ยนไปเพียง 0.005 ABU และคงที่ ที่อัตราการไหลเกิน 180 มล./นาที ค่าอัตราการไหลที่เหมาะสมที่เลือกใช้ คือ 200 มล./นาที

5.2 การศึกษา Detection Limit

ทำการทดสอบระบบที่สร้างขึ้น เพื่อดู sensitivity ในการหาปริมาณปรอท โดยการฉีดไอปรอท ที่ความเข้มข้นต่างๆ เข้าสู่ absorption cell อ่านค่า absorbance และนำมาสร้าง calibration curve ดังแสดงในรูปที่ 5.4 ช่วงที่เป็นเส้นตรง 0 - 20 ng ที่มวลปรอทเกิน 20 ng กราฟเริ่มเบนออกจากเส้นตรง และเมื่อพิจารณา sensitivity พบว่า มวลปรอทต่ำสุดที่ AAS สามารถวัดได้ อยู่ในระดับ 0.2 ng และมีค่าความผิดพลาดในการวัดน้อยกว่า 10 %



รูปที่ 5.3 แสดงการอ่านค่า Absorbance สูงสุดเป็นฟังก์ชันของอัตราการไหลของก๊าซพา



รูปที่ 5.4 แสดง Calibration curve ที่ได้จากการฉีดไอปรอทเข้า absorption cell และใช้อัตราการไหลของก๊าซ 200 มล./นาที

5.3 การหาปริมาณสารปรอทอินทรีย์

ประสิทธิภาพการแตกสลายของสารปรอทอินทรีย์ขึ้นอยู่กับปัจจัยหลายอย่าง คือ อุณหภูมิหรือความร้อนของ heating tube และอัตราการไหลของก๊าซพา

5.3.1 การศึกษาอัตราการไหลก๊าซพาที่มีผลต่อการแตกสลายสารปรอทอินทรีย์

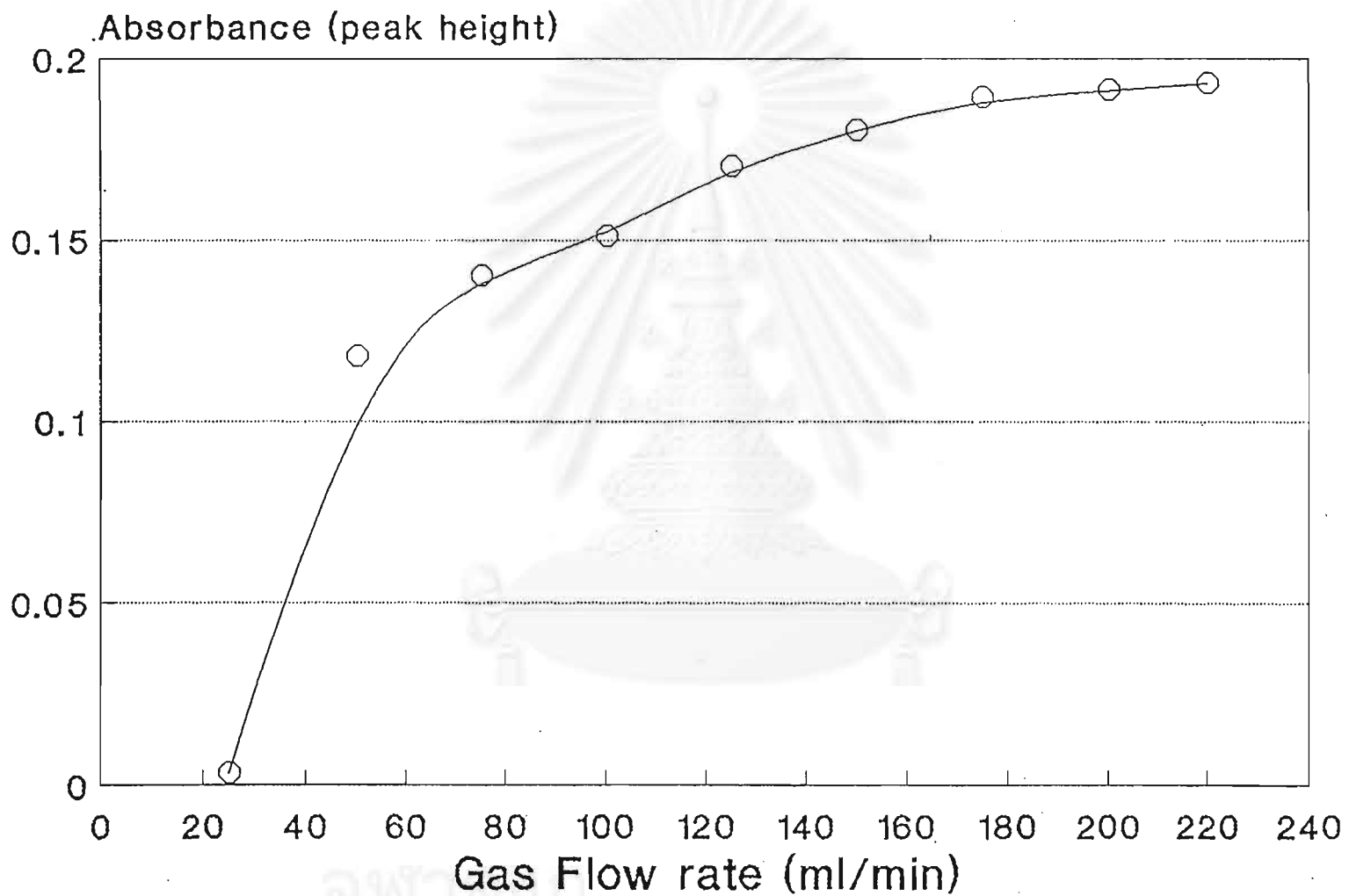
ทำการต่อ heating tube และ transformer ดังแสดงในรูปที่ 3.5 ทำการฉีดไอสารที่ความเข้มข้น 27.24 ng/ml จำนวน 0.5 มล. ผ่าน heating tube ที่มีความต่างศักย์ประมาณ 15–20 โวลต์ ไหลผ่าน ทำการแปรเปลี่ยนอัตราการไหลของก๊าซ ดังแสดงในรูปที่ 5.5 พบว่า ค่า absorbance ที่อ่านได้สูงสุดและค่าค่อนข้างคงที่ ที่อัตราการไหล ของก๊าซมากกว่า 180 มล./นาที การทดลองจึงเลือกใช้อัตราการไหลของก๊าซที่ 200 มล./นาที

5.3.2 การศึกษาอุณหภูมิภายใน Heating Tube

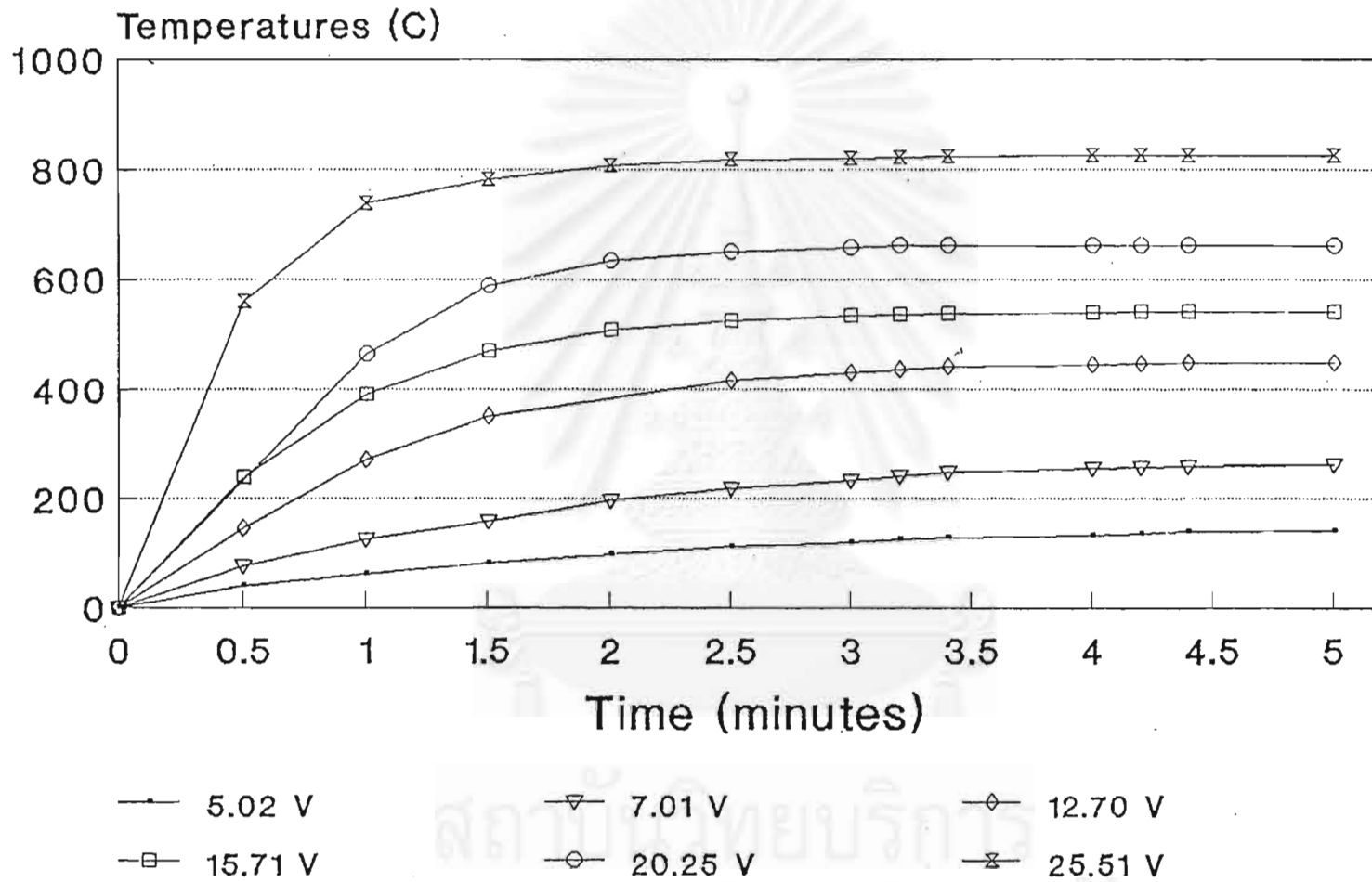
อุณหภูมิของ heating tube ถูกควบคุมด้วยความต่างศักย์ไฟฟ้าที่ให้กับลวดนิโครม การทดลองทำโดยการตั้งค่า Voltage ที่ค่าต่างๆ และวัดอุณหภูมิโดยการสอด digital thermo-couple เข้าไว้ในหลอดแก้วภายใต้ขดลวดในขณะที่ไม่มีเม็ดโลหะอยู่ และอ่านค่าอุณหภูมิตุกๆ 30 วินาที ผลที่ได้ดังแสดงในรูปที่ 5.6 ปรากฏว่า อุณหภูมิอยู่ในสมดุลย์ภายในเวลา 5 นาที และที่ voltage 12.7, 15.7, 20.2, และ 25.5 V อุณหภูมิขึ้นถึง 400 °ซ ภายใน 2.5, 1, และ น้อยกว่า 1 นาที ตามลำดับ การทดลองได้เลือกใช้ voltage ที่ 20 V เป็นค่าที่เหมาะสม เนื่องจากไม่สูงเกินไป และ อุณหภูมิสามารถขึ้นถึง 400 °ซ อย่างรวดเร็ว

5.3.3 การศึกษา Voltage ที่มีผลต่อการแตกสลายของสารปรอทอินทรีย์

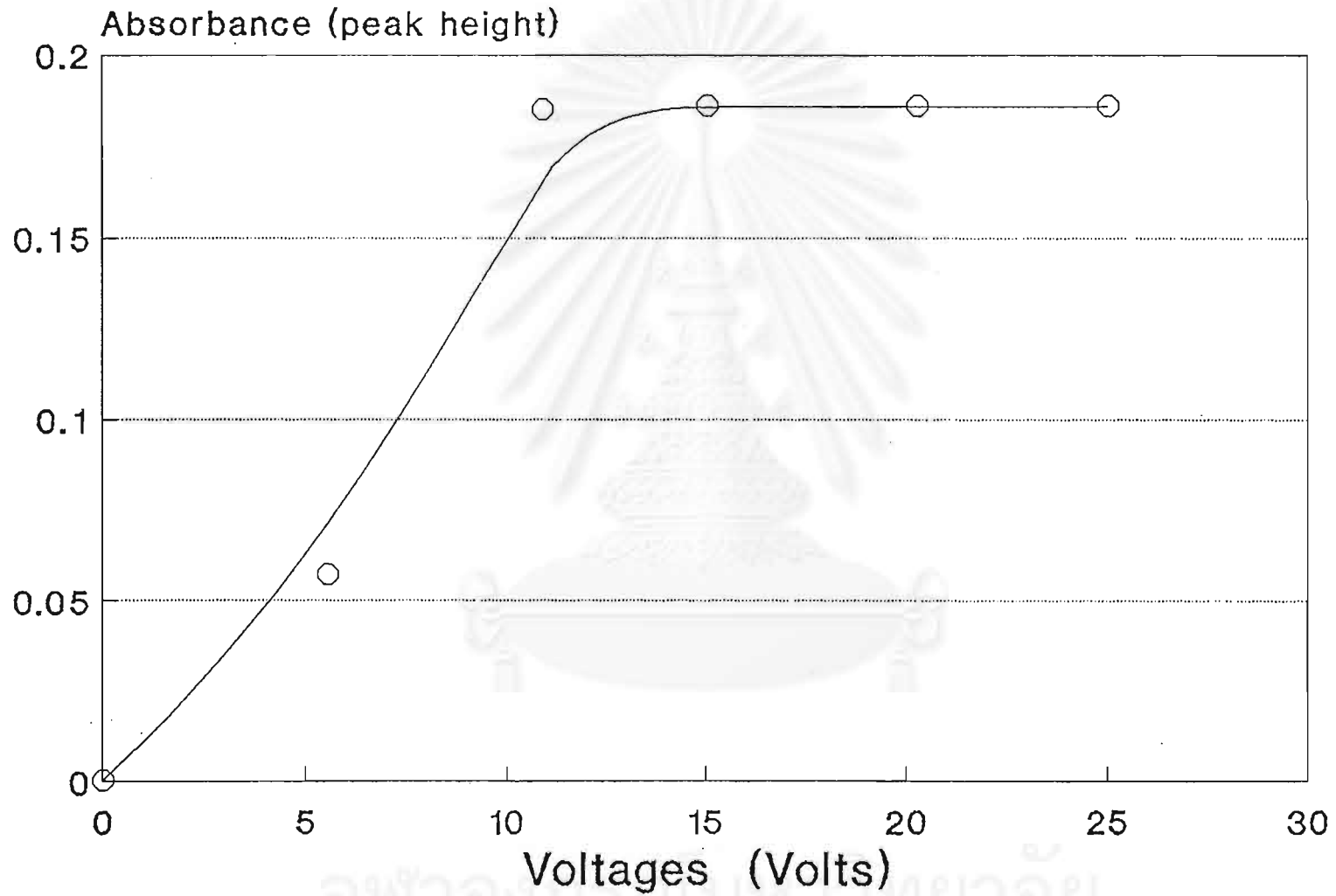
ทำการฉีดไอปรอทอินทรีย์ผ่าน heating tube ที่ร้อนที่ Voltage ต่างๆ โดยใช้ อัตราการไหลของก๊าซ 200 มล./นาที และอ่านค่า absorbance สูงสุด ดังแสดงในรูปที่ 5.7 พบว่า ค่า absorbance สูงสุด ที่ voltage ประมาณ 10 Volts และค่าคงที่ เมื่อ Voltage เกิน 10 V ขึ้นไป จึงยอมรับค่า voltage ที่เหมาะสมต่อการแตกสลายไอปรอทอินทรีย์ที่ใช้ในการทดลองอยู่ในช่วง 20–25 V



รูปที่ 5.5 แสดงค่า Absorbance ของไฮดรอกซิทริยี่ที่แตกสลายเป็นฟังก์ชัน ของอัตราการไหลของก๊าซ



รูปที่ 5.6 แสดงความสัมพันธ์ของอุณหภูมิภายในได้ heating tube กับ voltage ของ transformer เป็นฟังก์ชันของเวลา



รูปที่ 5.7 แสดงการแตกสลายของ Dimethylmercury เป็นฟังก์ชัน ของ voltages โดยใช้อัตราไหลของก๊าซพา 200 มล./นาที

5.3.4 การหาปริมาณสารปรอทอินทรีย์

การทดลองทำโดยการฉีดปรอทอินทรีย์ที่ต้องการหาปริมาณลงใน gas bomb ปล่อยให้สารระเหยเป็นไอโดยใช้ Ultrasonic bath และความร้อน ช่วยเขย่าให้ไอสารแพร่กระจายภายในภาชนะบรรจุได้เร็วยิ่งขึ้น จากนั้นฉีดไอสารผ่าน heating tube ที่ร้อนที่ 20 Volts ด้วยอัตราการไหล 200 มล./นาที่ อ่านค่า absorbance และค่าที่ได้นำมาเทียบกับ calibration curve ของไอปรอท ที่เตรียมได้ด้วยวิธีเดียวกันกับไอปรอทอินทรีย์ calibration curve ใหม่ของสารปรอทอินทรีย์ ที่ได้ ดังแสดงในรูปที่ 5.8 พบว่า การใช้ระบบที่สร้างขึ้นหาปริมาณปรอทอินทรีย์ให้ sensitivity ของการวัดปรอทอินทรีย์ได้ดีถึงระดับ 1 ng

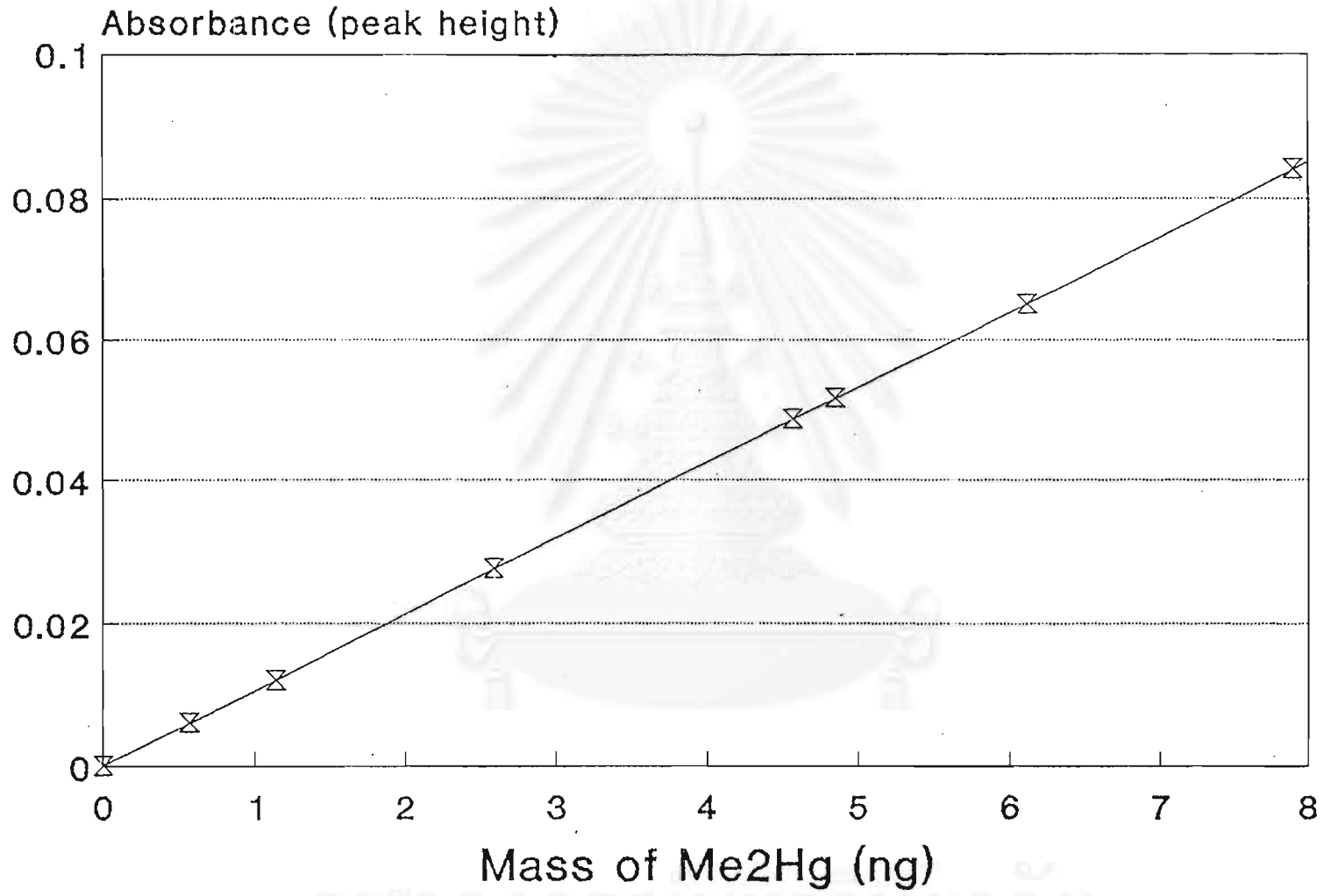
5.4 การศึกษาสารละลายตัวจับปรอทในตัวอย่างก๊าซ

5.4.1 การทดสอบชนิดของตัวจับปรอท

ใช้หลักการ การละลายของไอปรอทและปรอทอินทรีย์ในตัวทำละลายที่เหมาะสม สารละลายที่ใช้ ต้องมีสมบัติเป็นตัวทำละลายปรอททุกฟอร์มได้ดี ฟอร์มของปรอทที่อาจมีได้ คือ ไอปรอท และสารปรอทอินทรีย์ เช่น dimethyl mercury เป็นตัวที่ระเหยเป็นไอได้ง่ายมากที่อุณหภูมิห้อง สารละลายที่เลือกศึกษา ใช้ สารละลายของ KMnO_4 absorption สารละลายของกรดไนตริก สารละลาย acetone ในน้ำ และ toluene

สารละลาย permanganate มีคุณสมบัติที่ดี คือ เป็น ออกซิไดซิงเอเจนต์ที่ดี สามารถออกซิไดซ์ไอปรอท และสารปรอทอินทรีย์ ให้อยู่ในรูปของ Hg^{+2} และยังเป็น indicator ของปฏิกิริยา ออกซิเดชัน-รีดักชัน ด้วย ซึ่งต่างจากสารละลายตัวอื่น แต่มีผลเสีย คือ KMnO_4 แดกตัวได้ง่าย เมื่อถูกแสง

กรดไนตริก เป็นตัวทำละลายของไอปรอทและสารปรอทอินทรีย์ ที่ดี และกรดไนตริกละลายน้ำ ทำให้สะดวกต่อการนำสารละลายปรอทที่จับได้ ไปทำปฏิกิริยาต่อในขั้นตอนต่อไป นอกจากนี้ กรดไนตริกยังเป็นตัวออกซิไดซิงเอเจนต์ ที่ช่วยเปลี่ยนปรอทให้อยู่ในรูป Hg^{+2}



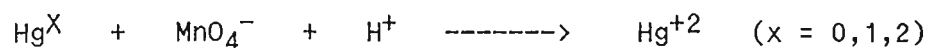
รูปที่ 5.8 แสดงความสัมพันธ์ของมวลปรอทอินทรีย์กับค่า absorbances

acetone และ toluene เป็นตัวทำละลายอินทรีย์ที่สามารถละลายไอปรอท และปรอทอินทรีย์ ได้

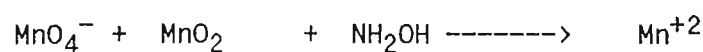
ทำการทดลองโดยใส่สารละลายที่จะทดสอบในขวด dreschel นิด 1 มล. ของไอปรอท และ ของไอสารปรอทอินทรีย์ ผ่าน Injector port เข้าสู่สารละลายจับปรอท ด้วยอัตราความเร็วของก๊าซพา 200 มล./นาที ก๊าซที่ออกจากสารละลายเข้าสู่ absorption cell กรณีไอปรอทอินทรีย์ต้องผ่าน heating tube ก่อน ถ้าไอปรอท หรือไอปรอทอินทรีย์ สามารถเล็ดลอดออกจากสารละลายเข้าสู่ cell จะตรวจจับได้ด้วย AAS ผลการทดลองปรากฏว่า การจับปรอทของสารละลายของ acetone ในน้ำ ดังแสดงในรูปที่ 5.9 ที่ 100 % ของ acetone AAS อ่านค่า absorbance ของไอปรอทได้ 0.017 ABU คิดเป็น 13 % ของไอปรอทที่ฉีดเข้าไป แต่ AAS ไม่สามารถตรวจจับสารปรอทอินทรีย์ได้ ที่ความเข้มข้นของ acetone 60 % สารละลายยังคงจับสารปรอทอินทรีย์ได้ดี แต่การจับไอปรอทได้เพียง 44 % เป็นที่น่าสังเกตว่า background absorption ของ deuterium สูงมาก เมื่อใช้ตัวทำละลาย toluene เป็นตัวจับปรอท AAS ไม่สามารถตรวจวัดค่า absorbance ได้ ทั้งของไอปรอทและไอปรอทอินทรีย์ แต่ toluene ให้ background absorption สูงมาก เมื่อใช้สารละลายกรดไนตริก และสารละลาย KMnO_4 AAS ตรวจจับปรอทไม่ได้ ทั้งไอปรอทและไอปรอทอินทรีย์

เมื่อนำสารละลายที่จับปรอททั้งหมดมาทำปฏิกิริยากับตัวออกซิไดซิ่งเอเจนต์ KMnO_4 ที่อุณหภูมิประมาณ 90°C เป็นเวลา 1 ชั่วโมง เพื่อเปลี่ยนปรอทรูปต่างๆ เป็น Hg^{+2} ในปฏิกิริยาออกซิเดชัน ในสารละลายที่เป็นกรด และขับไอปรอทออกมาใหม่จากปฏิกิริยารีดักชันดังปฏิกิริยา

Oxidation :

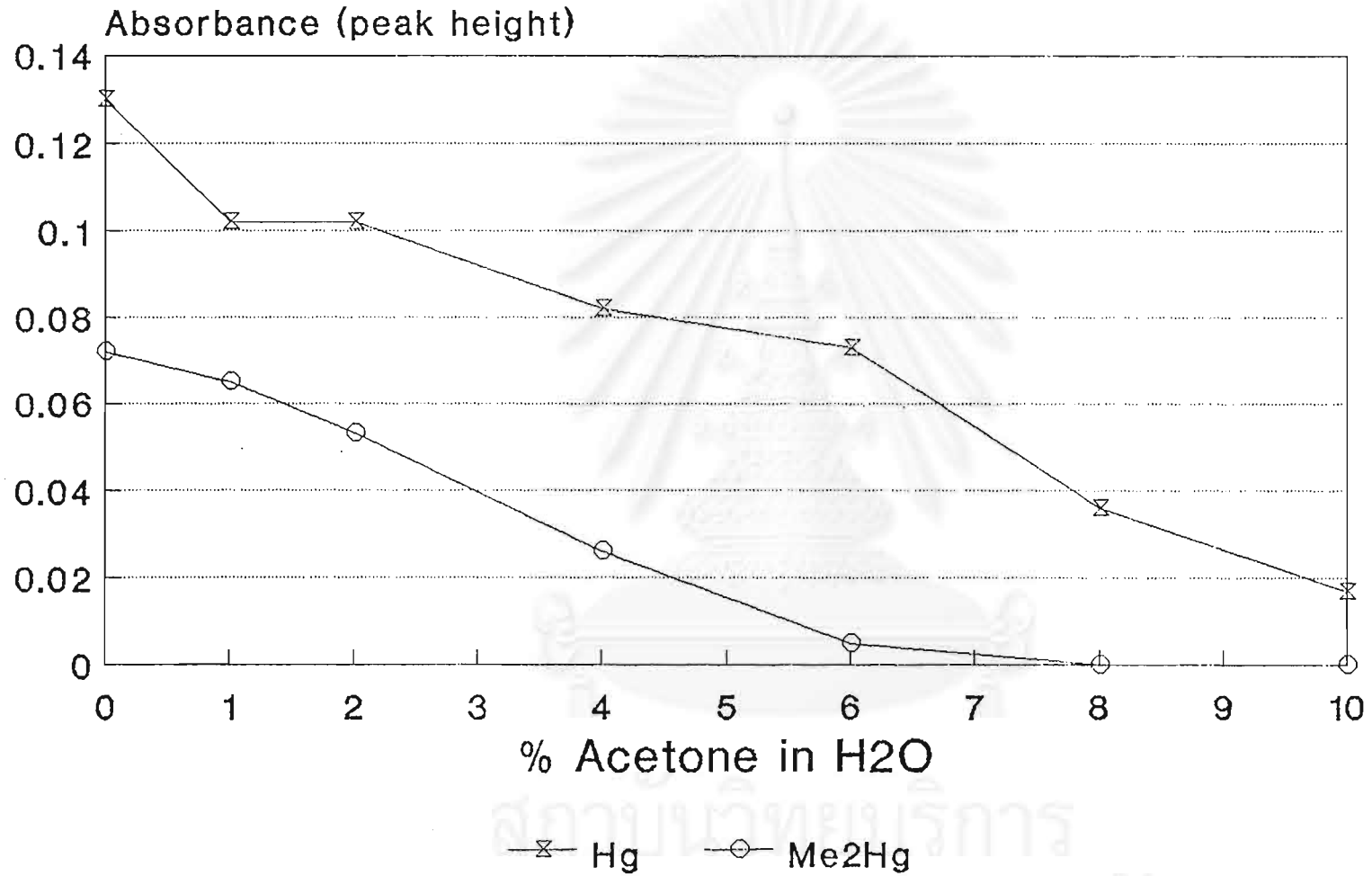


Elimination of excess MnO_4^- และ MnO_2 :



Reduction-Aeration :





รูปที่ 5.9 แสดงการจับปรอทของสารละลาย acetone กับน้ำ เป็นฟังก์ชันของความเข้มข้นของ acetone โดยใช้ AAS เป็นตัววัดปรอทที่เสี้อลดสารละลายออกไป

ปรากฏว่า ต้องใช้ตัวออกซิไดซ์เอเจนต์ มาก สำหรับตัวจับปรอทที่เป็นสารละลาย acetone, toluene, และกรดไนตริก ใช้ปริมาณออกซิไดซ์เอเจนต์เป็นหลายเท่าของที่ใช้กับสารละลายตัวจับ permanganate ดังนั้นสารละลายเหล่านั้นจึงไม่เหมาะสมที่จะใช้เป็นตัวจับปรอท ในขณะที่ตัวจับสารละลาย permanganate ไม่มีตัวรบกวน จึงเป็นตัวที่เหมาะสมที่สุดที่จะใช้ต่อไป

5.4.2 การศึกษาประสิทธิภาพการจับปรอทของสารละลาย $KMnO_4$ เป็นฟังก์ชันของ อัตราการไหลก๊าซ

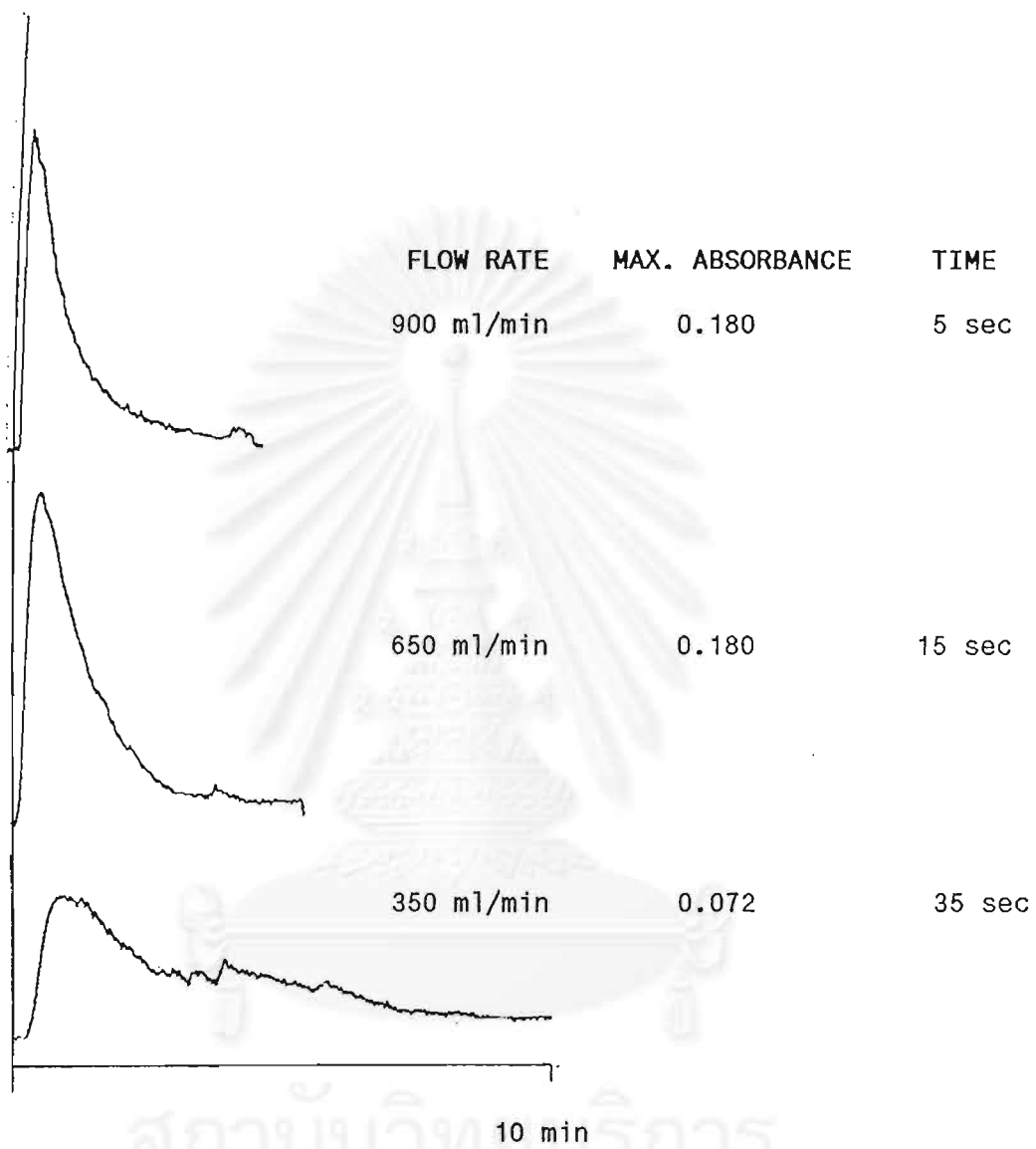
โดยการฉีดไอปรอท เข้าสู่ก๊าซพาที่ไหลด้วยอัตราความเร็วต่างๆ ลงสู่สารละลาย $KMnO_4$ 30 มล. ให้ก๊าซพาออกสู่ acid filter และเข้าสู่ dosimeter 2 ตัว ที่ต่ออนุกรม นำ dosimeter ทั้งสองตัว อ่านค่าด้วย Jerome ดังแสดงในตารางที่ 5.2 ที่อัตราการไหลสูงถึง 300 มล./นาที dosimeter ตัวแรกเริ่มอ่านค่าได้ ในขณะที่อัตราการไหลอยู่ในช่วง 50-200 มล./นาที เป็นความแปรปรวนของ dosimeter มากกว่า นั่นคือ ประสิทธิภาพการจับปรอทของสารละลาย $KMnO_4$ ได้ดีที่อัตราการไหลต่ำกว่า 300 มล./นาที การทดสอบประสิทธิภาพการจับปรอทโดยใช้ AAS ทำได้โดยต่อปลายที่ก๊าซพาออกจาก dreschel เข้าสู่ AAS ปรากฏว่า ที่อัตราการไหล 200 มล./นาที AAS ยังตรวจจับปรอทได้ตลอดไม่พบ

5.4.3 การศึกษาอัตราการไหลของไอปรอทที่ฟอร์มจากปฏิกิริยารีดักชัน-แอเรชัน กับ การอ่านค่า Absorbance สูงสุด

ความไวในการวัดปรอทด้วย CV-AAS ขึ้นอยู่กับความเร็วในการจับปรอทออกจากสารละลายในปฏิกิริยารีดักชัน-แอเรชัน ให้ได้มากที่สุด ปัจจัยที่เกี่ยวข้อง คือ อัตราการไหลของก๊าซพา อุณหภูมิที่ใช้ฟอร์มไอปรอท การทดลองได้เปรียบเทียบ อัตราการไหลของก๊าซพาที่ 350, 650, และ 900 มล.ต่อ นาที โดยใช้ flowmeter ขนาด 1 ลิตร/นาที เป็นตัวควบคุมการไหลของก๊าซ ใช้ Hg^{+2} 500 ng ในสารละลาย $KMnO_4$ ในขวด dreschel ทำการรีดิวซ์ด้วย hydroxylamine และ $SnCl_2$ ตามลำดับ ให้ก๊าซพาล่องไปในสารละลายนี้ และออกสู่ absorption cell อ่านค่า absorbance เป็นฟังก์ชันของเวลา ผลการทดลองดังแสดงในรูปที่ 5.10 พบว่า ค่า absorbance สูงสุด เพิ่มขึ้นเป็นฟังก์ชันของอัตราการไหลก๊าซที่อัตราการไหลของก๊าซพา 900 มล./นาที ค่า absorbance สูงสุดที่อ่านได้ 0.180 ABU ใช้เวลาประมาณ 5 วินาที ที่อัตราการไหล 650 และ 350 มล/นาที ได้ ค่า absorbance เป็น 0.180 และ .072 ABU และใช้เวลา 15 และ 35 วินาที ตามลำดับ ค่า absorbance

ตารางที่ 5.2 แสดงประสิทธิภาพการจับปรอทของสารละลาย permanganate เป็นฟังก์ชันของอัตราการไหลของก๊าซพา ใช้ dosimeters 2 ตัวเป็นตัวจับปรอทที่เสถียรและอ่านค่าด้วย Jerome

อัตราการไหล (ml/min)	มวลปรอท (ng)	Dosimeter #1 (mg/m ³)	Dosimeter #2 (mg/m ³)
25	15.12	.000	.000
50	15.12	.005	.000
75	15.60	.006	.000
100	15.87	.006	.000
200	15.87	.004	.000
300	15.87	.010	.000
400	16.14	.017	.000
500	16.14	.029	.000



รูปที่ 5.10 แสดงการฟอร์มไฮดรอกซีที่อุณหภูมิห้อง ใช้อัตราการไหลของก๊าซพาที่ 900, 650, และ 350 มล./นาที ใช้ปรอท Hg^{+2} 500 ng ในสารละลาย $KMnO_4$

ที่ได้นี้ ต่ำมากๆ เมื่อเทียบกับการฉีดไอปรอท 1 มล. เข้าสู่ absorption cell โดยตรง เนื่องจาก การละลายของปรอทในสารละลายมีค่าสูงมาก ที่อุณหภูมิห้อง

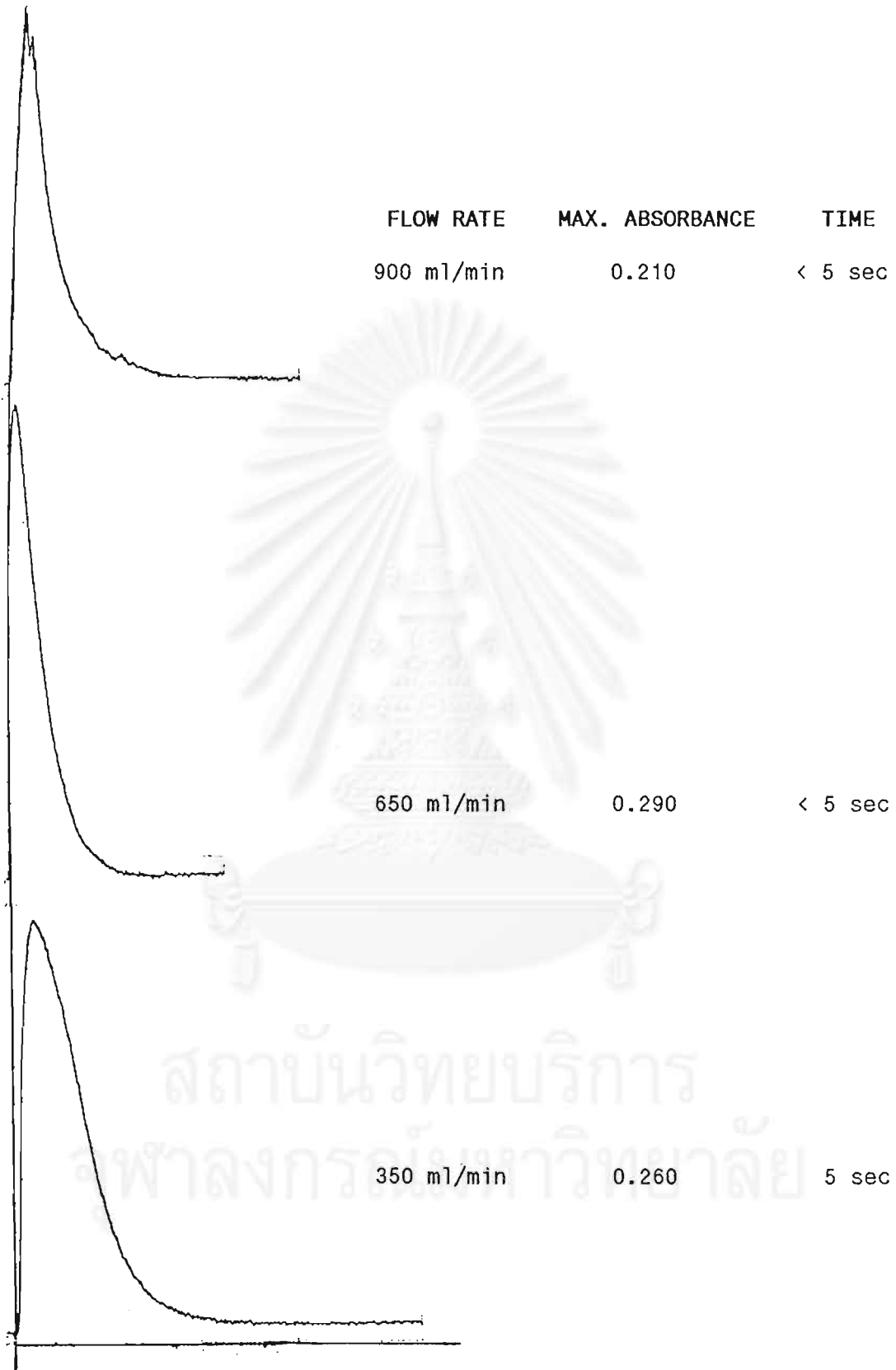
ทดลองลดการละลายของปรอท โดยทำปฏิกิริยารีดักชัน ที่อุณหภูมิประมาณ 90 °C พบว่า ที่อัตราการไหล 650 มล./นาที่ ให้ค่า absorbance สูงสุด เป็น 0.290 ABU และที่อัตราการไหล 900 มล./นาที่ เกิดการแยกของ peak ทำให้ค่าที่ได้ต่ำกว่า ที่อัตราการไหล 350 มล. ต่อ นาที่ และเวลาที่ให้ absorbance สูงสุด ของทุกอัตราการไหล น้อยกว่า 5 วินาที ดังแสดงในรูปที่ 5.11 อย่างไรก็ตาม ค่า absorbance สูงสุด ที่อัตราการไหลก๊าซ 650 มล. ต่อ นาที่ ก็ยังไม่ดี เนื่องจากการทำ calibration curve ของไอปรอทที่ได้จากสารละลายที่ร้อน ที่อัตราการไหลก๊าซ 650 มล./นาที่ ดังแสดงในรูปที่ 5.12 พบว่า sensitivity อยู่ในระดับ 10 ng นอกจากนี้ ข้อมูลที่ได้มีกระจายออกจากกราฟเส้นตรงมาก

5.4.4 การใช้ตัว Dosimeter เป็น Preconcentrator เพื่อเพิ่มประสิทธิภาพการวัดปรอท

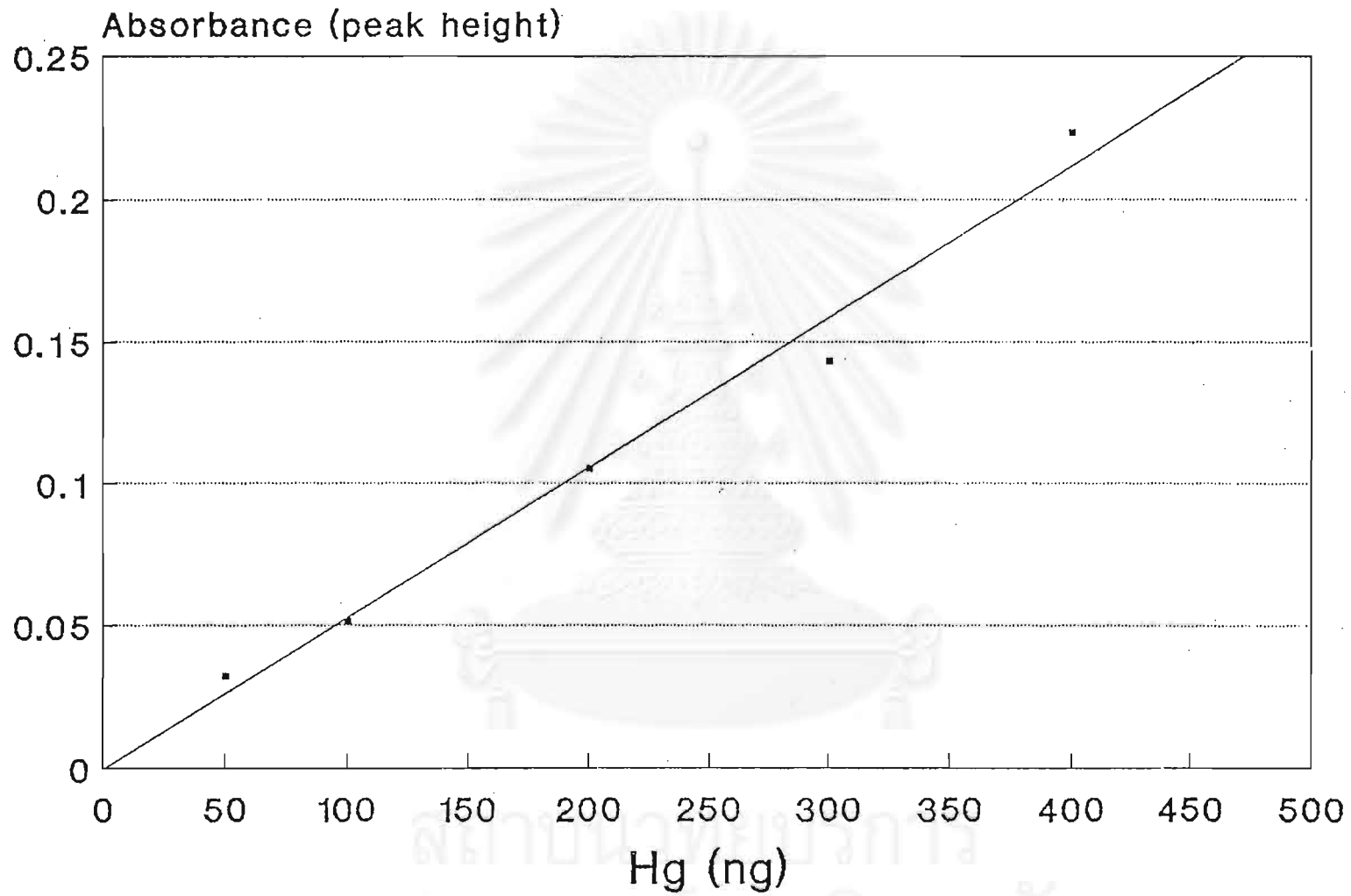
การทดสอบประสิทธิภาพของ dosimeter โดยใช้ AAS ดังแสดงในตารางที่ 4.9 พบว่า dosimeters มีประสิทธิภาพดี และมีบางอันที่ให้ค่าที่อ่านด้วย AAS สูงหรือต่ำเกิน 5 % ควรเลี่ยงการใช้งาน dosimeter เหล่านั้น ส่วน dosimeter ที่ให้ค่าผิดพลาดต่ำกว่า 5 % ใช้เป็นตัว preconcentrator ของไอปรอทที่ฟอร์มจากสารละลายในปฏิกิริยารีดักชันได้

5.4.5 การศึกษาอัตราการ Desorption ปรอท ที่ให้ค่า Absorbance สูงสุด

การ desorption ปรอทออกจาก dosimeter และวัดค่าด้วย AAS ทำได้โดยการต่อ dosimeter เข้าที่ทางเข้าของ absorption cell (ดังแสดงในรูปที่ 3.5) และให้ความร้อนกับ dosimeter โดยที่ใช้ voltage 20 Vac จาก variac transformer เป็นเวลา 7 วินาที ก่อนให้ความร้อนกับ dosimeter ทำการฉีดไอปรอท 0.5 มล. (7.80 ng) เข้าสู่ dosimeter จากนั้นจึงทำการ desorption ปรอทโดยแปรค่าอัตราการไหลตั้งแต่ 50 - 1000 มล./นาที่ อ่านค่า absorbance สูงสุด ดังแสดงในรูปที่ 5.13 - 5.14 พบว่า ค่า absorbance ลดลง เมื่ออัตราการไหลสูงขึ้น และอัตราการ desorption ที่ 50-150 มล./นาที่ ให้ค่า absorbance สูงสุด ซึ่งเป็นช่วงที่เลือกว่าเหมาะสมต่อการใช้งานการ desorption ปรอทออกจาก dosimeter



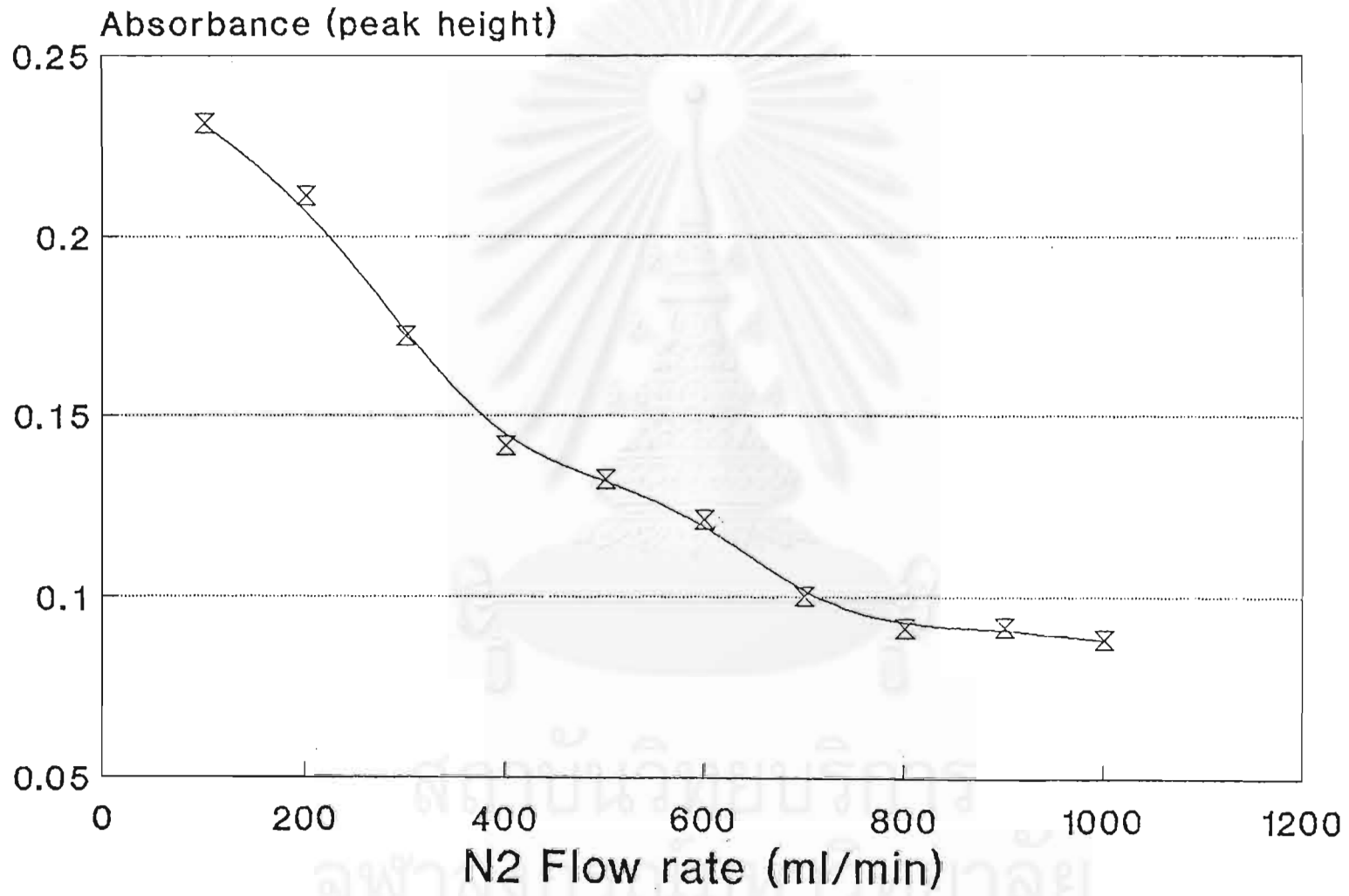
รูปที่ 5.11 แสดงการฟอร์มไฮดรอกไซด์ของไอออนของ Hg^{+2} ใช้อัตราการไหลของก๊าซพาที่ 900, 650, และ 350 มล./นาที ใช้ปรอท Hg^{+2} 500 ng ในสารละลาย $KMnO_4$



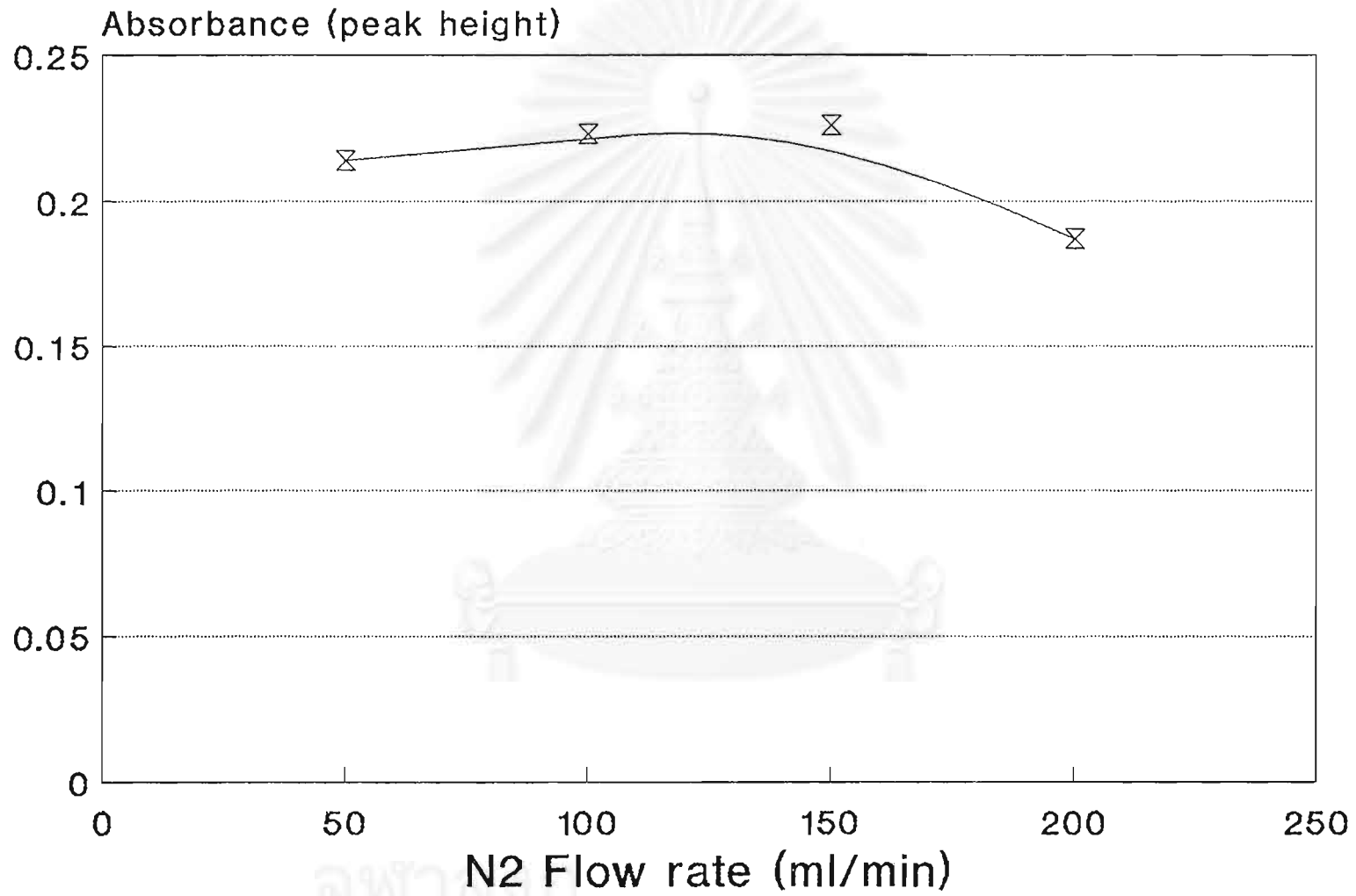
- 67 -

- 67 -

รูปที่ 5.12 แสดง Calibration curve ที่ได้จากการฟอร์มไฮดรอกซี อุลทงูมิ 90 °ซ ในปฏิกิริยารีดักชัน-แอเรชัน และใช้อัตรา
การไหลของก๊าซพา 650 มล./นาที



รูปที่ 5.13 แสดงอัตราการ desorption พรอท ออกจาก dosimeter เป็นฟังก์ชันของอัตราการไหลของก๊าซพา ที่ 100 - 1000 มล./นาที



รูปที่ 5.14 แสดงอัตราการ desorption ปรอทออกจาก dosimeter เป็นฟังก์ชันของอัตราการไหลก๊าซพา ที่ 50 - 200 มล./นาที

5.5 การศึกษา Detection Limit

สร้าง calibration curve ของปรอท ที่ได้จากการฉีดไอปรอทเข้าสู่ dosimeter และการ desorption ที่อัตราการไหล 100 มล./นาที ดังแสดงในรูปที่ 5.15 ได้ detection limit เหมือนกับการฉีดไอปรอทเข้า absorption cell โดยตรง (ประมาณ 0.2 ng) และ สร้าง calibration curve จากปรอทในสารละลาย ผ่านเข้าสู่ตัว preconcentrator ดังแสดงในรูปที่ 5.16 ได้ detection limit อยู่ในระดับ 1 ng ซึ่งใกล้เคียงกับ detection limit ข้างต้น

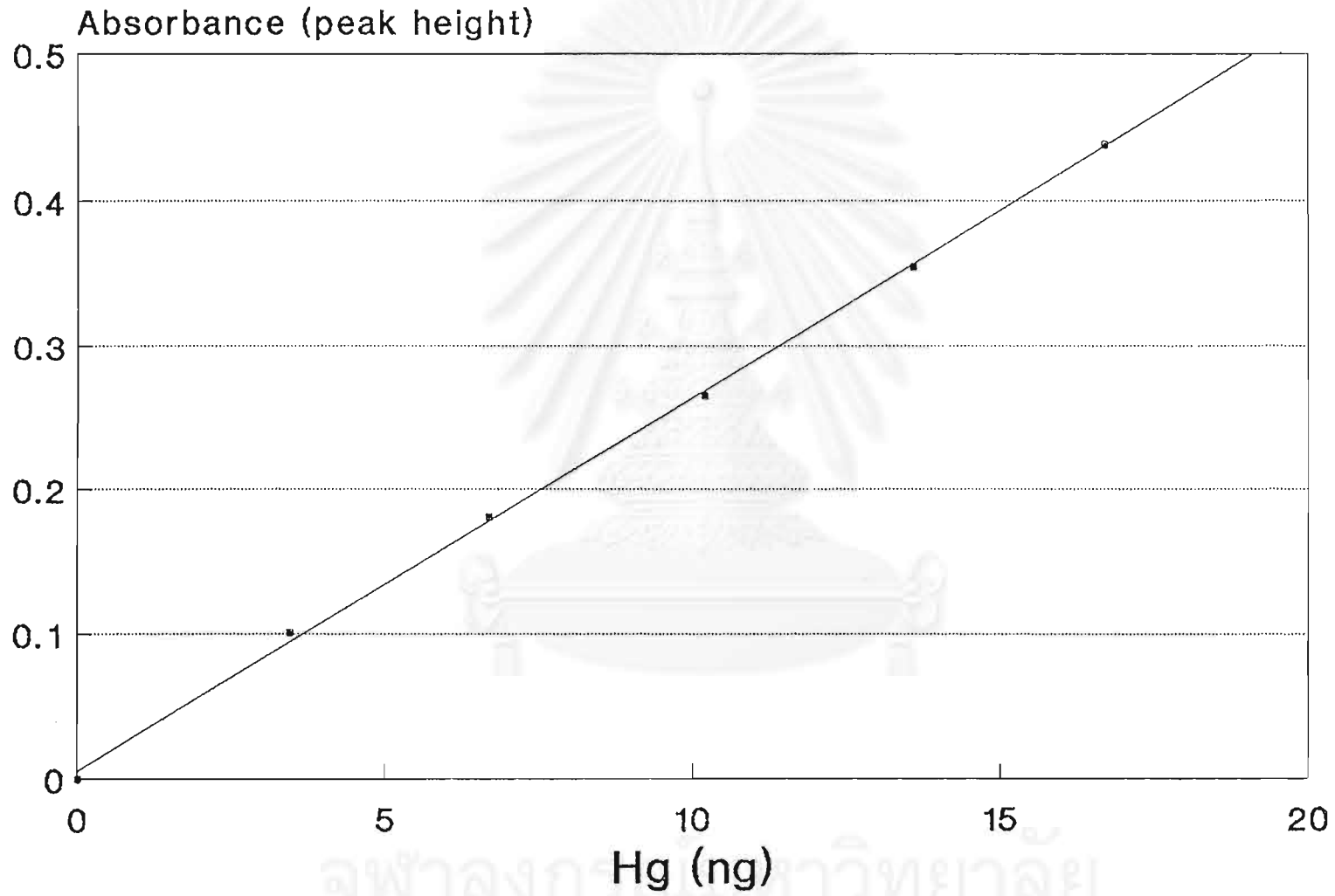
5.6 การศึกษาตัวรบกวนที่เกิดขึ้นกับ AAS

5.6.1 ตัวรบกวน H_2S , CO, CO_2 , COS

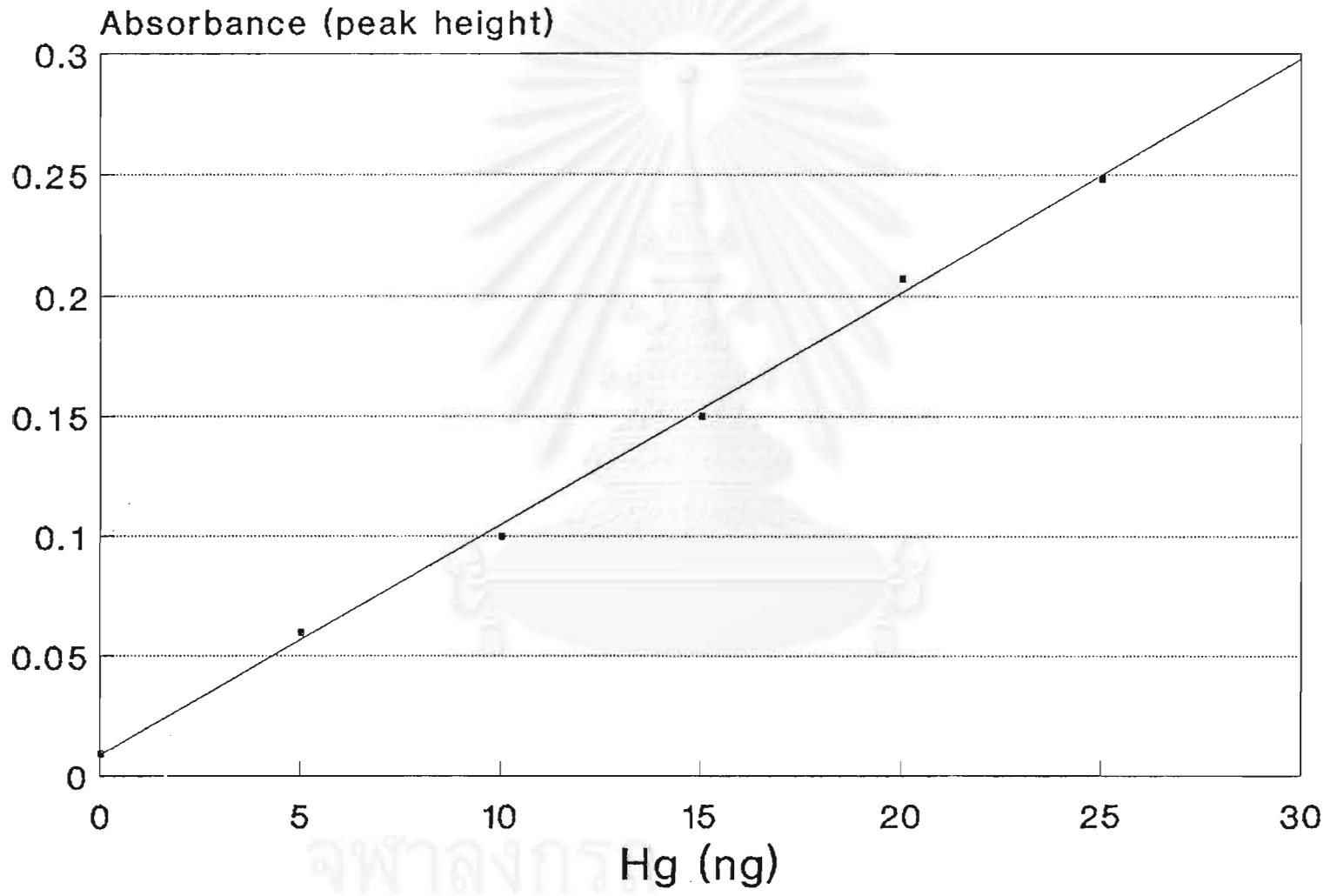
เมื่อทำการฉีดก๊าซเหล่านี้เข้าสู่ absorption cell ของ AAS โดยตรง ปรากฏว่า AAS ไม่แสดงค่า absorbance ของสารเหล่านี้

สรุปการศึกษา AAS detection สำหรับการหาปริมาณปรอทในก๊าซธรรมชาติ

- 1 การใช้ขวด dreschel เป็น reaction vessel แทน ชุด Shimadzu mercury vaporizer ช่วยลดข้อผิดพลาดที่เกิดขึ้นจากการเปิด/ปิด reaction vessel และ ป้องกันอันตรายเนื่องจากไอปรอทที่เล็ดลอดมาสู่ผู้ทำงานได้
- 2 sensitivity ของการวัดด้วย AAS เพิ่มขึ้น เมื่อเพิ่มความยาวของ absorption cell
- 3 การใช้สารละลาย $KMnO_4$ absorption จับไอปรอท และปรอทอินทรีย์ สามารถใช้อัตราการเร็วในการจับปรอทในตัวอย่างได้ถึง 200 มล./นาที โดยที่สารละลายยังจับปรอทได้อย่างมีประสิทธิภาพ นอกจากนี้ ยังช่วยกำจัดตัวรบกวนในตัวอย่างก่อนที่จะให้ปรอทผ่านไปถึงตัว dosimeter ที่ใช้เป็นตัว preconcentrator และเพิ่ม sensitivity ของการวัดปรอทด้วย AAS
- 4 Sensitivity ที่ได้จากชุด modified AAS ที่ได้จากการทดลองนี้ อยู่ในระดับ 1 ng



รูปที่ 5.15 แสดง calibration curve ของไอปรอทที่ดูดลงใน dosimeter ที่เป็น preconcentrator ใช้อัตราการไหลก๊าซ 100 มล./นาที



รูปที่ 5.16 แสดง calibration curve ของปรอทในสารละลาย ที่จับด้วย dosimeter ที่อุณหภูมิห้อง

บทที่ 6

การหาปริมาณปรอทในก๊าซธรรมชาติ

6.1 การหาปริมาณปรอทใน Ethane และ Propane โดย Dosimeter กับ Jerome

การหาปริมาณปรอทใน Ethane จากท่อลำเลียงที่ส่งตรงมาจาก บตท ผ่านเข้าด้านสกัดปรอทของ บตช สามารถเก็บตัวอย่างเดียวกันและพร้อมกัน ได้ทีละ 3 ครั้ง การเก็บตัวอย่างโดยนำ dosimeter ชุดละ 2 ตัว ต่อเป็นอนุกรม ไปต่อที่ทางออกของท่อลำเลียง และให้ผ่าน acid filter ก่อนถึง dosimeters การจับปรอทได้กระทำทั้งก่อนผ่านด้าน และหลังผ่านด้านสกัดปรอท ได้ข้อมูลดังแสดงในตารางที่ 6.1 พบว่า dosimeter จำนวน 7 ชุด แสดงการจับปรอทอย่างผิดปกติ กล่าวคือ ที่ตำแหน่งที่ 1 จับปรอทได้น้อยกว่า ตำแหน่งที่ 2 และการ desorption ของปรอทจาก dosimeter เกิดขึ้นอย่างช้าๆ โดยเฉพาะชุด dosimeter ที่จับปรอทของวันที่ 6 และ 7 ความผิดปกตินี้ ได้พบเสมอเมื่อใช้ dosimeter จับปรอทในก๊าซธรรมชาติ นอกจากนี้ ความเข้มข้นปรอทที่พบใน Ethane อยู่ในระดับ 1 ug/m^3 เป็นที่น่าสังเกตว่า ความเข้มข้นปรอท ที่ก่อนผ่านและหลังผ่านจุดสกัดปรอท ไม่แตกต่างกัน

การหาปริมาณปรอทใน Propane โดยการนำ Propane เหลว มาระเหยเป็นไอโดยใช้ water bath ที่ 60°C ผ่านเข้า acid filter และ dosimeter 2 ตัว ผลการหาปริมาณดังแสดงในตารางที่ 6.2 แสดงให้เห็นถึงความผิดปกติของการจับปรอทเหมือนใน Ethane ประสิทธิภาพการจับปรอทของ dosimeter ตำแหน่งที่ 1 ได้ใกล้เคียงกับ ตำแหน่งที่ 2 และความเข้มข้นปรอทใน Propane ที่หาได้อยู่ในระดับ 0.23 ug/m^3

การหาความแม่นยำ (precision) ของการหาปริมาณปรอทใน Ethane และ Propane ดังแสดงในตารางที่ 6.3 พบว่า เบอร์เชินด์การเบี่ยงเบนจากค่าเฉลี่ย อยู่ในช่วง 5 - 27 % และผลวิเคราะห์ปรอท ยังมีแนวโน้มเหมือนเดิม กล่าวคือ มีปรอทใน Propane ในระดับ 0.2 ug/m^3 และใน Ethane ระดับ 1 ug/m^3 นอกจากนี้ ปรอทที่ก่อนผ่าน และหลังผ่านด้านสกัดปรอท ไม่มีความแตกต่างกัน

ตารางที่ 6.1 แสดงการจับปรอทใน Ethane ที่ก่อนผ่าน และหลังผ่านด้านสกัดปรอทของ ปคช

Date	Sampling Point	Jerome Reading (mg/m ³)		Hg (ug/m ³)
		Dos.# 1	Dos.# 2	
25/6/92	Removal Inlet	.054	.160	1.22
	" "	.050	.100	0.86
	" "	.051	.123	1.00
26/6/92	Removal Inlet	.086	.227	1.17
	" "	.096	.236	1.25
	" "	.322	.051	1.39
6/7/92	Removal Inlet	.038,.010,.006	.228,.020,.010	1.19
	" "	.250,.024,.014	.076,.008,.005	1.29
	Removal Outlet	.192,.010	.059,.010	1.06
	" "	.197,.014	.077,.012,.006	1.11
7/7/92	Removal Inlet	.238,.012,.008	.027	0.87
	Removal Outlet	.173,.012,.008	.068,.005	0.81
	" "	.047	.202,.022	0.82

ตารางที่ 6.2 แสดงการจับปรอทใน Propane

Date	Jerome Reading (mg/m ³)		Hg (ug/m ³)
	Dos.# 1	Dos.# 2	
26/6/92	.042	.038	0.28
	.032	.039	0.25
	.039	.010	0.17

ตารางที่ 6.3 แสดงการปรอทใน Ethane Feed ก่อนและหลังผ่านจุดสกัดปรอท และใน Propane Feed และการหาค่าเบี่ยงเบน จากการวัด 3 ครั้ง

	Propane Feed	Ethane Feed	
	Hg (ug/m ³)	Hg (ug/m ³)	
		Removal Inlet	Removal Outlet
Day 1	0.23 ± 24 %	0.82 ± 13 %	0.79 ± 5 %
Day 2	-	1.27 ± 9 %	1.72 ± 27 %

หมายเหตุ การจับ Ethane ที่ก่อนและหลังผ่านจุดสกัด ทว่าที่ต่างวันกัน

6.2 การหาปริมาณปรอทใน Ethane และ Propane ใช้สารละลาย $KMnO_4$ และ AAS เปรียบเทียบกับ Dosimeter และ Jerome

ใช้ dosimeters 2 ชุด และสารละลายจับปรอท $KMnO_4$ ในขวด dreschel 1 ชุด ต่อเข้ากับ outlet ของท่อลำเลียง ให้ความเร็วของการจับปรอท 25 มล./นาที และเวลาจับเท่ากันหมด นำ dosimeters ชุดแรกอ่านค่าปรอทด้วย Jerome dosimeters ชุดที่สอง และสารละลายจับปรอท $KMnO_4$ วัดปรอทด้วย AAS นำผลที่ได้มาเปรียบเทียบ ดังแสดงในตารางที่ 6.4 พบว่าการวัดปรอทด้วย Jerome ได้ค่าความเข้มข้นต่ำกว่าของ AAS และการหาปรอทใน Propane ด้วยวิธีเดียวกันนี้ ดังแสดงในตารางที่ 6.5 ให้ผลของแต่ละวิธีที่แตกต่างกันมาก นอกจากนี้ ตัวอย่างที่เก็บจาก bomb เดียวกัน แต่จับปรอท ครั้งที่ 1 และ 2 ต่างเวลากัน ยังให้ผลที่ต่างกัน โดยการจับปรอทครั้งที่ 2 ของทุกวิธี ให้ผลที่ต่ำกว่าครั้งแรก

6.3 การเปรียบเทียบวิธี AAS และ Jerome กับการหาปริมาณปรอทโดยใช้ตัวอย่างเดียวกัน

เนื่องจากความแม่นยำของการหาปรอทไม่ดีเท่าที่ควร แม้จะเก็บตัวอย่างภายใต้เงื่อนไขเดียวกันทุกอย่างก็ตาม การเปรียบเทียบผลที่ได้จากวิธีที่ต่างกันจึงทำได้ยาก ทำให้ต้องเปลี่ยนขั้นตอนการวัดปรอทตัวอย่าง โดยนำ dosimeters ที่จะอ่านค่าด้วย Jerome มาวัดปรอทด้วย AAS ก่อน และใช้ dosimeter ชุดใหม่ที่มีประสิทธิภาพการจับปรอทใกล้เคียงกับชุดแรก มาต่อที่ปลาย absorption cell เพื่อจับปรอทที่ออกจาก cell และนำไปอ่านค่าด้วย Jerome ทำนองเดียวกัน ปรอทที่จับด้วยสารละลายและวัดปรอทด้วย AAS นำมาอ่านค่าด้วย Jerome การใช้ dosimeter 2 ชุด เช่นนี้ ประสิทธิภาพของ dosimeter แต่ละตัวค่อนข้างมีความสำคัญมากเพราะจะทำให้ผลที่ได้แตกต่างกัน

ผลการทดลองจับปรอทและวัดด้วยวิธีดังกล่าวนี้ ดังแสดงในตารางที่ 6.6 ทำการจับตัวอย่างใน Ethane หรือใน Propane พร้อมกันทั้ง 3 ตัวอย่าง ภายใต้เงื่อนไขเดียวกัน พบว่า การจับปรอทโดยตรงด้วย dosimeters และอ่านค่าด้วย AAS ให้ค่าปรอทใกล้เคียงกับเมื่อจับด้วยสารละลาย $KMnO_4$ ทั้งในตัวอย่าง Ethane และ Propane แต่เมื่อนำ dosimeters ที่รองรับปรอทจาก absorption cell วัดปรอทด้วย Jerome ค่าที่อ่านได้จาก

ตารางที่ 6.4 แสดงการหาปรอทใน Ethane Feed โดยวัดด้วย AAS
เปรียบเทียบกับการวัดด้วย Jerome

วิธี	ความเข้มข้นปรอท (ug/m ³)
dosimeters/Jerome	0.32
dosimeters/AAS	4.81
KMnO ₄ /AAS	4.33

ตารางที่ 6.5 แสดงการหาปรอทใน Propane โดยวัดด้วย AAS เปรียบเทียบกับการวัดด้วย Jerome จากการหา 2 ครั้ง จาก bomb เดียวกัน

วิธี	ความเข้มข้นปรอท (ug/m ³)	
dosimeters/Jerome	1.01	0.39
dosimeters/AAS	0.22	0.18
KMnO ₄ /AAS	0.96	0.68

ตารางที่ 6.6 แสดงการหาปรอทใน Ethane และ Propane โดยเปรียบเทียบวิธีการวัดด้วย AAS กับการวัดด้วย Jerome

Method	Sample No.	Hg ($\mu\text{g}/\text{m}^3$)			
		Propane		Ethane	
		AAS	Jerome	AAS	Jerome
dosimeters	1	0.23	0.07	0.62	0.22
KMnO ₄ (I)	2	0.34	0.10	0.63	0.21
KMnO ₄ (II)	3	0.31	0.09	1.43*	0.54

หมายเหตุ * mass flow controller เสีย

Jerome ต่ำกว่าที่อ่านด้วย AAS เกิน 50 %

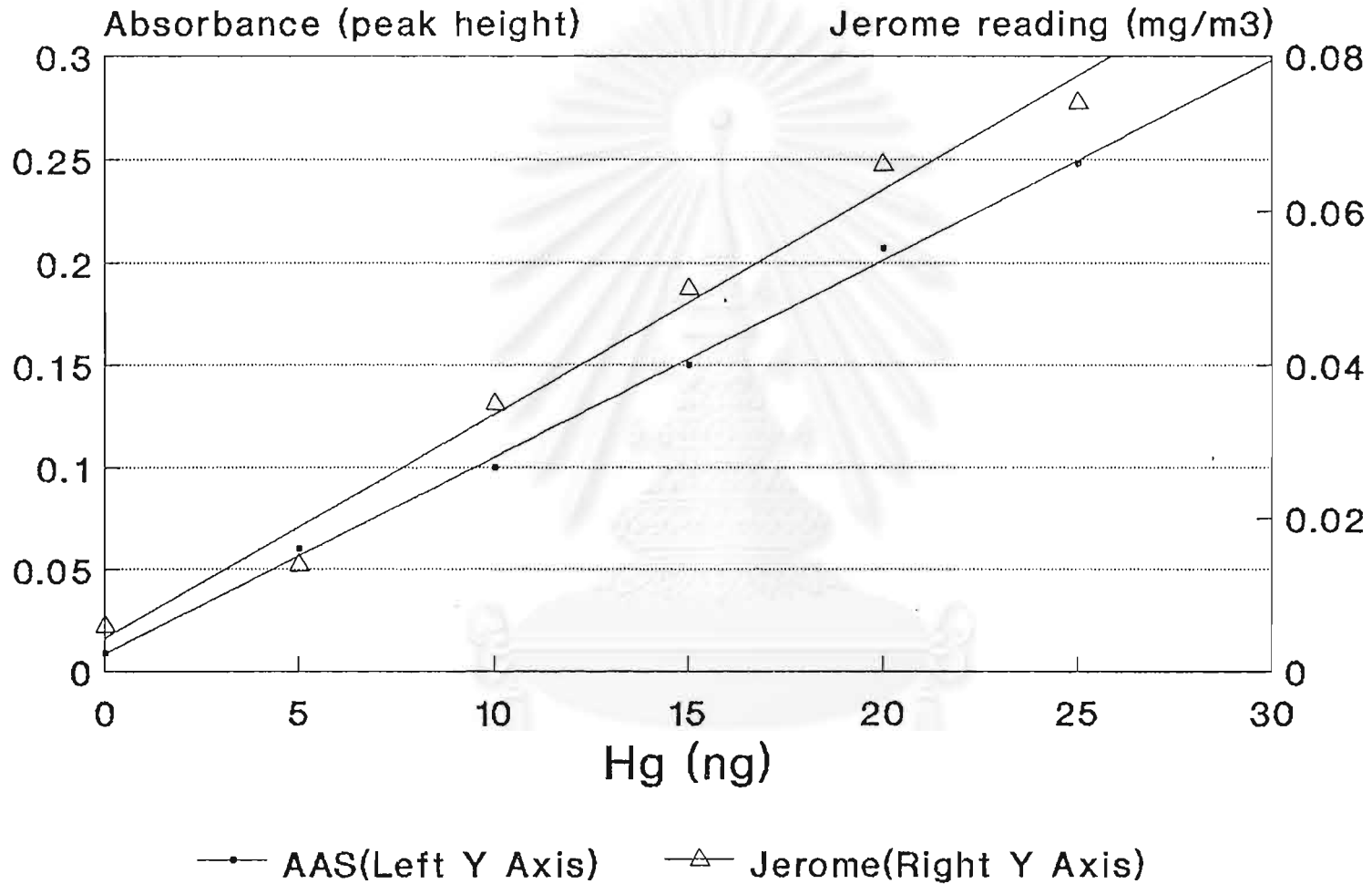
เป็นที่น่าสังเกตเกี่ยวกับการใช้ dosimeters จับปรอทจากท่อลำเลียงโดยตรง และวัดปริมาณด้วย AAS บางครั้งให้ค่าที่ใกล้เคียงกับที่จับด้วยสารละลาย KMnO_4 และบางครั้งให้ค่าที่ต่ำกว่า สันนิษฐานว่า อาจเนื่องจากตัวรบกวนที่อยู่ในก๊าซธรรมชาติที่อาจแตกต่างกัน

6.4 การใช้ Calibration Curve เพื่อแก้ไขการหาปริมาณปรอทด้วย Jerome ให้ถูกต้อง

ปัจจัยสำคัญ 3 อย่าง ที่มีผลต่อการหาปริมาณปรอทได้ต่ำ คือ ความถูกต้องของ Jerome ความเสื่อมสภาพของ dosimeter และตัวรบกวนการจับปรอทที่มีต่อ dosimeters การแก้ไขสองอย่างแรก สามารถทำได้โดยการใช้สองแฟลคเตอร์ของ Jerome และ dosimeter เพื่อปรับค่าที่อ่านได้ต่ำ การใช้ calibration curve เป็นวิธีหนึ่ง การแก้ไขตัวรบกวน ทำได้โดยการเลี้ยงไม่ใช้ dosimeter จับปรอทในก๊าซธรรมชาติโดยตรง

การสร้าง calibration curve ของ Jerome/dosimeter เปรียบเทียบกับของ AAS ดังแสดงในรูปที่ 6.1 ใช้ standard ปรอท 5, 10, 15, 20, 25 ng เตรียม 1 ชุด วัด absorbance ด้วย AAS ใช้อัตราภาวไหลก๊าซ 100 มล./นาที และจับปรอทที่ออกจาก AAS ด้วย dosimeter (ใช้ dosimeter ตัวเดิมตลอดการทำ standard curve) นำไปวัดปรอทด้วย Jerome พล็อตค่า absorbance กับ มวลปรอท และพล็อตค่า Jerome reading กับ มวลปรอท พบว่า กราฟที่ได้จาก Jerome ก็ยังไม่ดี มีการกระจายออกนอกกราฟเส้นตรงมาก เมื่อเทียบกับที่ได้จาก AAS ที่มีความเป็นเส้นตรงดีกว่า

การหาปริมาณปรอทโดยเทียบกับ calibration curve ของ Jerome และ curve ของ AAS ดังแสดงในตารางที่ 6.7 ทำการเก็บตัวอย่าง Ethane 3 กลุ่ม ในกลุ่มหนึ่งๆ จับปรอทโดยใช้ dosimeter 1 ชุด และจับด้วยสารละลาย KMnO_4 อีก 2 ชุด แต่ละกลุ่มมีเงื่อนไขการเก็บตัวอย่างเหมือนกัน วัดปรอทในตัวอย่างด้วย AAS และด้วย Jerome ตามลำดับ ค่าที่มีเตอร์ของ Jerome อ่านได้ นำมาคำนวณหามวลปรอท โดยแยกออกเป็น 2 วิธี วิธีแรกเทียบกับ Jerome calibration curve และวิธีที่สอง คูณค่าที่มีเตอร์อ่านด้วยแฟลคเตอร์



รูปที่ 6.1 แสดง Calibration curve ของ AAS และของ Jerome ที่เตรียมจาก Standard ปรอตชุดเดียวกัน โดยอ่านค่า absorbance ด้วย AAS ก่อน และจึงอ่านด้วย Jerome

ตารางที่ 6.7 แสดงการหาปริมาณปรอทใน Ethane โดยใช้ วิธี Jerome-curve
เทียบกับการหาด้วยวิธี AAS และการใช้แฟคเตอร์ของ Jerome

Method	Sample No.	Hg ($\mu\text{g}/\text{m}^3$)		
		AAS	Jerome -Curve	Jerome
dosimeters	1	0.27	0.26	0.08
KMnO ₄ (I)	2	0.38	0.40	0.13
KMnO ₄ (II)	3	0.40	0.43	0.14
dosimeters	1	0.74	0.82	0.26
KMnO ₄ (I)	2	0.73	0.73	0.24
KMnO ₄ (II)	3	0.77	0.85	0.27
dosimeters	1	0.26	0.19	0.06
KMnO ₄ (I)	2	0.73	0.60	0.19
KMnO ₄ (II)	3	0.77	0.56	0.18

สถาบันวิทยบริการ
จุฬาลงกรณ์มหาวิทยาลัย

87.5 มล. พบว่า ค่าความเข้มข้นปรอทที่อ่านจาก Jerome curve มีค่าใกล้เคียงกับที่อ่านได้จาก AAS และค่าที่อ่านโดยใช้แฟคเตอร์ได้ค่าที่ต่ำกว่า การอ่านด้วย AAS หรือ Jerome curve เกินกว่า 50 % แสดงว่า ค่าแฟคเตอร์ที่ใช้นี้อาจไม่ถูกต้อง แต่อย่างไรก็ตาม ปรอทที่จับโดยใช้ dosimeter จะได้ต่ำกว่าการจับด้วยสารละลาย KMnO_4 ซึ่งสันนิษฐานว่าเกิดจากตัวรบกวนบางอย่างในก๊าซธรรมชาติที่ทำให้ผิวหน้าของหลอดทองเหลืองต่อการจับปรอท

สรุปการหาปริมาณปรอทในตัวอย่าง Ethane และ Propane

- 1 การหาปริมาณปรอทด้วย dosimeter กับ Jerome ให้ค่าที่ต่ำกว่าที่หาโดยใช้สารละลาย KMnO_4 เป็นตัวจับปรอท และวัดด้วย AAS ตัวรบกวนในตัวอย่างทำให้การจับปรอทด้วย dosimeter ได้ไม่ดี
- 2 ปริมาณปรอทใน Ethane ที่ก่อนผ่านด่านสกัด เท่ากับปรอทหลังผ่านจุดสกัด แสดงให้เห็นว่า ประสิทธิภาพของตัวจับปรอทออกจากท่อแล้วเสีย อาจเสื่อมสภาพ หรืออาจใช้ไม่ได้ผล
- 3 ปริมาณปรอทใน Propane อยู่ในช่วง $0.2 - 0.5 \text{ ug/m}^3$ และใน Ethane อยู่ในช่วง $0.3 - 1 \text{ ug/m}^3$ บางช่วงมีความผิดปกติ มีปรอทสูงถึง 4 ug/m^3
- 4 การใช้สารละลาย KMnO_4 จับปรอทจากตัวอย่าง ได้ความเข้มข้นปรอทสูง กว่า การจับปรอทโดยตรงด้วย dosimeter แสดงถึงตัวรบกวนที่เกิดกับ dosimeter ไม่มีผลกระทบต่อ การจับปรอทของสารละลาย KMnO_4
- 5 การใช้ Jerome curve ช่วยให้การหาปริมาณโดยใช้ Jerome ได้ดีขึ้น ได้ค่าใกล้เคียงกับการวัดด้วย AAS แต่อย่างไรก็ตาม ยังแก้ปัญหาตัวรบกวนที่เกิดกับ dosimeter ไม่ได้

บทที่ 7

บทสรุป

การศึกษาปรอทในก๊าซธรรมชาติ โดยใช้เทคนิคของ Jerome-dosimeter ได้พบปัญหาหลายประการที่ทำให้การหาปริมาณปรอทด้วยวิธีนี้ได้ต่ำ การใช้ dosimeter 2 ตัว ต่ออนุกรมกันพบว่า dosimeter ตัวแรก จับปรอทได้ไม่ดี ที่อัตราการเก็บตัวอย่าง 20 - 50 มล./นาที และการทดลองหลายครั้งที่ พบว่า dosimeter ตัวที่ 1 จับปรอทได้น้อยกว่า dosimeter ตัวที่ 2 นอกจากนี้ อัตราการ desorption ปรอท ออกจาก dosimeter เกิดขึ้นอย่างช้าๆ ปัญหาดังกล่าวนี้ เกี่ยวข้องกับประสิทธิภาพการจับปรอทของ dosimeter, ประสิทธิภาพของเซ็นเซอร์ภายในเครื่อง Jerome, และ ตัวรับกานาใด ๆ ที่อาจมีอยู่ในก๊าซธรรมชาติ

การตรวจสอบเครื่อง Jerome พบว่ามีหลายปัจจัยที่สามารถทำให้ค่าความเข้มข้นของปรอทในตัวอย่างผิดพลาดได้ คือ ค่าแฟคเตอร์ 87.5 มล. ที่เกี่ยวข้องกับอัตราการไหลของอากาศผ่านเข้าเครื่อง Jerome ดังแสดงให้เห็นในตารางที่ 6.7 การหาปริมาณปรอทใน ethane นอกจากนี้ ความร้อนที่ให้กับ dosimeter โดยใช้ voltage 24 โวลต์ จากเครื่อง Jerome ทำการ desorption ปรอท บางครั้งมีการแปรเปลี่ยนถึง 27 โวลต์ หรือต่ำกว่า กรณีที่ voltage ต่ำ ทำให้การ desorption ปรอทได้ไม่หมด ดังที่เคยเกิดขึ้นกับเครื่อง Jerome ของ ปดช การทำ functional test เครื่อง Jerome ได้แสดงให้เห็นว่า ประสิทธิภาพของเซ็นเซอร์ต่ำกว่าที่คู่มือเครื่องระบุไว้ ประมาณ 7 % และคิดเป็นค่าเฉลี่ยความเข้มข้นปรอทต่ำ 17 % เมื่อเทียบกับปรอทที่ฉีดเข้าไป ดังแสดงในตารางที่ 4.5

การ calibration ตัว dosimeter โดยฉีดไอปรอทเข้า dosimeter และอ่านค่าด้วย Jerome พบว่า ประสิทธิภาพการจับปรอทอยู่ในช่วง 60 - 89 % ดังแสดงในตารางที่ 4.6 นอกจากนี้ ค่าความต้านทานไฟฟ้าของ dosimeters ทุกตัว สูงเกิน 15 Ohms ซึ่งผู้ผลิตแนะนำให้เลิกใช้ dosimeters เหล่านี้ เนื่องจากการเสื่อมสภาพ เป็นที่น่าสังเกตว่า การทดสอบประสิทธิภาพ dosimeter โดยใช้ AAS แสดงผลขัดแย้งกับวิธีของ Jerome เนื่องจากวิธีของ AAS แสดงประสิทธิภาพของ Dosimeter โดยส่วนใหญ่ดีกว่า 95 % ดังผลการทดลองที่แสดงในตาราง

ที่ 4.9 การทดสอบประสิทธิภาพการจับปรอทของ dosimeter เป็นฟังก์ชันของอัตราการไหลของก๊าซ พบว่า dosimeter จับปรอทได้ดีที่อัตราการไหลของก๊าซต่ำกว่า 200 มล./นาที การทดสอบ background ของ dosimeter โดยทำ blank test พบว่า background ของ dosimeter ที่อ่านได้ด้วย Jerome อยู่ในช่วง 0.000 - .006 mg/m³ ทำนองเดียวกันกับ dosimeter ที่เก็บไว้และยังไม่ได้ใช้งาน ก็ให้ค่าอยู่ในช่วงนี้ การศึกษา detection limit ของเทคนิค Jerome-dosimeter อยู่ในระดับ 1-2 ng ดังแสดงในตารางที่ 4.10 การศึกษาตัวรบกวน H₂S, CO พบว่า ไม่รบกวนการจับปรอทของ dosimeter และการอ่านค่าของ Jerome แม้ว่าผลในตารางที่ 4.11 แสดงให้เห็นว่า การไม่ใช้ acid filter กรอง H₂S ผลไม่แตกต่างไปจากการใช้ filter อย่างไรก็ตาม แนะนำให้ใช้ filter ทุกครั้งในการจับตัวอย่าง การใช้ soda lime filter ในการทดลอง สามารถจับ H₂S ได้อย่างมีประสิทธิภาพ

การดัดแปลง reaction vessel ของ Shimadzu และใช้ขวด dreschel แทน ทำให้สามารถป้องกันความผิดพลาดที่เกิดขึ้นได้ และยังกันการเล็ดลอดของปรอทออกสู่ภายนอก ซึ่งเป็นอันตรายต่อผู้ทำงาน นอกจากนี้ การใช้ teflon tubing เชื่อมต่อระบบที่ใช้งาน สามารถป้องกันการดูดซับปรอทใน tubing ได้ การใช้ absorption cell ที่ทำขึ้นใหม่ (ขนาดเส้นผ่าศูนย์กลาง 1 ซม. ยาว 18 ซม.) สามารถเพิ่ม sensitivity ของการหาปรอทได้ดีถึง 0.2 ng การใช้ชุด CV-AAS ที่ทำขึ้นใหม่ดังแสดงในรูปที่ 3.5 สามารถใช้หาปริมาณปรอทอินทรีย์ได้ดีถึง 1 ng ทั้งนี้ต้องใช้ Heating tube ที่ภายในเป็นเม็ดยุททำให้อุ่นโดยใช้ variac transformer 20 V เพื่อแตกสลายสารปรอทอินทรีย์ก่อนผ่านเข้าสู่ absorption cell การศึกษาตัวจับปรอทชนิดต่างๆ โดยใช้ สารละลาย acetone, toluene, nitric acid, และ KMnO₄ พบว่า สารละลาย KMnO₄ เป็นตัวเหมาะสมที่สุด แต่การหา sensitivity ของปรอทที่ขับออกมาจากสารละลาย KMnO₄ ไม่ดีเท่าที่คาด เนื่องจากการละลายของปรอทในสารละลายสูงมาก แม้จะใช้อัตราการไหลของก๊าซพาให้สูงขึ้นเพื่อช่วยขับปรอทออกจากสารละลาย ก็ยังได้ผลไม่ดี การแก้ไขปัญหานี้ โดยการใช้ dosimeter เป็นตัว preconcentrator ปรอทที่ออกจากสารละลาย และจึงนำ dosimeter มาทำการ desorption สามารถเพิ่ม sensitivity ของการวัดได้ดีถึง 1 ng การศึกษาตัวรบกวนที่เกิดขึ้นกับการอ่านค่า AAS พบว่า H₂S, CO, CO₂, และ COS ไม่รบกวนต่อการวัดของ AAS

การใช้ CV-AAS และสารละลาย KMnO_4 ในการจับปรอท พบว่า การรบกวนที่เกิดขึ้นกับการจับปรอทในตัวอย่างก๊าซธรรมชาติ ของ dosimeter ตัวรบกวนเหล่านั้นไม่มีผลต่อสารละลาย KMnO_4 การเปรียบเทียบผลการหาปริมาณของ 2 วิธี และใช้ตัวอย่างเดียวกัน แต่แยกเก็บ 2 ครั้ง ได้การเปรียบเทียบที่ไม่ดีเท่าที่ควร เนื่องจาก precision ที่ได้จากการจับตัวอย่างพร้อมกัน ไม่ดี การเปรียบเทียบ 2 วิธี วัดตัวอย่างเดียวกันดังแสดงในตารางที่ 6.6 ให้ผลที่มีความเชื่อถือมาก การใช้ calibration curve กับ การหาปริมาณปรอทโดยวิธี Jerome-dosimeter ให้ผลที่ดีกว่าการใช้แพคเตอร์ 87.5 มล. ดังแสดงในตารางที่ 6.7 แต่อย่างไรก็ตาม ค่าอ่านได้จากการใช้ dosimeter จับปรอทในตัวอย่างโดยตรง ให้ผลที่ต่ำกว่าการจับตัวอย่างโดยใช้สารละลาย KMnO_4 ย่อมแสดงให้เห็นว่า มีตัวรบกวนการจับปรอทอยู่ในตัวอย่างก๊าซธรรมชาติ

การหาปริมาณปรอทในตัวอย่าง ethane และ propane โดยจับตัวอย่างด้วยสารละลาย KMnO_4 และวัดปรอทด้วย AAS พบว่าปริมาณปรอทใน ethane อยู่ในระดับ $0.3 - 1 \text{ ug/m}^3$ และใน propane อยู่ในระดับ $0.2 - 0.5 \text{ ug/m}^3$ นอกจากนี้ การใช้ตัวสกัดปรอทออกจาก ethane ไม่สามารถดึงปรอทออกจาก ethane เนื่องจากการหาปรอทที่ก่อนผ่านด่านสกัดและหลังผ่านด่านสกัดจับปรอท แสดงความเข้มข้นปรอทเท่าเดิม

เอกสารอ้างอิง

1. L. Friberg, D. Vostal, *Mercury in the Environment*, Chapter 3, CRC Press, 1976
2. H.V. Clever and M. Iwamoto, *Ind. Eng. Chem. Res.*, 26, 336 (1987)
3. ข้อมูลของก๊าซธรรมชาติ จัดทำโดย ฝ่ายปฏิบัติการระบบท่อส่งก๊าซ การปิโตรเลียมแห่งประเทศไทย กันยายน 2526
4. M. Muchlis, Tenth Annual Conv., Indonesian Petroleum Assoc., Jakarta, 25 May 1990
5. M.R. Pinnel and J.E. Bennett, *J. Mat. Sci.*, 7, 1016 (1972)
6. D.A. Wheeler, J.P. Hoagland, and J.P. Hirth, *Corrosion*, p 207, March 1989
7. M.D. Bingham, *SPE Production Engineering, Amoco Production Co.* pp. 120-124 May 1990
8. บริษัท ปิโตรเคมีแห่งชาติ จำกัด, จากการติดต่อขอเป็นการส่วนตัว
9. B.J. Aylett, *The Chemistry of Zince, Cadmium, and Mercury*, Pergamon Press, pp 275-328
10. เอกสารคู่มือประกอบการใช้เครื่องมือ Jerome 431 ของ Arizona Instrument Co.
11. S.R. Koirtyohann and M. Khalil, *Anal. Chem.*, 48, 136- 39 (1976)
12. S.P. Osborne, *Appl. Spectrosc.*, 44, 1044 (1990)
13. S.J. Long, D.R. Scott, and R.J. Thompson, *Anal. Chem.*, 45, 2227-33 (1973)
14. H. Agemian and A.S.Y. Chau, *Anal. Chem.*, 50, 13-6 (1978)
15. M. Filippelli, *Anal. Chem.*, 59, 116-18 (1987)
16. M.E. Churchwell, R.L. Lingston, D.L. Sgontz, J.D. Messman, and W.F. Beckert, *Environment International*, 13, 475-89 (1987)

17. L.H. Keith, A.W. Garrison, M.M. Walker, and A.L. Alford, *Amer. Chem. Soc. Div. Water Air Waste Chem. Gen.*, Paper 9, 3 (1969)
18. S.S.C. Tong, W.H. Gutenmann, and D.J. Lisk, *Anal. Chem.*, 41, 1872 (1969)
19. C.J. Cappon and J.C. Smith, *Anal. Chem.*, 49, 365-69 (1977)
20. P. Zarnegar and P. Mushak, *Anal. Chim. Acta*, 69, 389-407 (1974)
21. D.S. Bushee, *Analyst*, 113, 1167 (1988)



สถาบันวิทยบริการ
จุฬาลงกรณ์มหาวิทยาลัย



ภาคผนวกที่ 1

การทำ Functional Test เครื่อง Jerome

สถาบันวิทยบริการ
จุฬาลงกรณ์มหาวิทยาลัย

FUNCTIONAL TEST PROCEDURE:

NOTE: Perform the functional test **ONLY** after a Sensor Regeneration.

1. Leave the thermos at stable room temperature for at least 2 hours.

The temperature range for the test is 18-22°C.

Temperature fluctuations during the test procedure will produce erratic results.

2. Replace the intake filter disc.

Refer to page 12 of the 431 manual.

3. Replace the septum.

Unscrew the septum holder assembly's cap and using your trimmer tool, push the old septum out. Insert a new septum (yellow side toward the small hole) into the cap.

4. Plug the septum assembly into the instrument's intake and tighten the intake tube nut to ensure an airtight seal.

Refer to page A5.

5. Attach a zero air filter to the septum assembly.

6. Press power ON.

7. Take 3 samples.

If the average meter reading is less than .005, continue to step 8.

If the average meter reading is greater than .005, stop here and go to Functional Test Trouble Shooting, page A7.

8. Note the temperature of the thermos.

9. Inject 1cc of mercury vapor according to the Syringe Technique described on page A5.

NOTE: To minimize error, it is important to carefully follow this procedure.

10. Record the meter reading.

11. Repeat steps 9 and 10 three times.

The last three 1cc injections should be within +/- 5% of each other. If not, refer to page A5 for proper syringe technique and repeat the procedure.

12. Refer to the Temperature Conversion Chart, page A6, for the acceptable range.

The average of the last three digital meter readings should fall within the range shown in the chart.

IF THE AVERAGE IS WITHIN RANGE, THE JEROME 431 IS FUNCTIONING PROPERLY.

If the average is not within range, proceed to the next step.

13. Perform a Sensor Regeneration. Press ZERO and turn the ZERO ADJUST, using the trimmer tool, until the digital meter reads 0.

- *If the meter reads H, turn the ZERO ADJUST counter-clockwise;*
- *if the meter reads L, turn the ZERO ADJUST clockwise.*

Refer to page 5, in the 431 Manual for the complete SENSOR REGENERATION procedure.

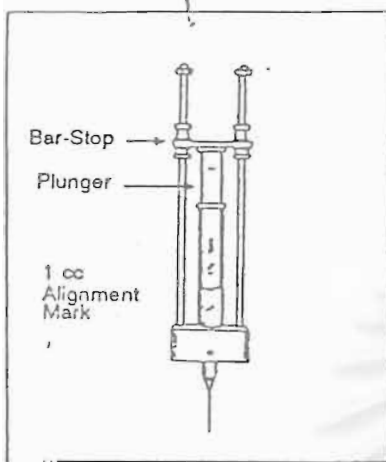
14. Wait 1 hour before proceeding to step 15.

15. Repeat steps 9-12 of this test procedure.

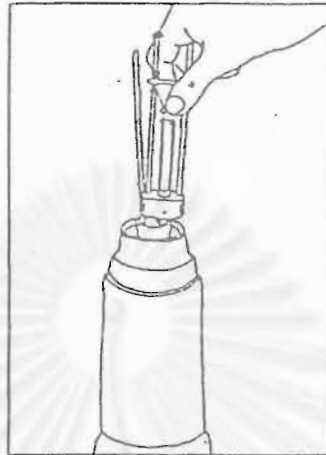
If the average of the digital meter readings is still not within range, refer to page A7, Functional Test Trouble Shooting.

สถาบันวิทยบริการ
จุฬาลงกรณ์มหาวิทยาลัย

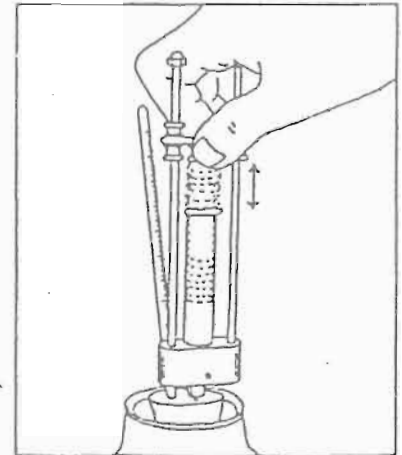
Syringe Technique



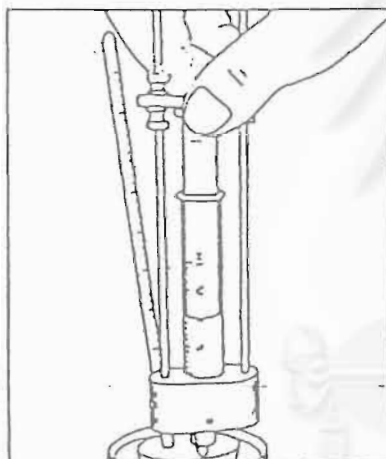
1. Check bar-stop Setting (1cc).



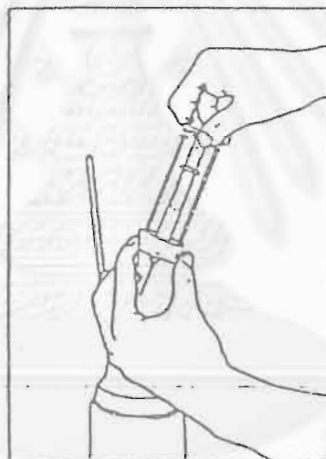
2. Insert needle into thermos.



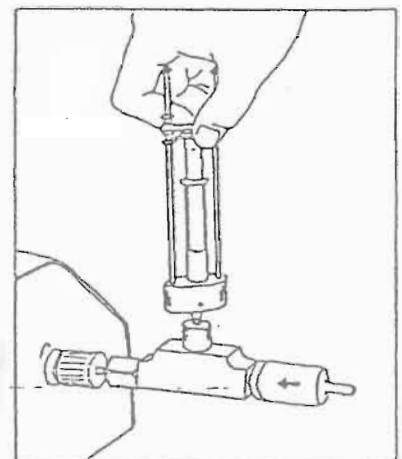
3. Pump plunger 2 times.



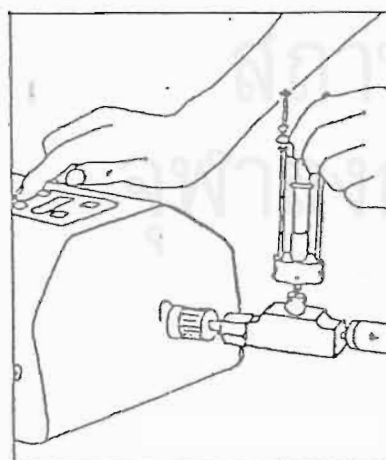
4. Pull plunger quickly and smoothly to bar-stop.



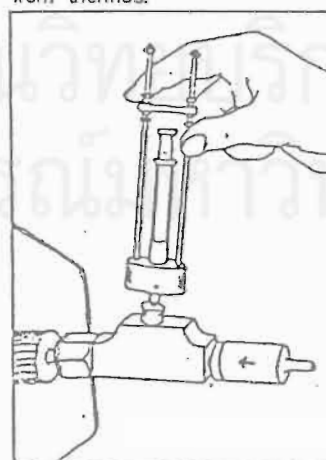
5. Hold plunger firmly against bar stop and remove syringe from thermos.



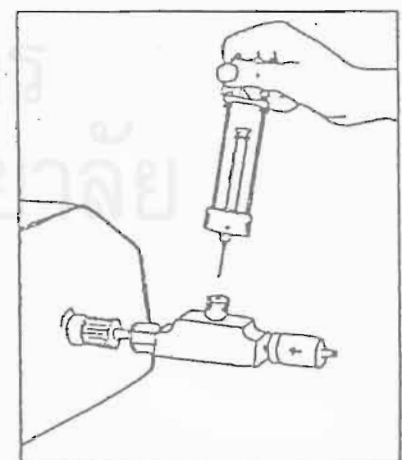
6. Insert syringe needle into septum.



7. Press Sample.



8. When the display flashes, release the plunger so that gravity feeds Hg vapor into 431 airstream. Aid if necessary, by pushing plunger completely closed.



9. Remove syringe needle from septum.

431 TEMPERATURE CONVERSION CHART

Temp °C Digital Meter Response

16 .091 to .123

17 .100 to .135

18 .108 to .146

19 .118 to .159

20 .129 to .174

21 .138 to .187

22 .151 to .204

23 .164 to .222

24 .177 to .240

สถาบันวิทยบริการ
จุฬาลงกรณ์มหาวิทยาลัย

FUNCTIONAL TEST TROUBLE SHOOTING

If you don't achieve good results with the test procedure, go over the following:

- Ensure the thermos temperature is stable.
- Ensure there is no oxidation on the mercury drop in the thermos.
- Ensure the instrument's intake is not blocked with foreign matter.
- Straighten or replace crimped or blocked internal tubing.

and...

- Use a new syringe needle.

If you find the above does not solve your problems, follow these steps to determine if your flow system is contaminated:

1. Insert your zero air filter in the instrument's intake and tighten the intake tube nut to ensure an airtight seal.

2. Take 3 samples.

If the average meter reading is less than .005, there is no mercury contamination. If the average meter reading is greater than .005, proceed to step 3.

3. Remove and replace the zero air filter.

4. Take 3 samples.

If the average reading is less than .005, the old zero air filter was contaminated.

If still greater than .005, proceed to step 5.

5. Change the internal filters.

Refer to page 12 of the 431 Manual.

6. Take 3 more samples.

If the average meter reading is less than .005, the internal filters were contaminated.

If the average is still greater than .005--

Please call Customer Service, Toll Free (800) 528-7411 for help.



Arizona Instrument
Jerome Division

MATERIAL
SAFETY DATA SHEET

Date of Issue
5-25-86

Mercury

ARIZONA INSTRUMENT CORPORATION
P.O. Box 1930
Tempe, Arizona 85280
INFORMATION HOTLINE (800) 528-7411

Product Identification:

CHEMICAL NAME: Mercury Metal
TRADE NAME & SYNONYMS: Quick Silver
CHEMICAL FAMILY: Metals
FORMULA: Hg
FORMULA WEIGHT: 200.59

SECTION 1 - Physical Data

formation
ODOR: Odorless
SPECIFIC GRAVITY (H₂O = 1): 13.54
VAPOR PRESSURE AT 20°C: 0.0012
BOILING POINT, 760 mm Hg (°C): 356.9
MELTING POINT (°C): -38.9

SECTION 2 - Fire and Explosion Data

FIRE HAZARD: Nonflammable
UNUSUAL HAZARDS: Extremely toxic vapors upon exposure to high temperatures

SECTION 3 - Reactivity Data:

STABILITY: Stable at room temperature
INCOMPATIBILITIES: azide, acetylene, ammonia, chlorine dioxide, nitric acid

SECTION 4 - Leak/Spill Information

PRODUCT CLEAN-UP: recover with suction cup equipped with a capillary
DISPOSAL METHOD: perform in compliance with all current local, state and federal regulations

SECTION 5 - Health Hazard Information

THRESHOLD LIMIT VALUE:
0.1mg/m³ (OSHA ceiling)
0.05mg/m³ (ACGIH level with a proposed absolute ceiling of 0.15 mg/m³+))

EXPOSURE/HEALTH EFFECTS: coughing, bronchitis, pneumonia, tremor, insomnia, irritability, headache, fatigue, weakness, stomatitis, weight loss, GI disorder. Can irritate skin and eyes.

FIRST AID: skin - wash with water, get medical assistance; eyes - wash with water, get medical assistance; inhalation - remove to fresh air, get medical assistance; ingestion - get medical attention

SECTION 6 - Special Protection Information

Ventilation must be sufficient to meet TLV. Wear rubber gloves and eye protection.

SECTION 7 - Special Handling and Storing Precautions

Do NOT heat mercury unless appropriate safety precautions for highly toxic vapors have been taken. Store in a sealed container.

SECTION 8 - Hazardous Ingredients

Mercury and Mercury Vapor

The information and recommendations set forth herein are presented in good faith and believed to be correct as of the date hereof. Arizona Instrument Corporation, however, makes no representations as to the completeness or accuracy thereof and information is supplied upon the condition that the persons receiving same will make their own determination as to its suitability for their purposes prior to use. In no event will Arizona Instrument Corporation be responsible for damages of any nature whatsoever resulting from the use of or reliance upon this information.